

Difficoltà di "osservazione" dei pianeti extrasolari: distanza, ...

1 Unità Astronomica (AU) = 1.496×10^8 km = 149.6 milioni di km (dimensioni del Sistema Solare $\approx 30-40$ AU)

```
    1 anno luce = 63241 AU
    (distanza stella più vicina ≈ 4.22 anni luce)
    (diametro della Galassia ≈ 10<sup>5</sup> anni luce)
    (distanza della galassia più vicina ≈ 2 × 10<sup>6</sup> anni luce)
```

1 parsec (pc) = 3.26 anni luce

Difficoltà dell'osservazione diretta

Come apparirebbe Venere se fosse osservata alla distanza di una delle stelle più vicine al Sole?

	Sole	Stella a 1 pc	Stella a 10 pc
Distanza dalla Terra	1 AU	200,000 AU	2,000,000 AU
Angolo stella-pianeta	50°	5"	0.5"
Luminosità relativa	1	1×10^{-10}	1×10^{-12}
Magnitudine	-4	23	28

Difficoltà di "osservazione" dei pianeti extrasolari: ..., luminosità, ...



Difficoltà di "osservazione" dei pianeti extrasolari: ..., massa.

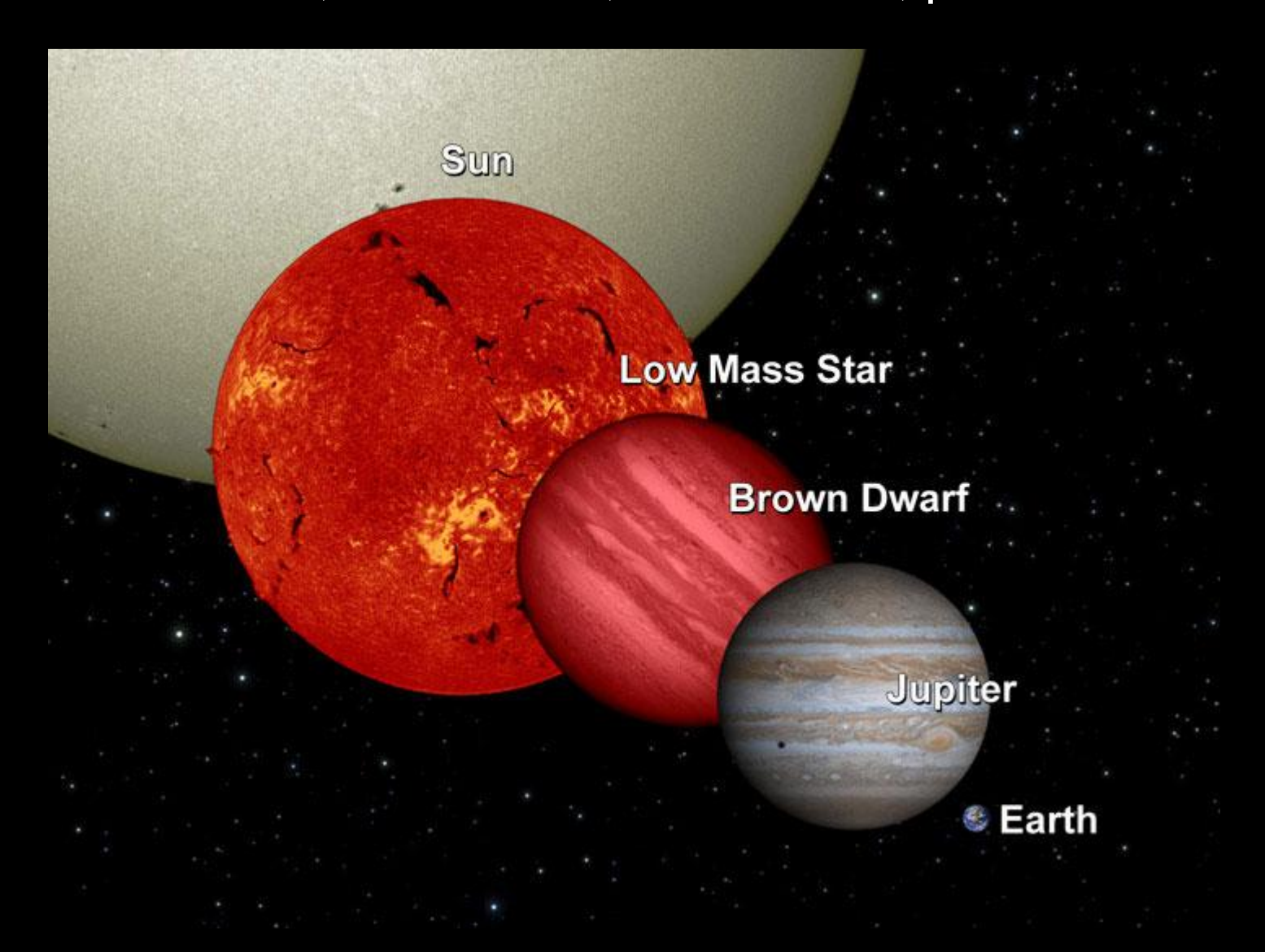
massa terrestre (M_E) = 5.97 × 10²⁴ kg massa di Giove (M_J) = 318 M_E massa del Sole (M_S) = 333000 M_E = 1047 M_J

pianeta: $M < 13-15 M_J$

nana bruna: $13-15 M_J < M < 70-80 M_J$

stella: $70-80 M_1 < M$

Stella, nana rossa, nana bruna, pianeta



Tappe della scoperta

1984: anello di polveri attorno a β Pictoris

1988: prima scoperta di un pianeta extrasolare (γ Cephei, conferma 2003)

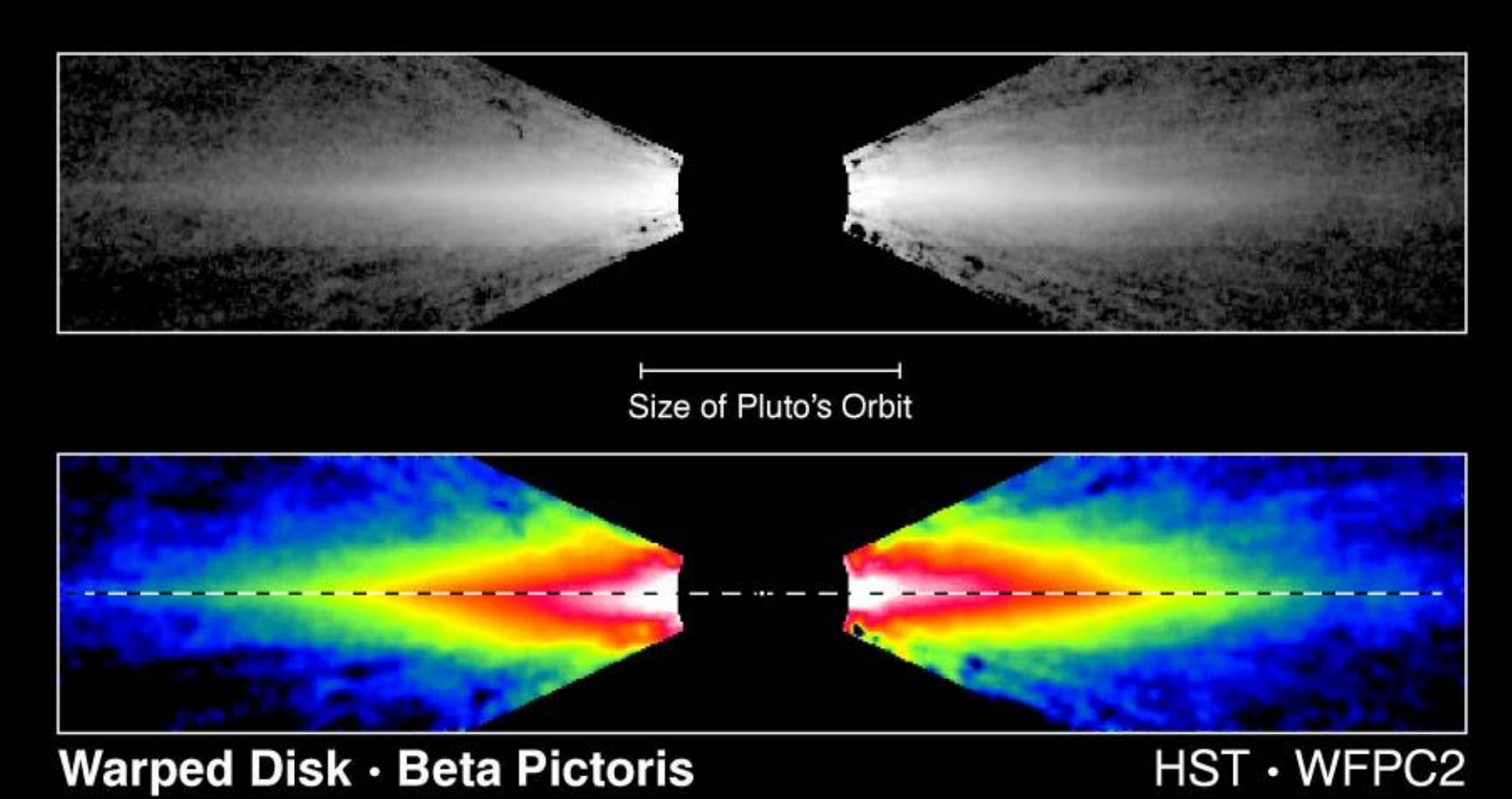
1992: primo pianeta attorno a una pulsar

1995: prima scoperta sicura (51 Pegasi)

2004: prima osservazione ottica diretta

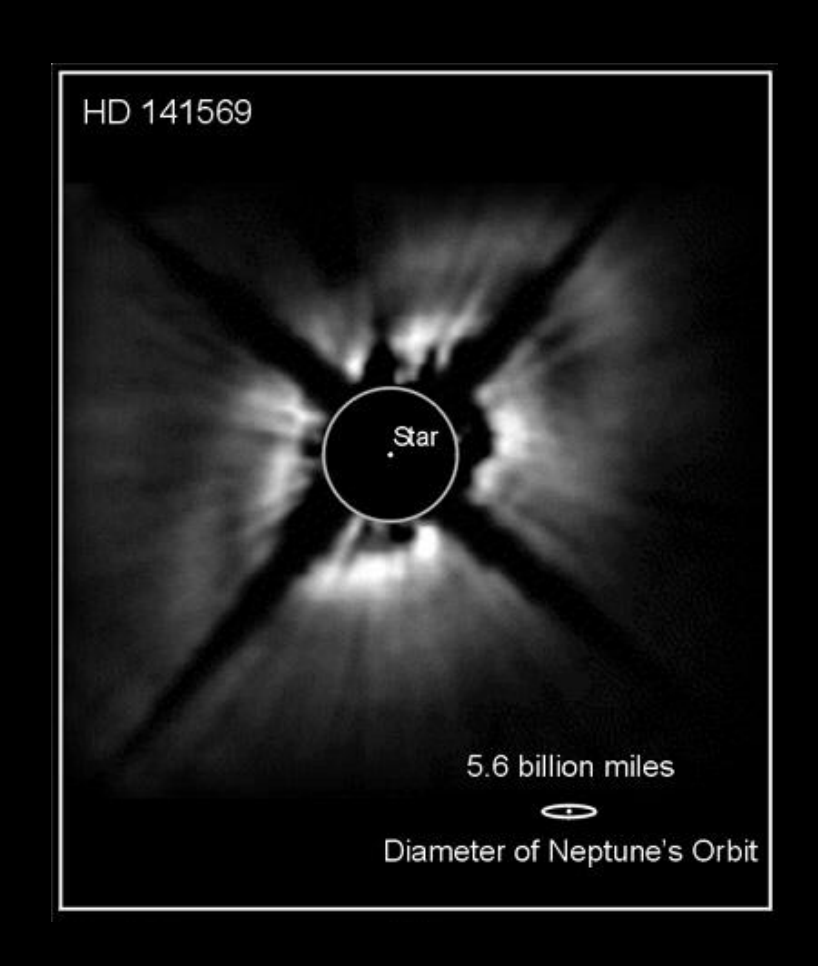
2018: 3906 pianeti, 2910 sistemi planetari

Anelli di polvere attorno ad altre stelle

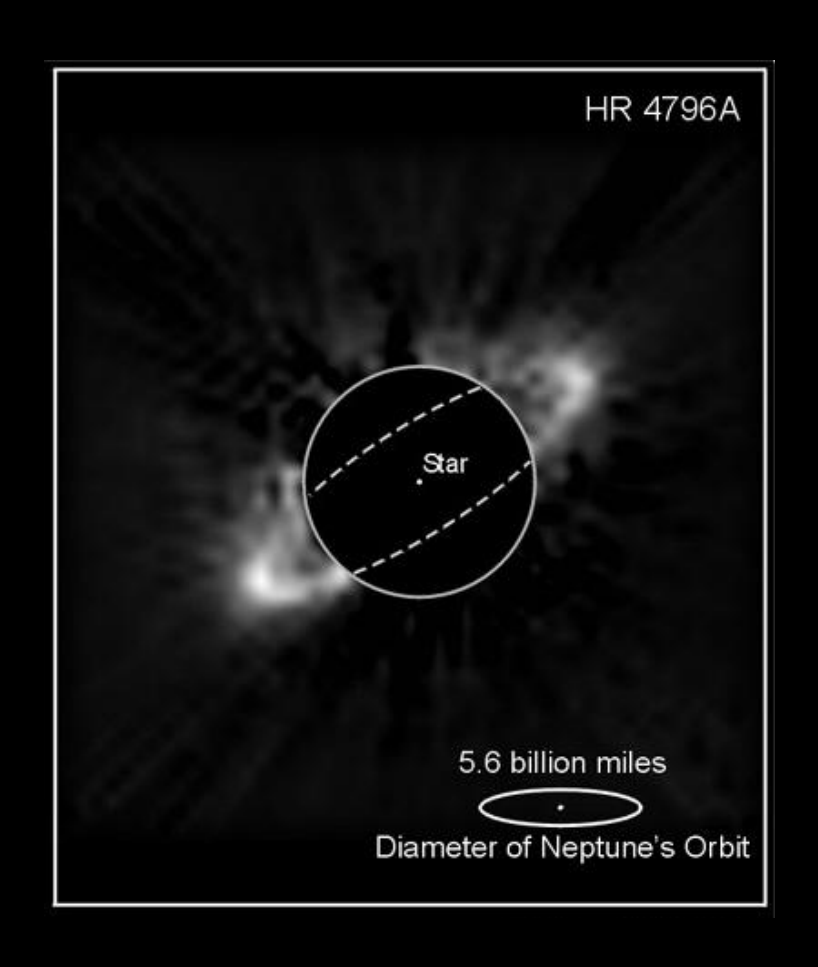


PRC96-02 · ST ScI OPO · January 17, 1995 · C. Burrows and J. Krist (ST ScI), WFPC2 IDT, NASA

Anelli di polvere attorno ad altre stelle



Anelli di polvere attorno ad altre stelle



Dischi protoplanetari



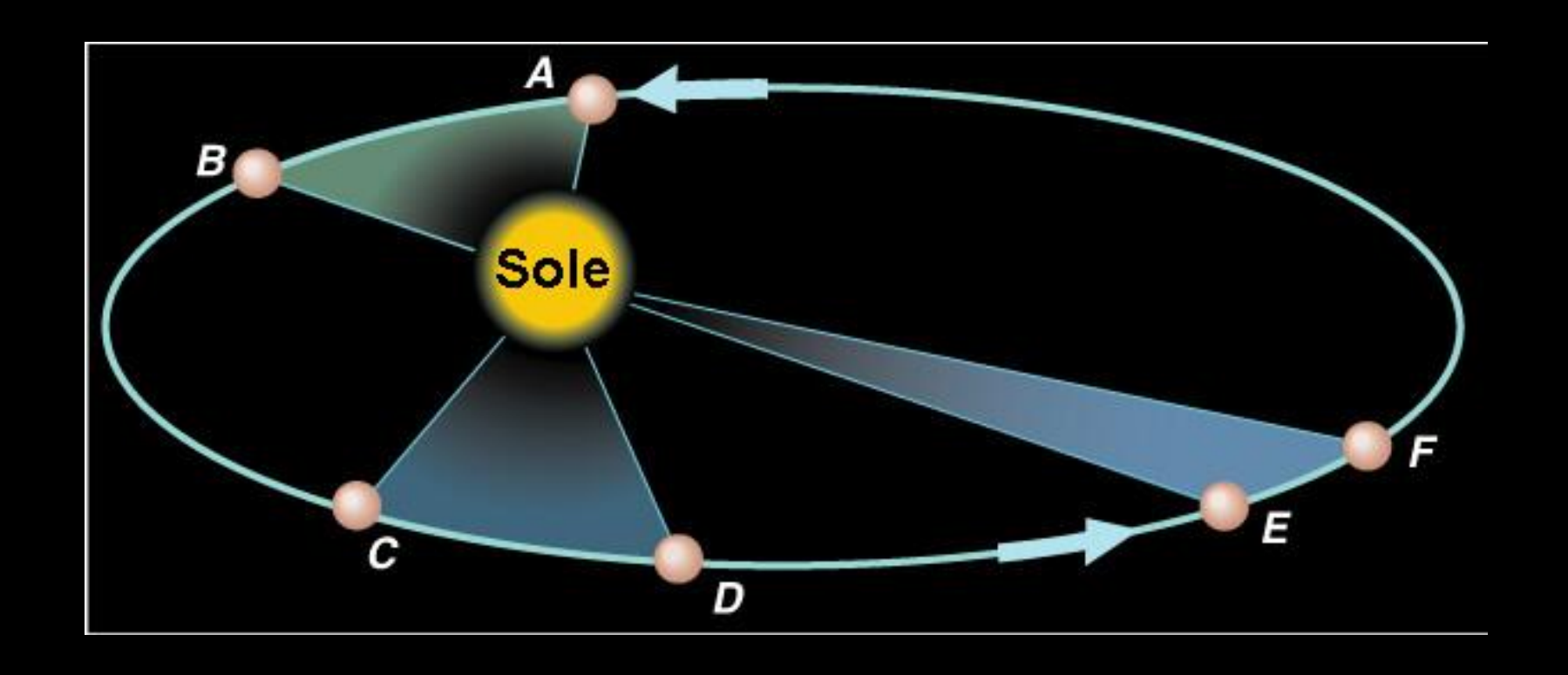
Metodi di detezione

- spettroscopia (velocità radiale)
- fotometria (occultazioni)
- ritardi nei segnali di pulsar
- astrometria di precisione
- microlensing gravitazionale
- immagini dirette:
 - ottiche adattive
 - interferometria (da terra e dallo spazio)
 - immagini nell'infrarosso termico

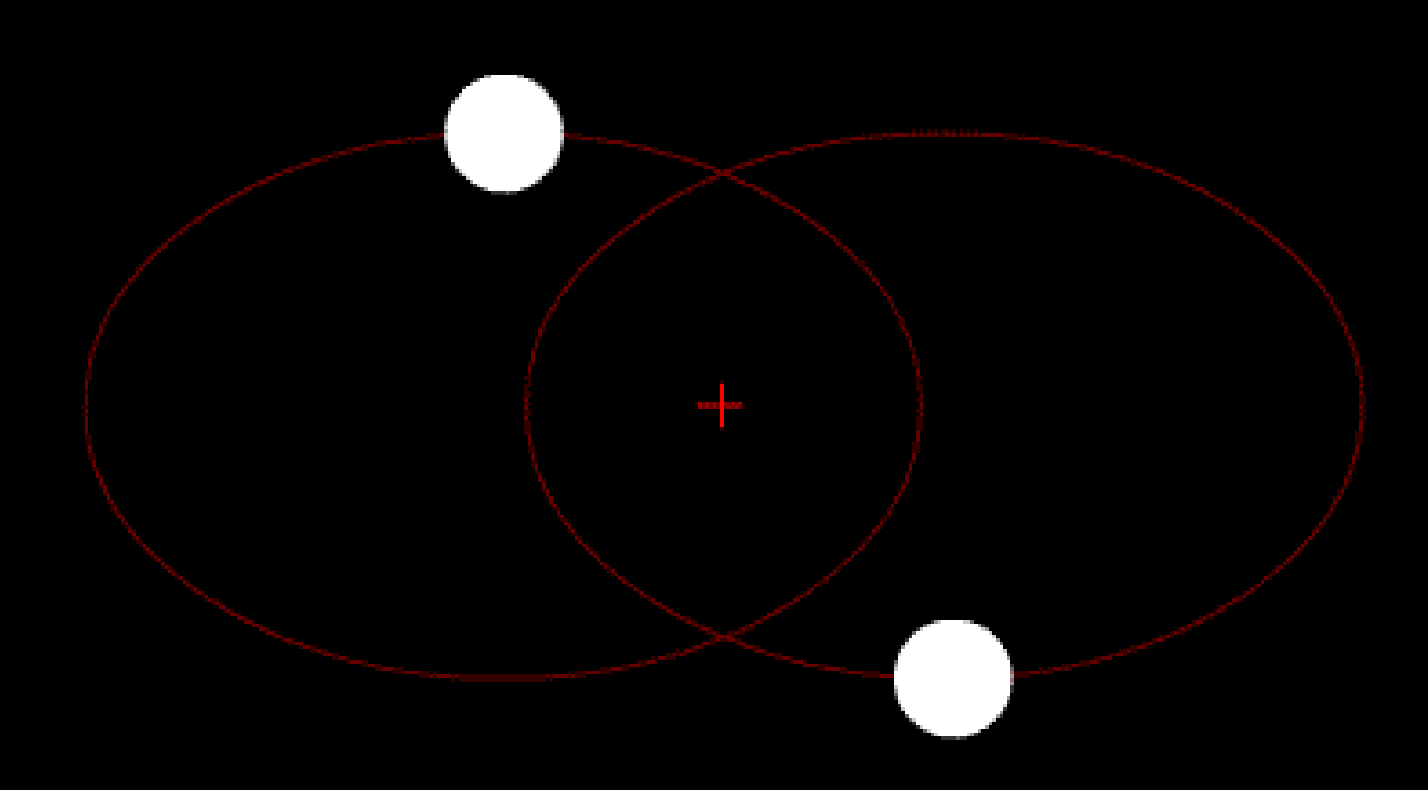
Metodi di detezione

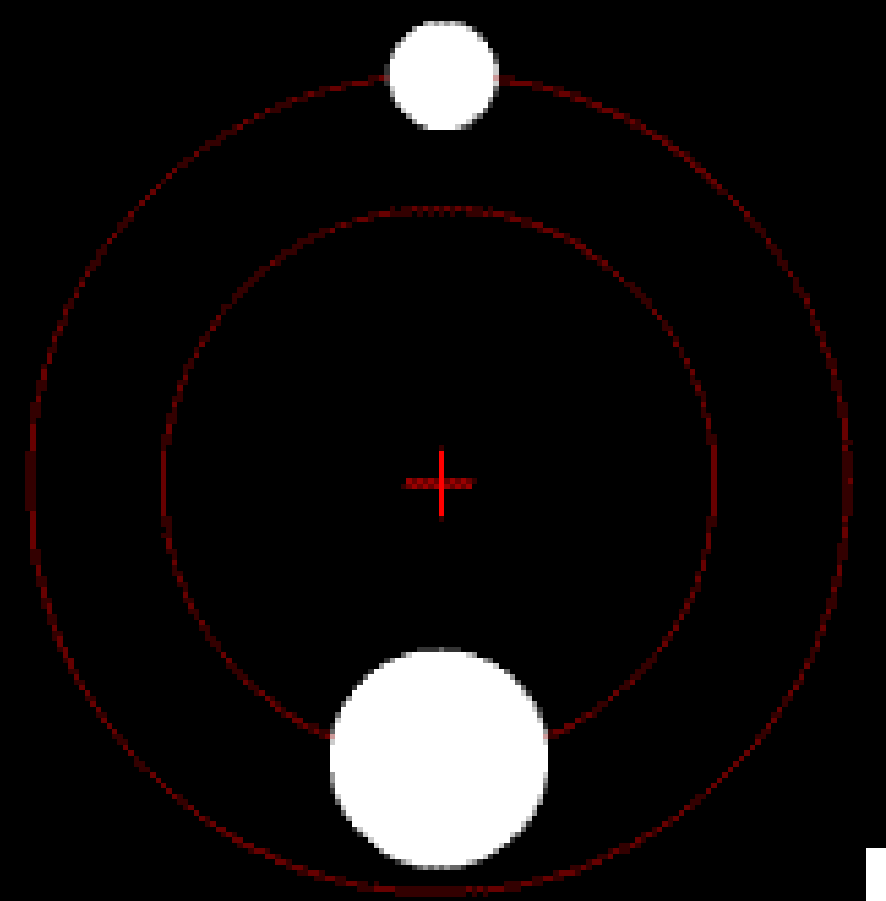
Misure di velocità radiale (effetto Doppler)

I pianeti si muovono attorno al Sole



Ma è proprio vero che il Sole è immobile?

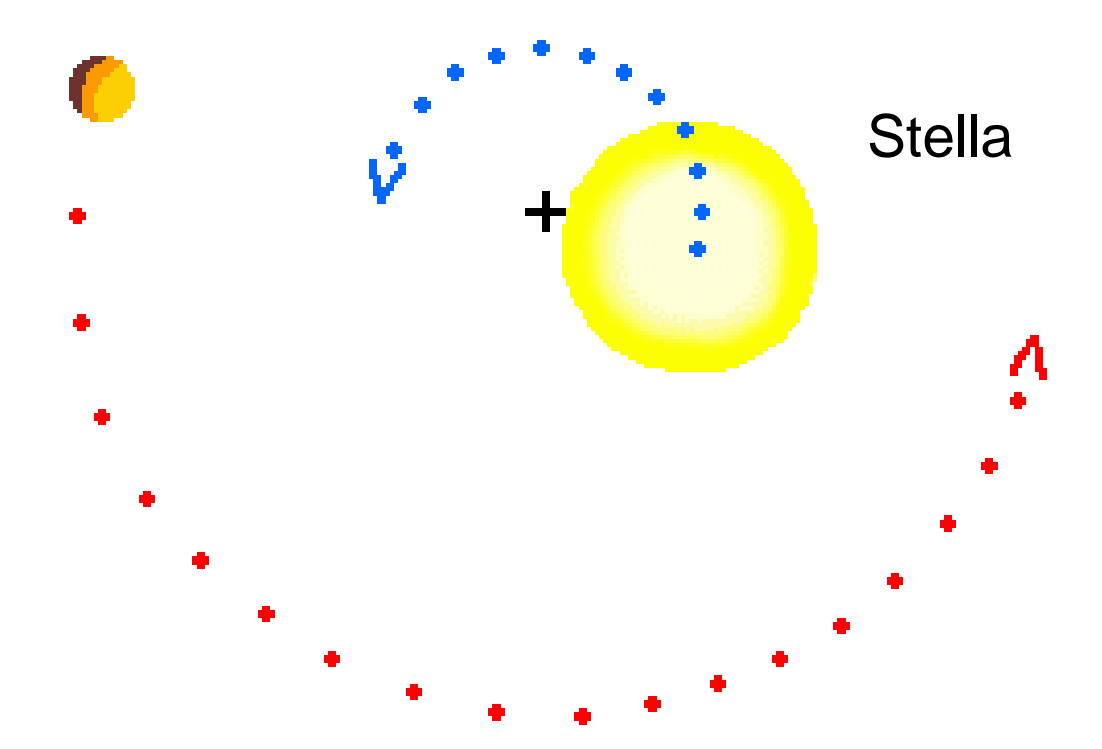


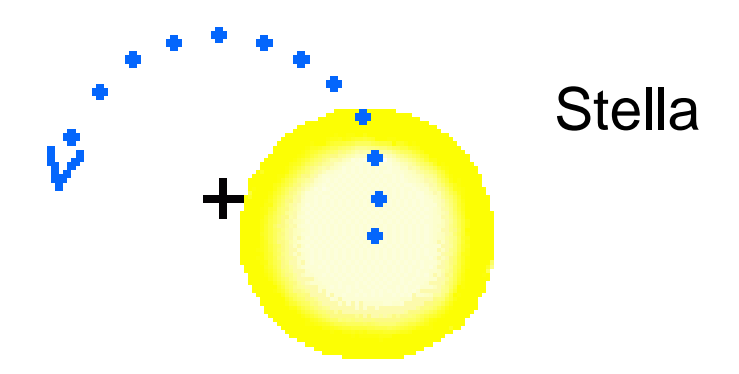


 $\boldsymbol{M}_1\boldsymbol{R}_1 = \boldsymbol{M}_2\boldsymbol{R}_2$

 $\frac{R_1}{R_2} = \frac{M_2}{M_1}$

Pianeta

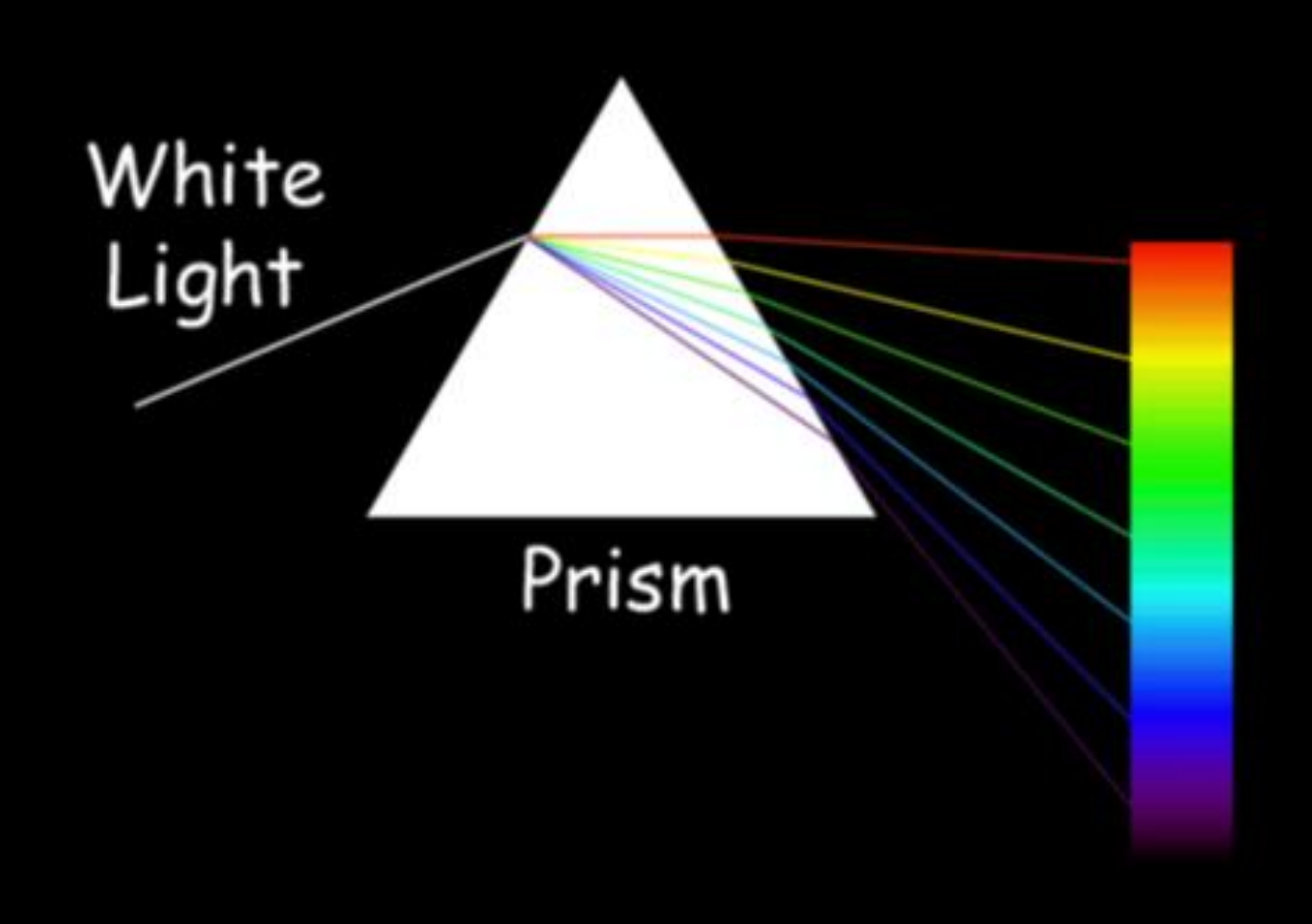




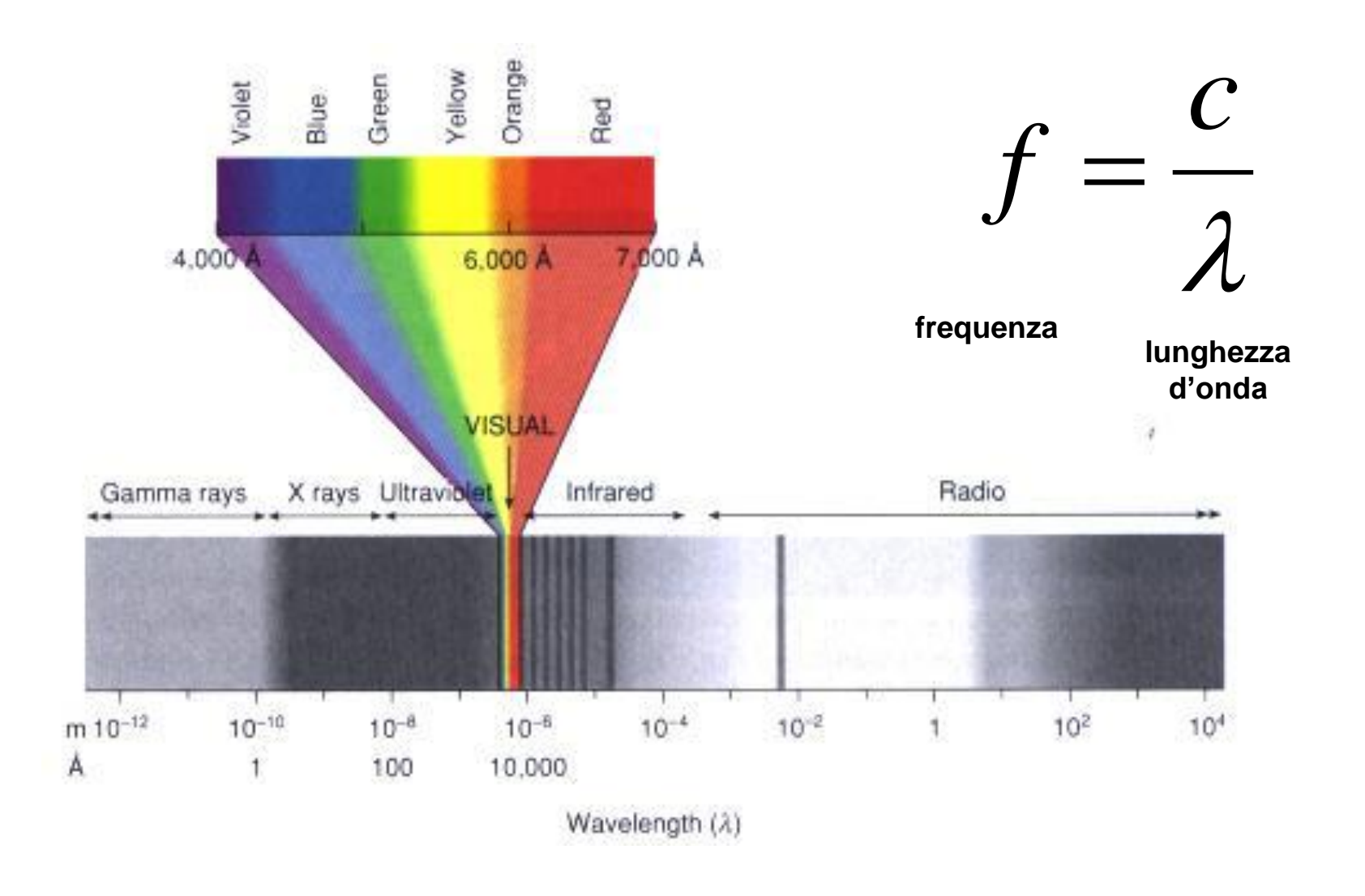
Ricerca di pianeti extrasolari con il metodo spettroscopico

Pianeta	Massa (M _s)	Velocità orbitale	Velocità del Sole
Giove	1 × 10 ⁻³	13 km/s	13 m/s
Terra	3×10^{-6}	30 km/s	10 cm/s

Scomposizione spettrale della luce

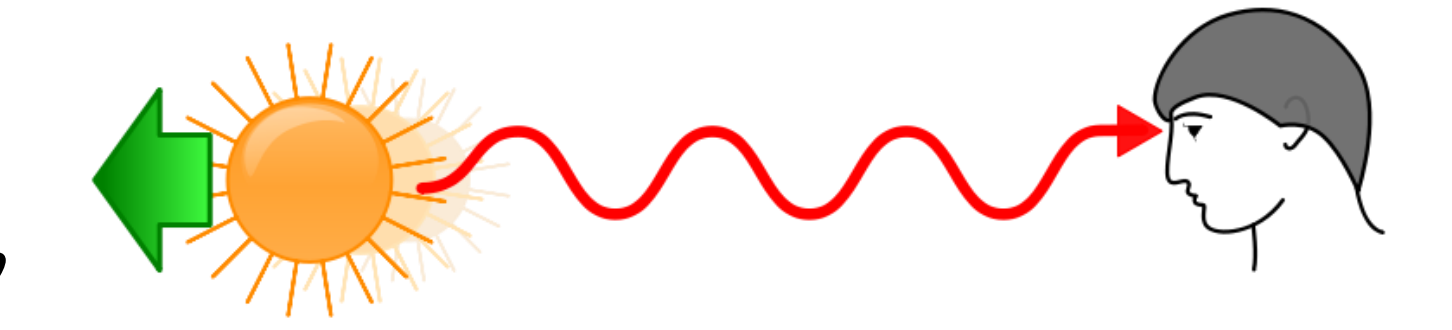


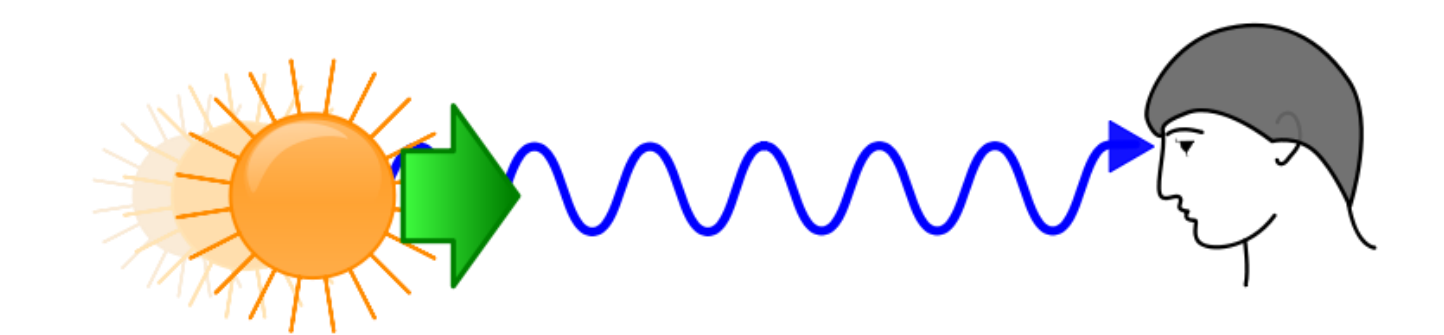
La luce come forma di radiazione elettromagnetica



Effetto Doppler

$$\frac{\Delta f}{f} = \frac{\Delta v}{c}$$





Generazione di onde elettromagnetiche

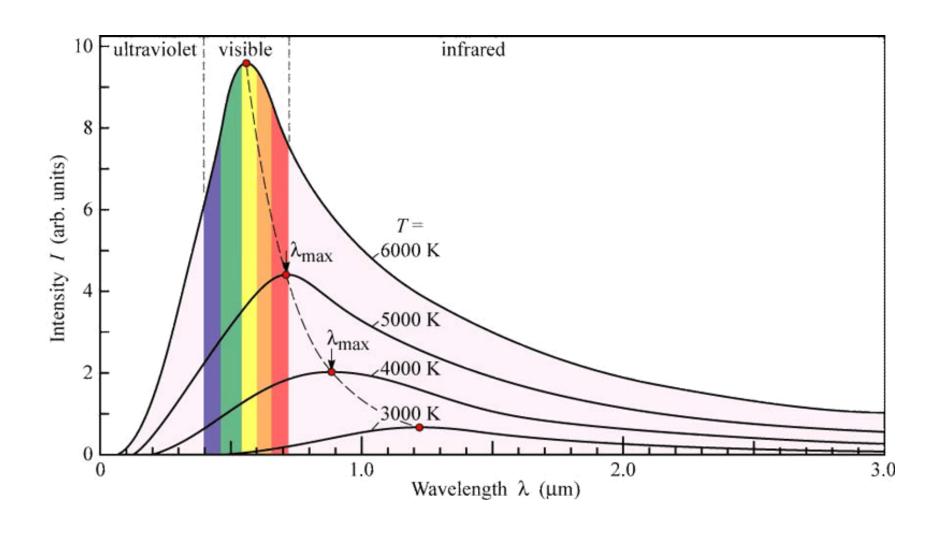
Moto accelerato di cariche elettriche

Radiazione elettromagnetica

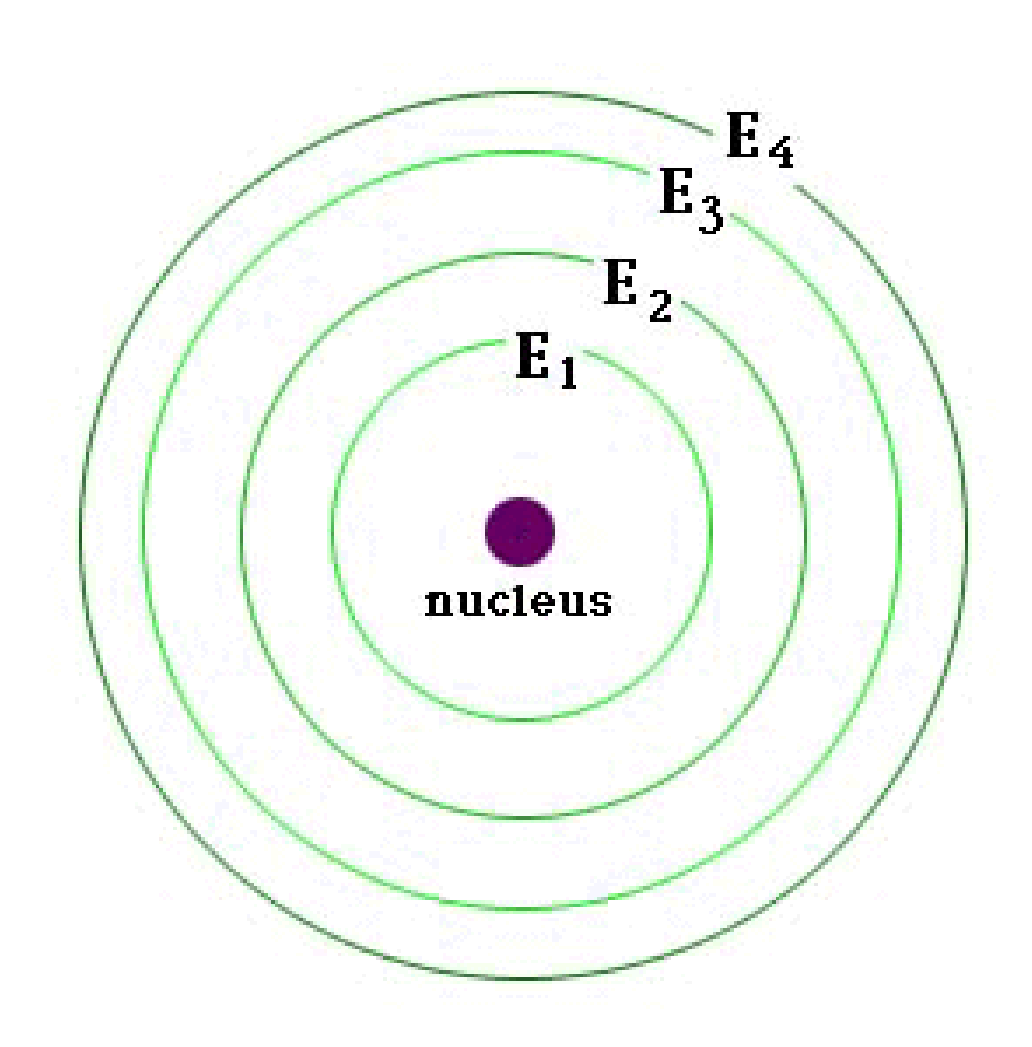
E = hf

costante di Planck

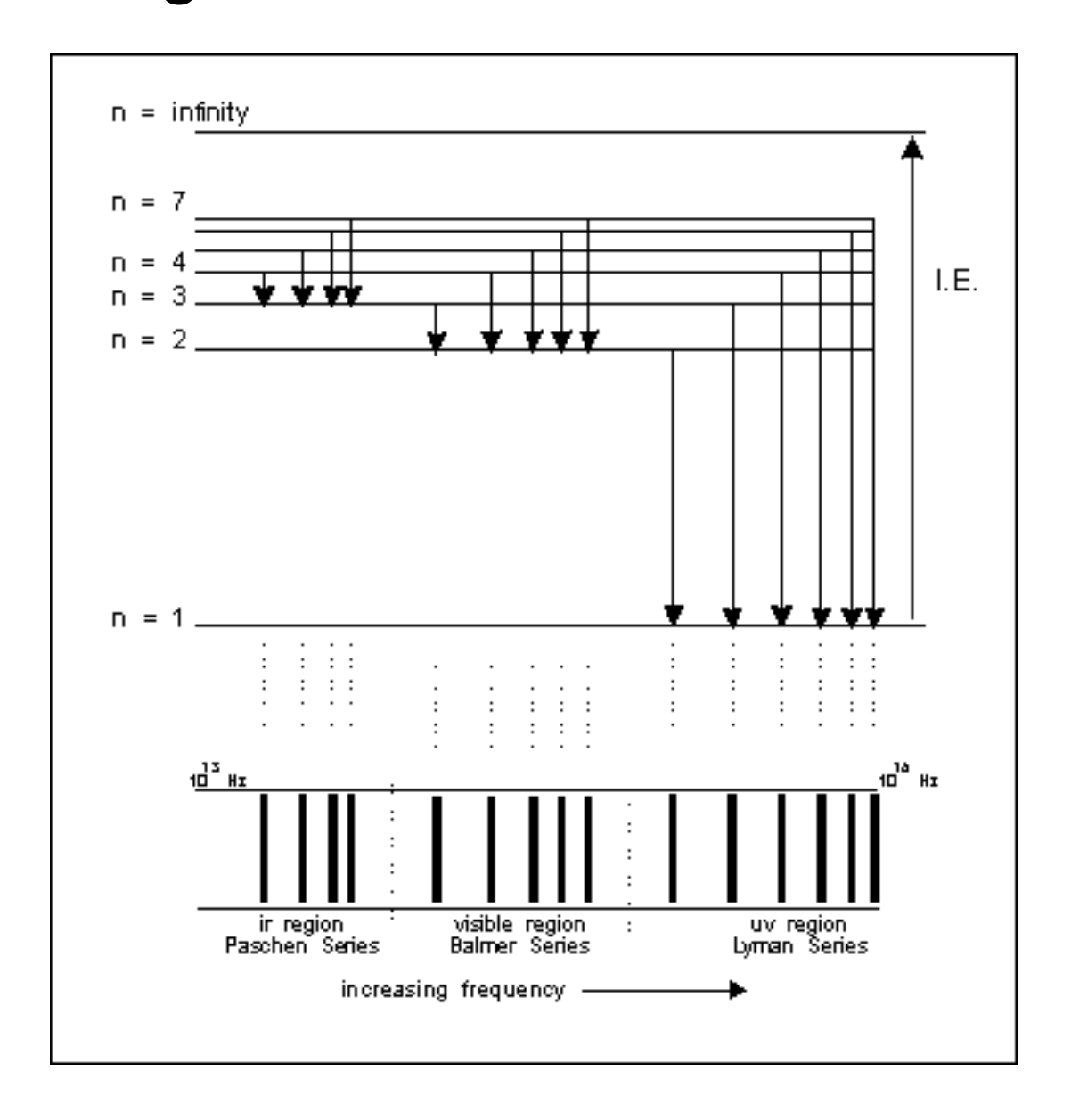
Radiazione termica (di corpo nero)



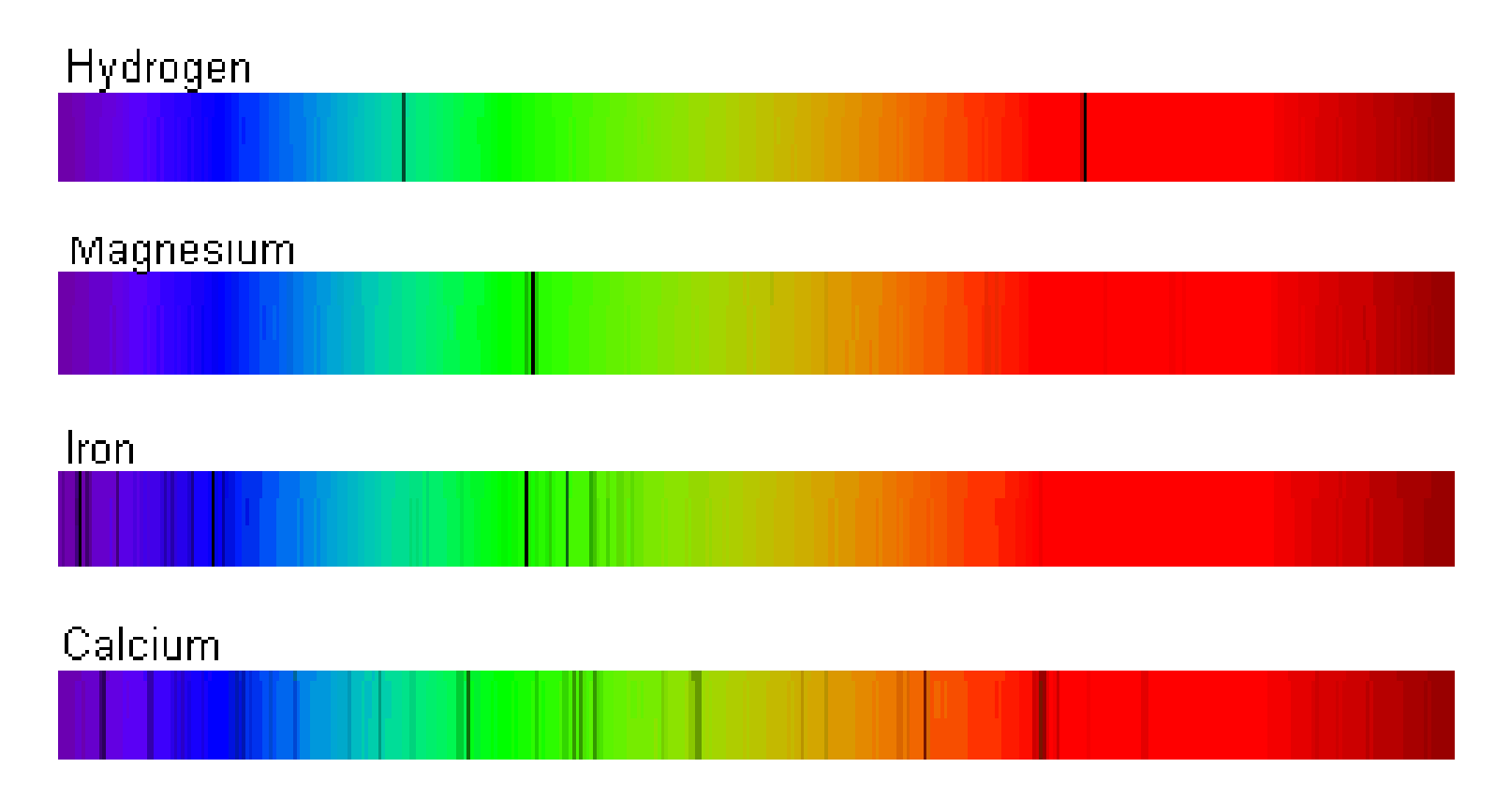
Radiazione generata da transizioni atomiche



Radiazione generata da transizioni atomiche



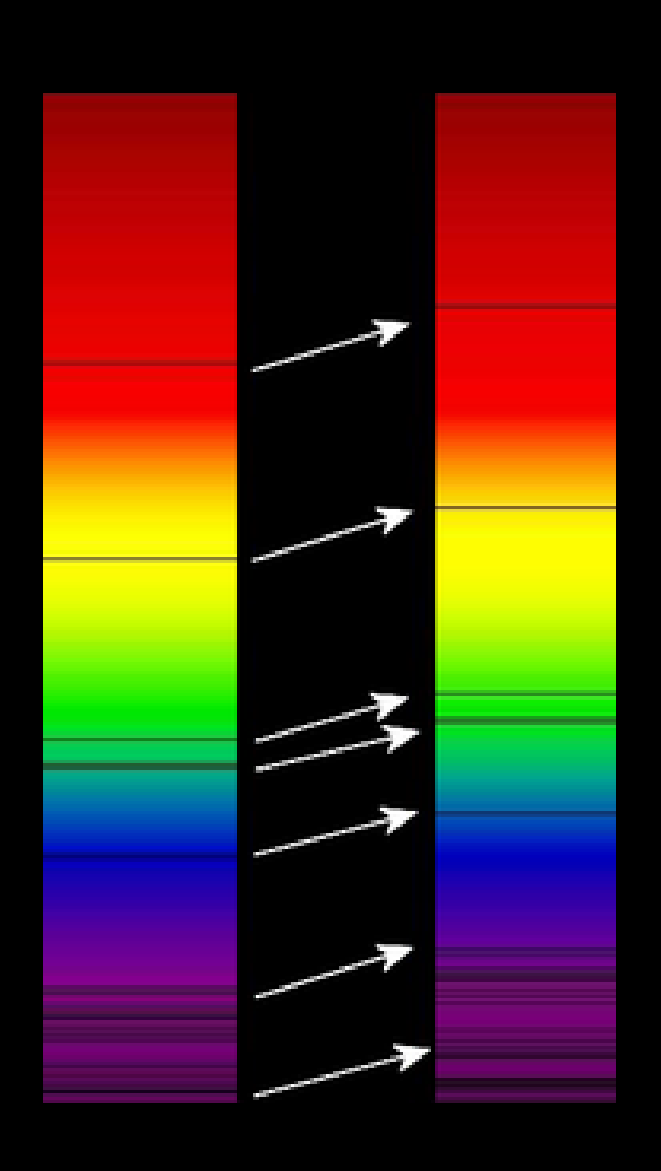
Righe spettrali di alcuni elementi chimici



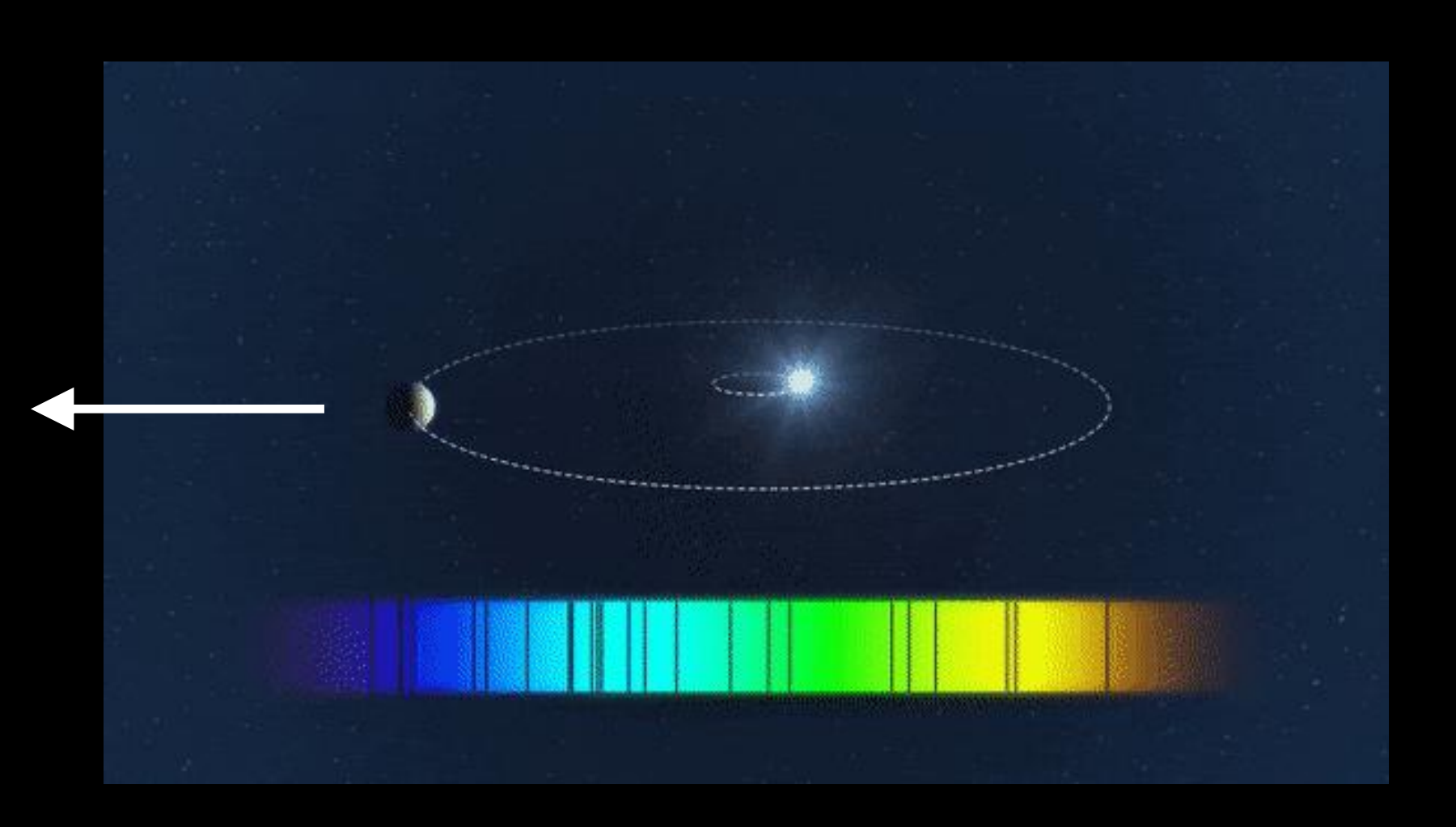
Spettro della luce solare

Effetto Doppler

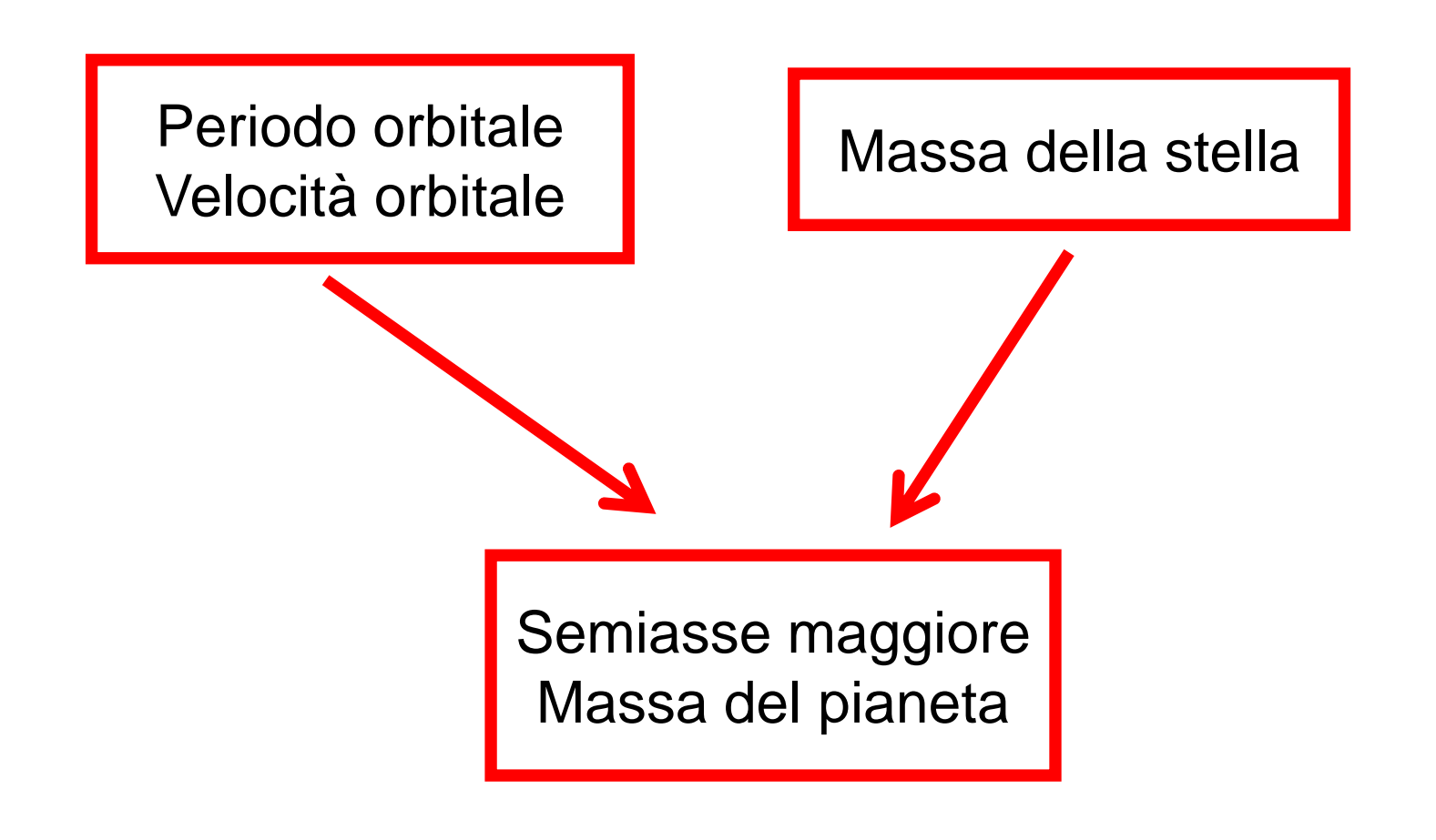
(spostamento delle righe spettrali)



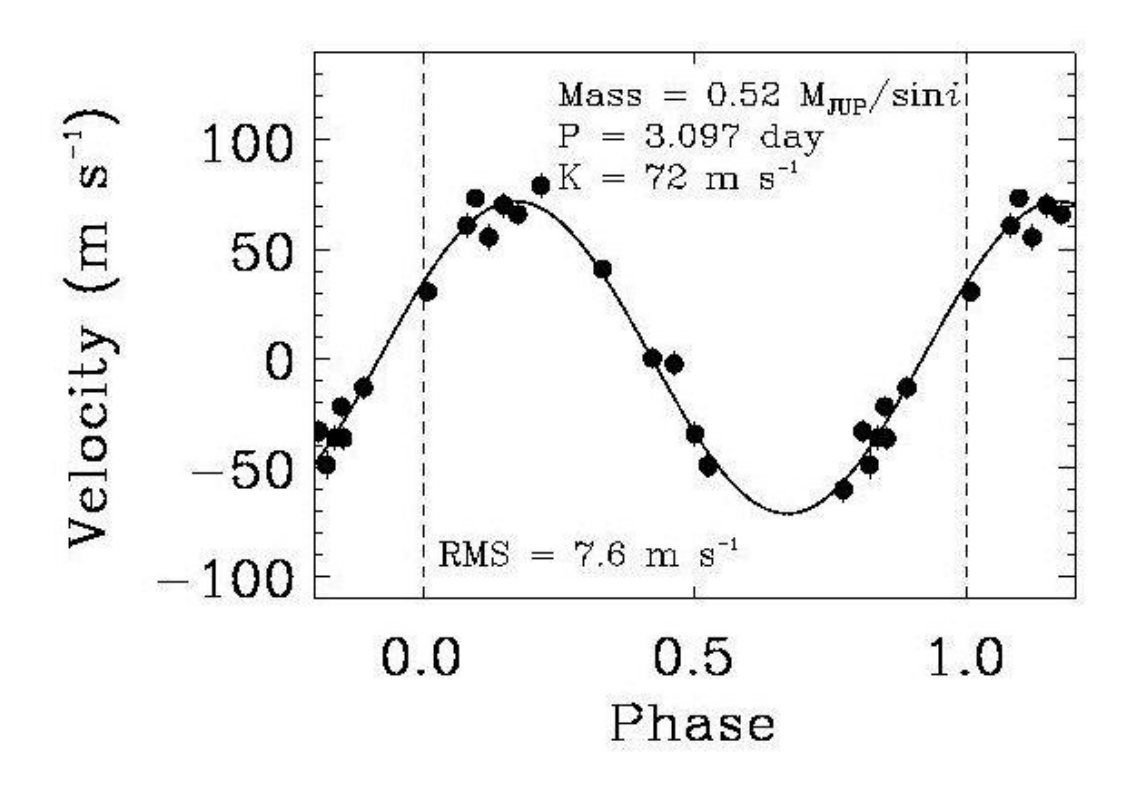
$$\frac{\Delta f}{f} = \frac{\Delta v}{c}$$



Che cosa si ricava dalla curva di velocità?



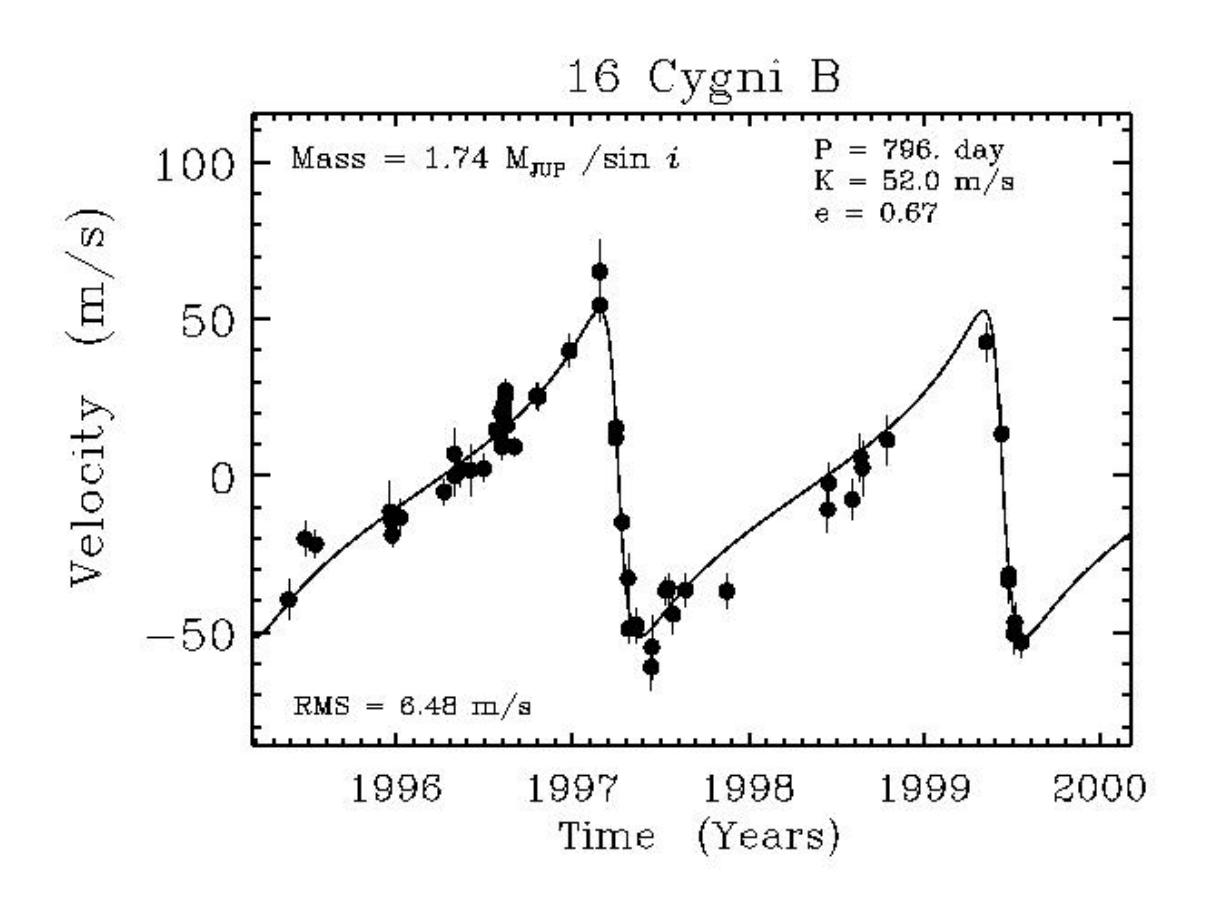
Sistema HD187123



$$M sin I = 0.52 M_{\text{Giove}}$$

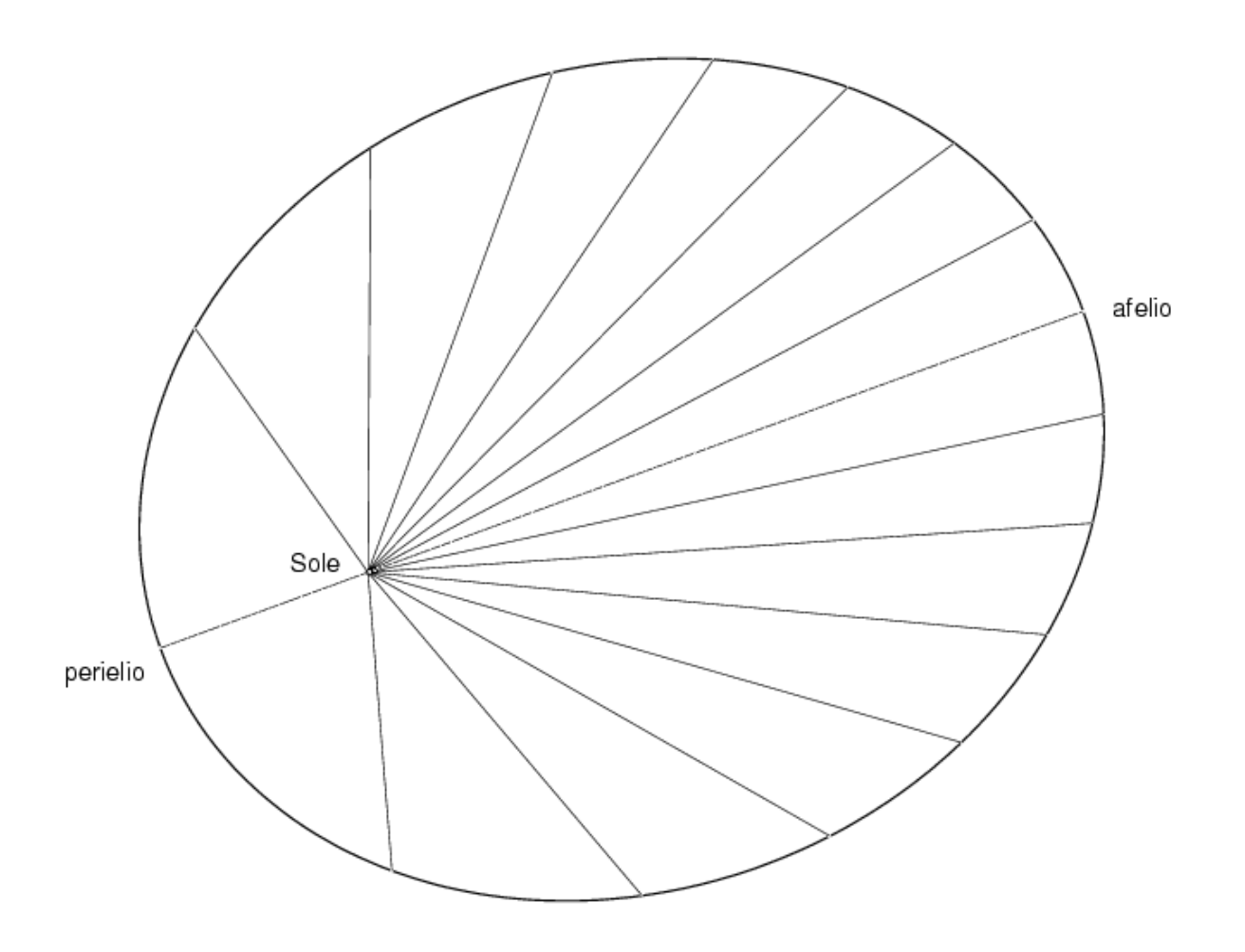
$$M sinI = 0.52 M_{Giove}$$
 $a = 0.042 AU$ periodo = 3.09 d

Sistema 16 Cyg B



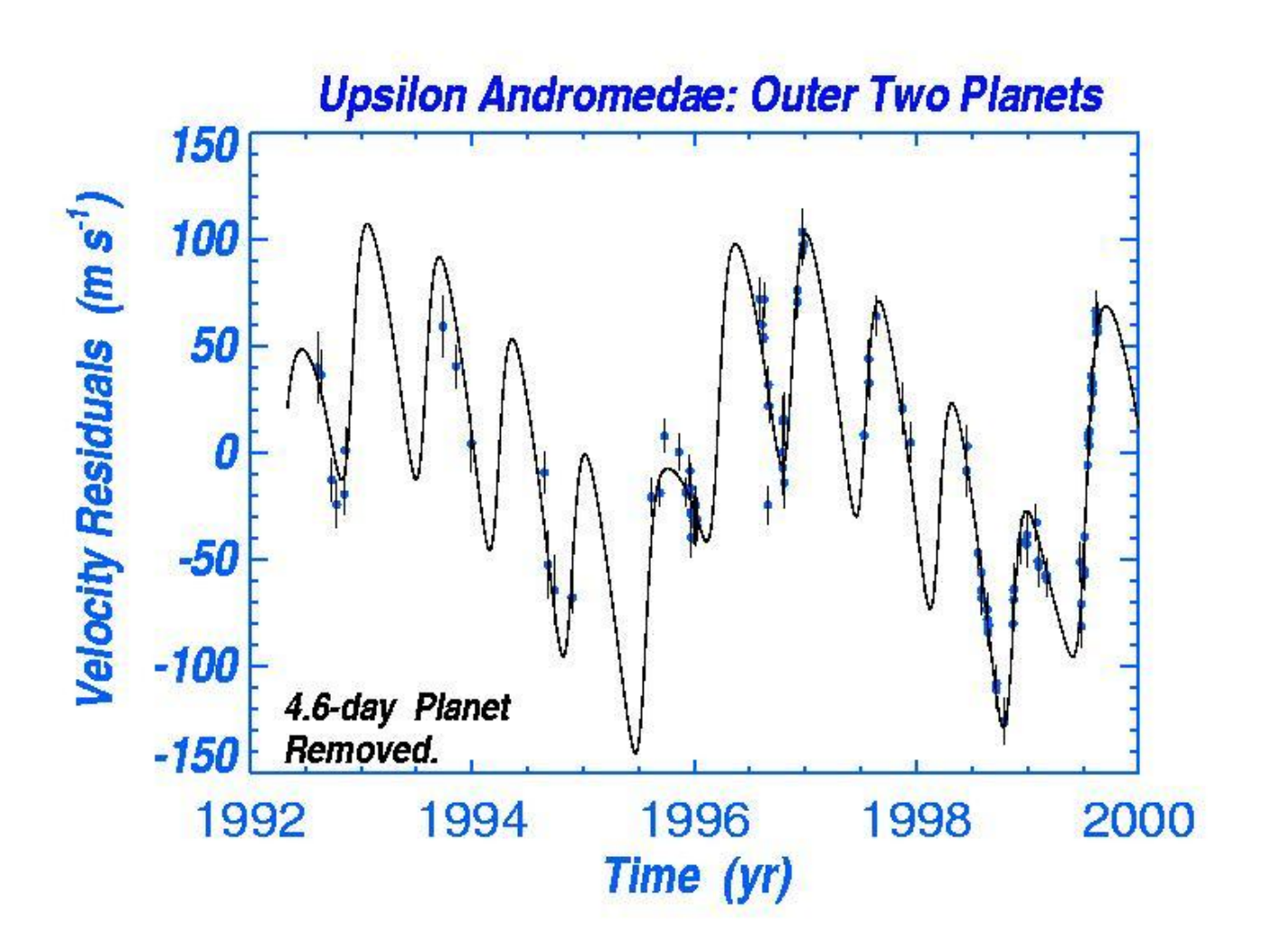
$$M \sin I = 1.5 M_{\text{Giove}}$$
 $a = 1.72 \text{ AU}$ periodo = 804 d $e = 0.63$

Seconda legge di Keplero

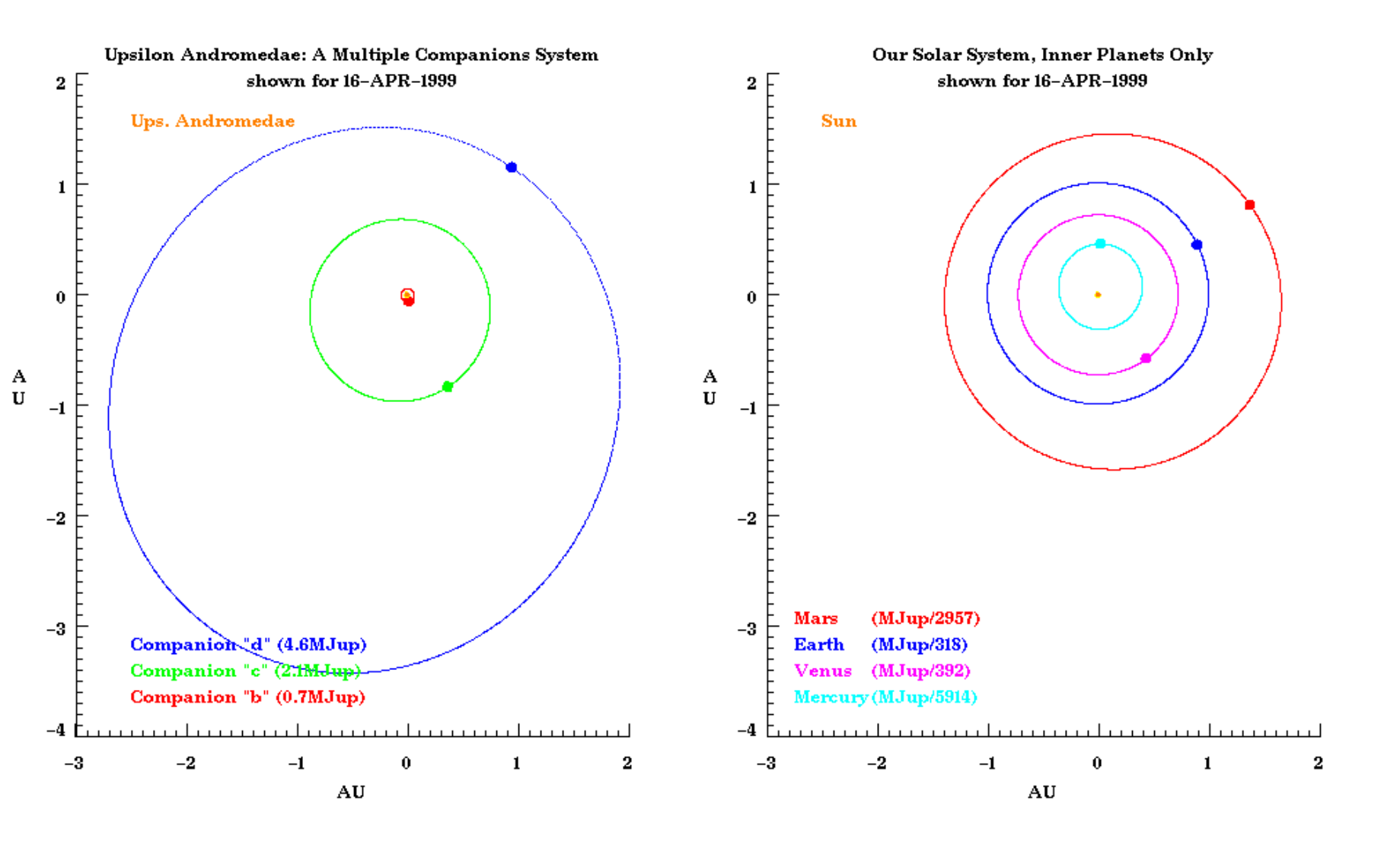


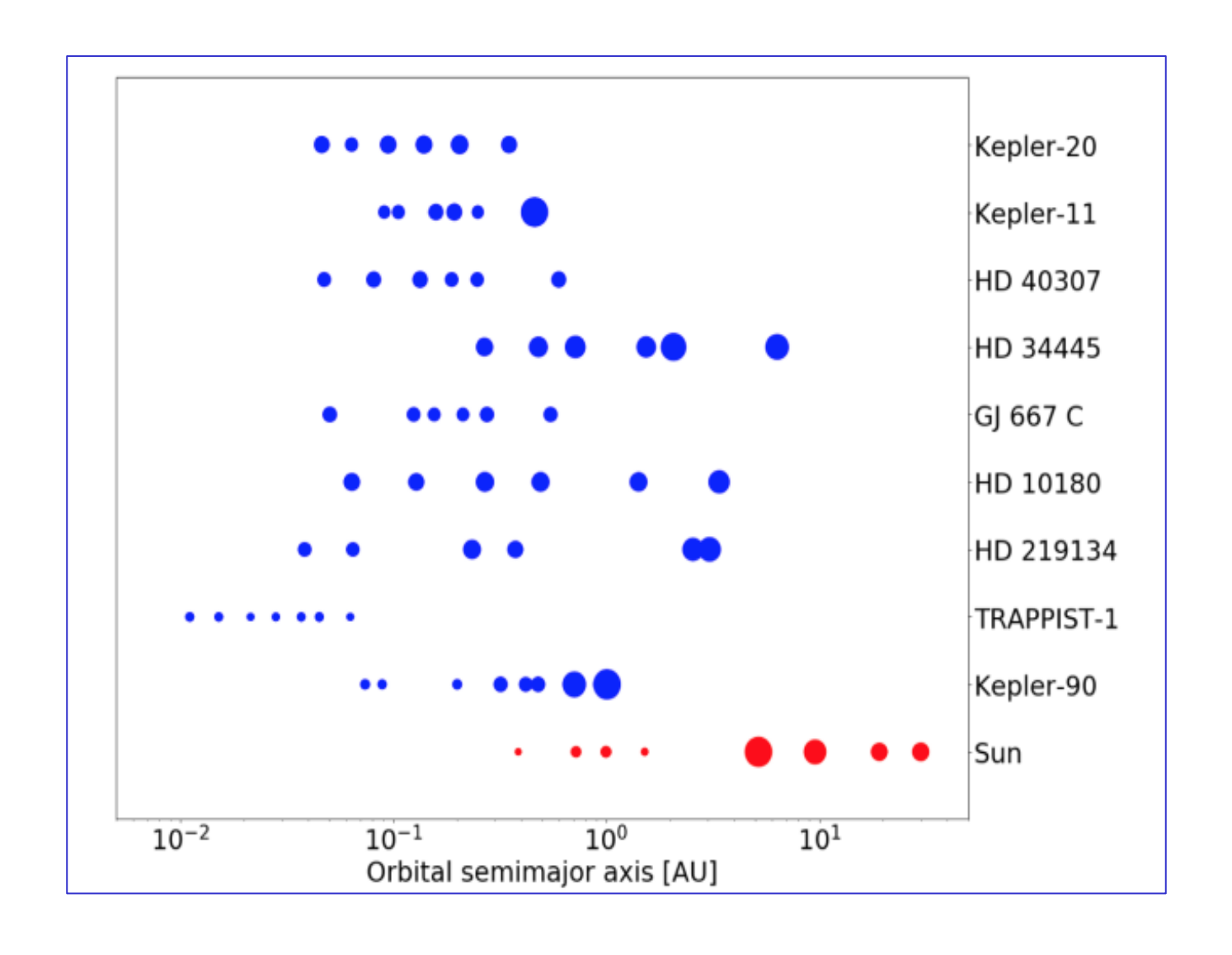
(velocità *areolare* costante → velocità *lineare* maggiore al periastro)

Sistema v Andromedae



Sistema v Andromedae





Cosa è possibile determinare con il metodo spettroscopico?

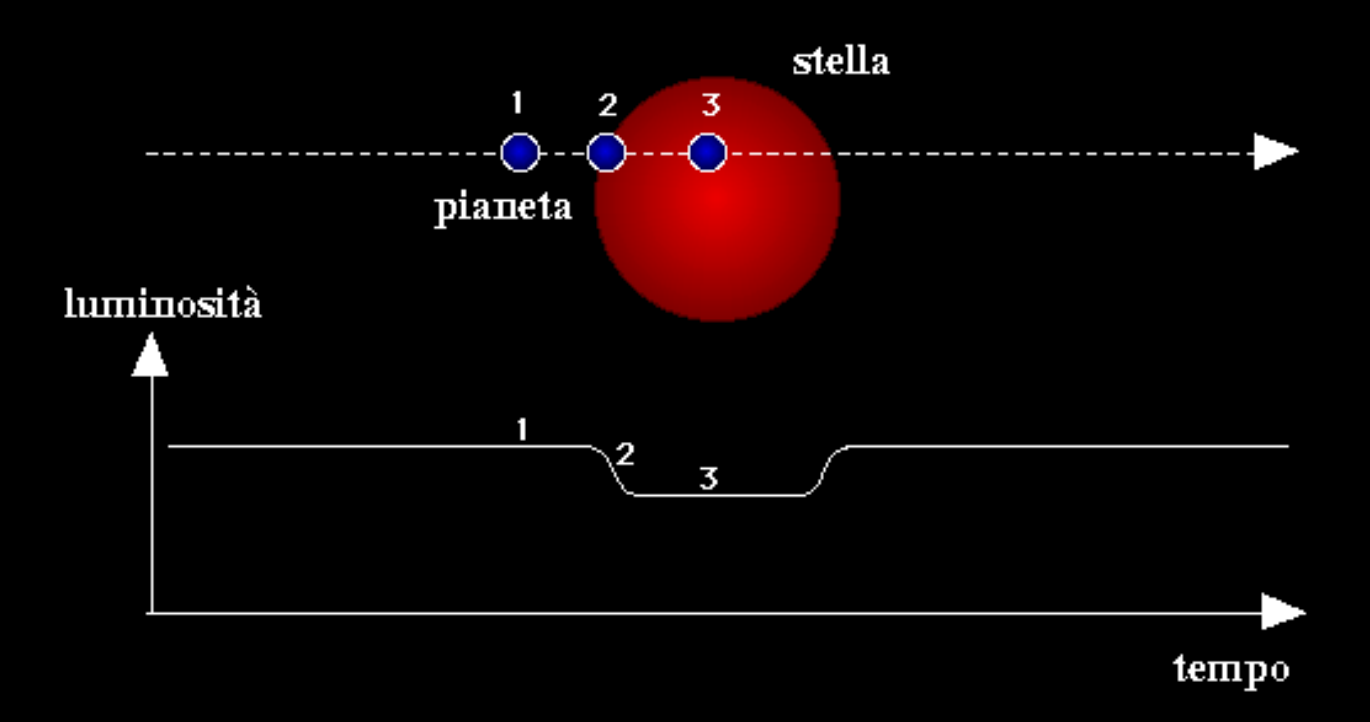
Grandezza	Determinabile?
Periodo orbitale	sì
Semiasse maggiore	sì
Diametro	no
Forma dell'orbita (eccentricità)	sì
Orientazione dell'orbita (inclinazione)	no
Massa	sì (*)

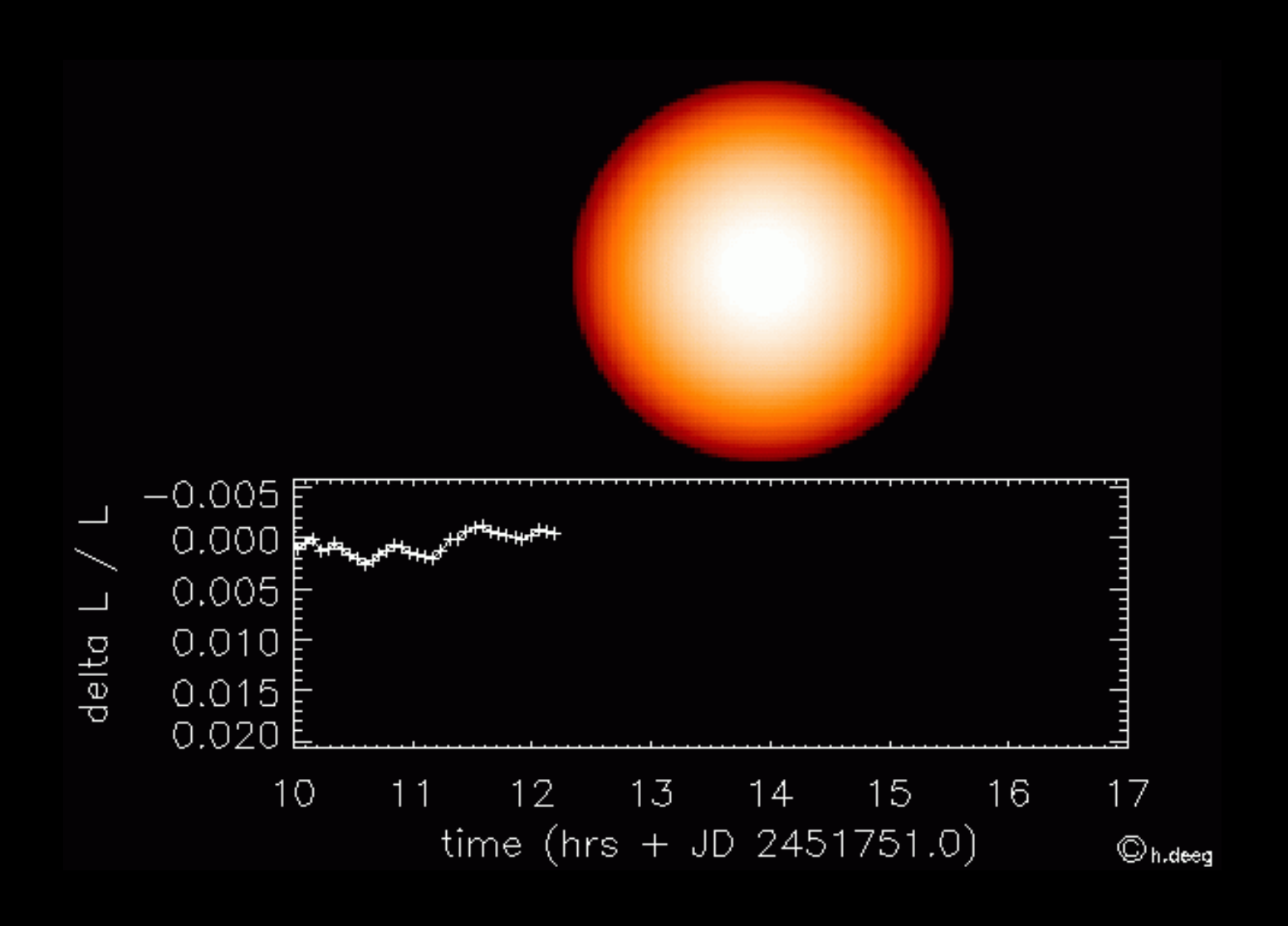
(*) valore *minimo* della massa (incertezza sull'inclinazione dell'orbita)

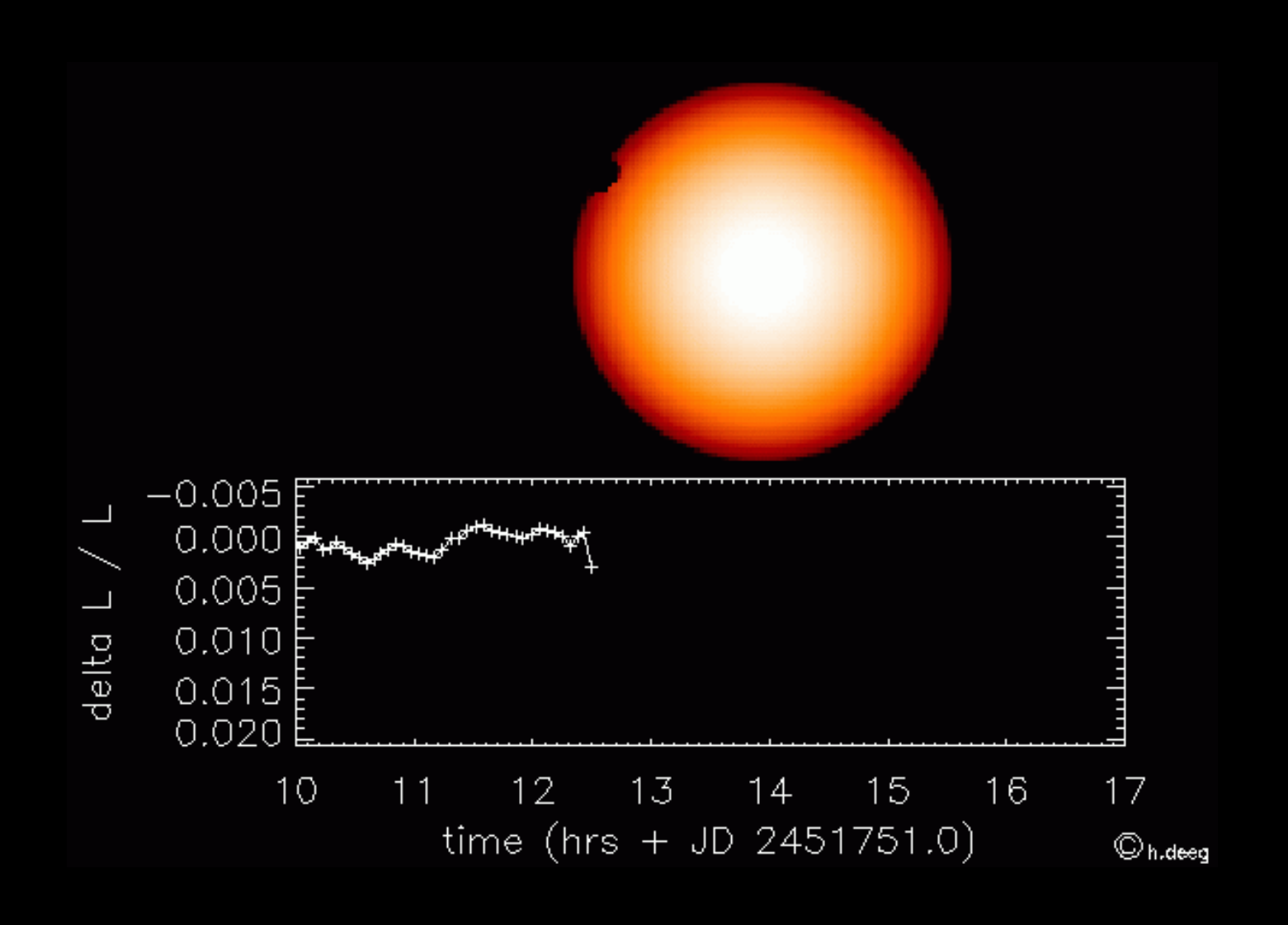
Metodi di detezione

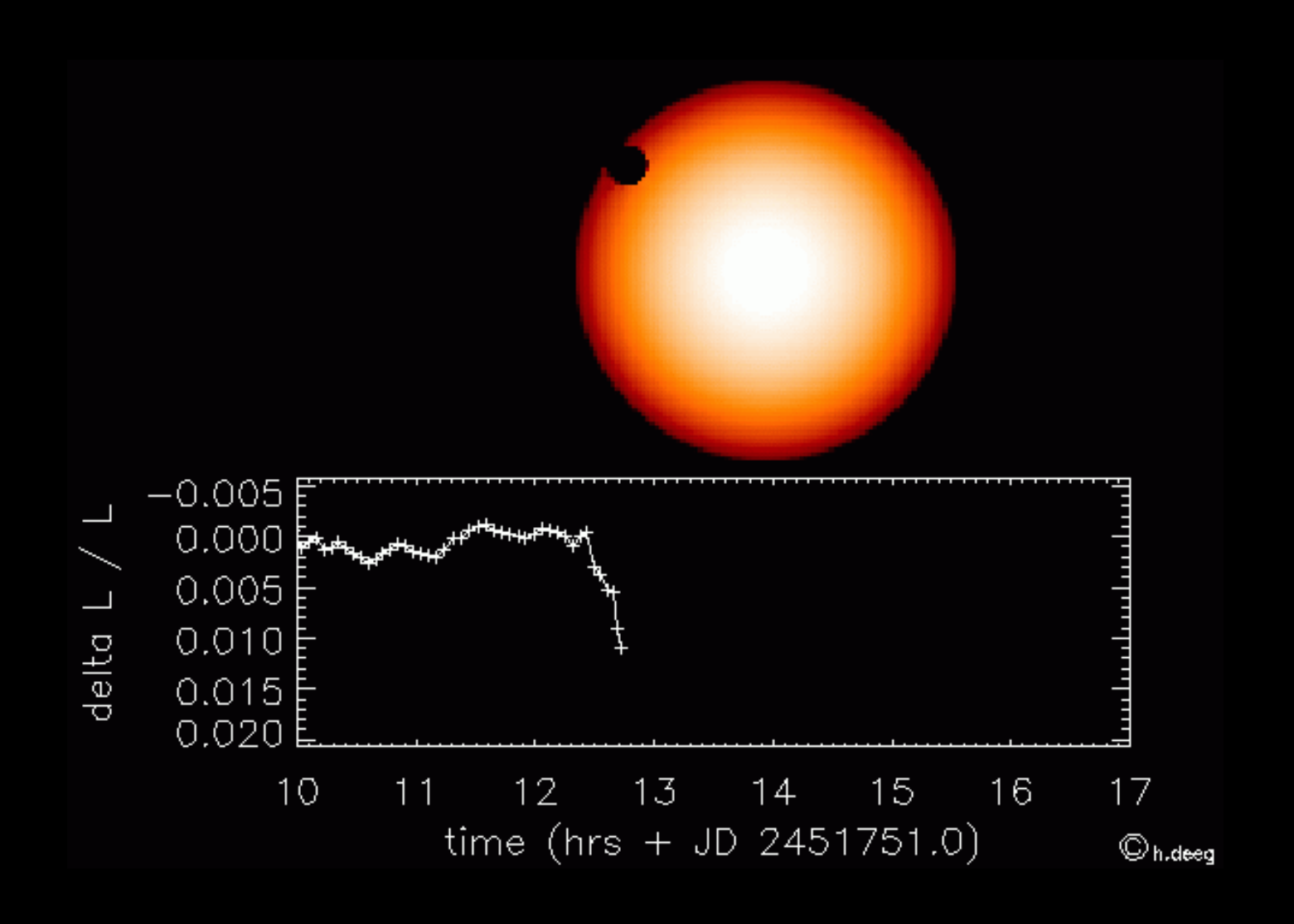
Metodo fotometrico (occultazioni)

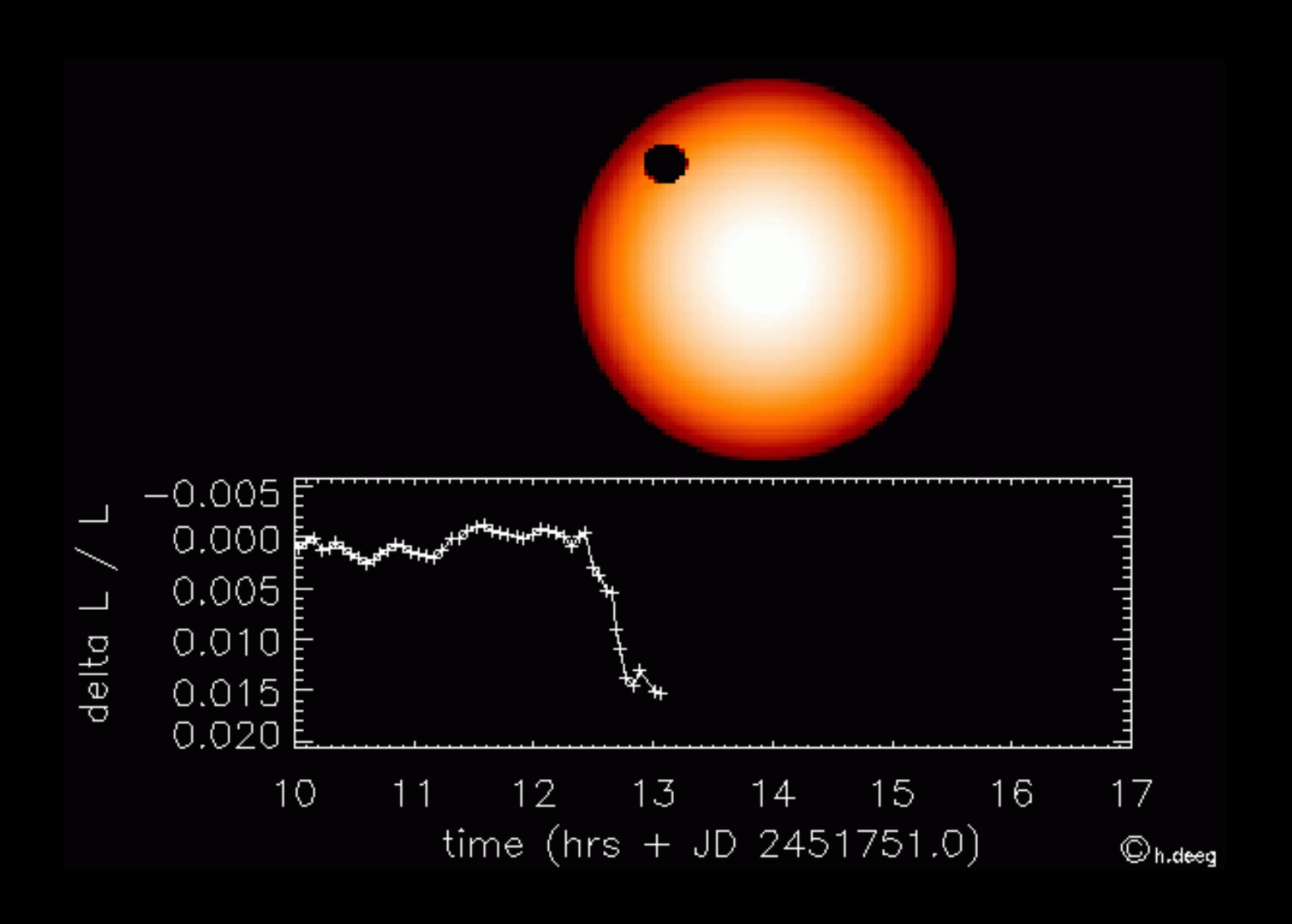
Fotometria (occultazioni)

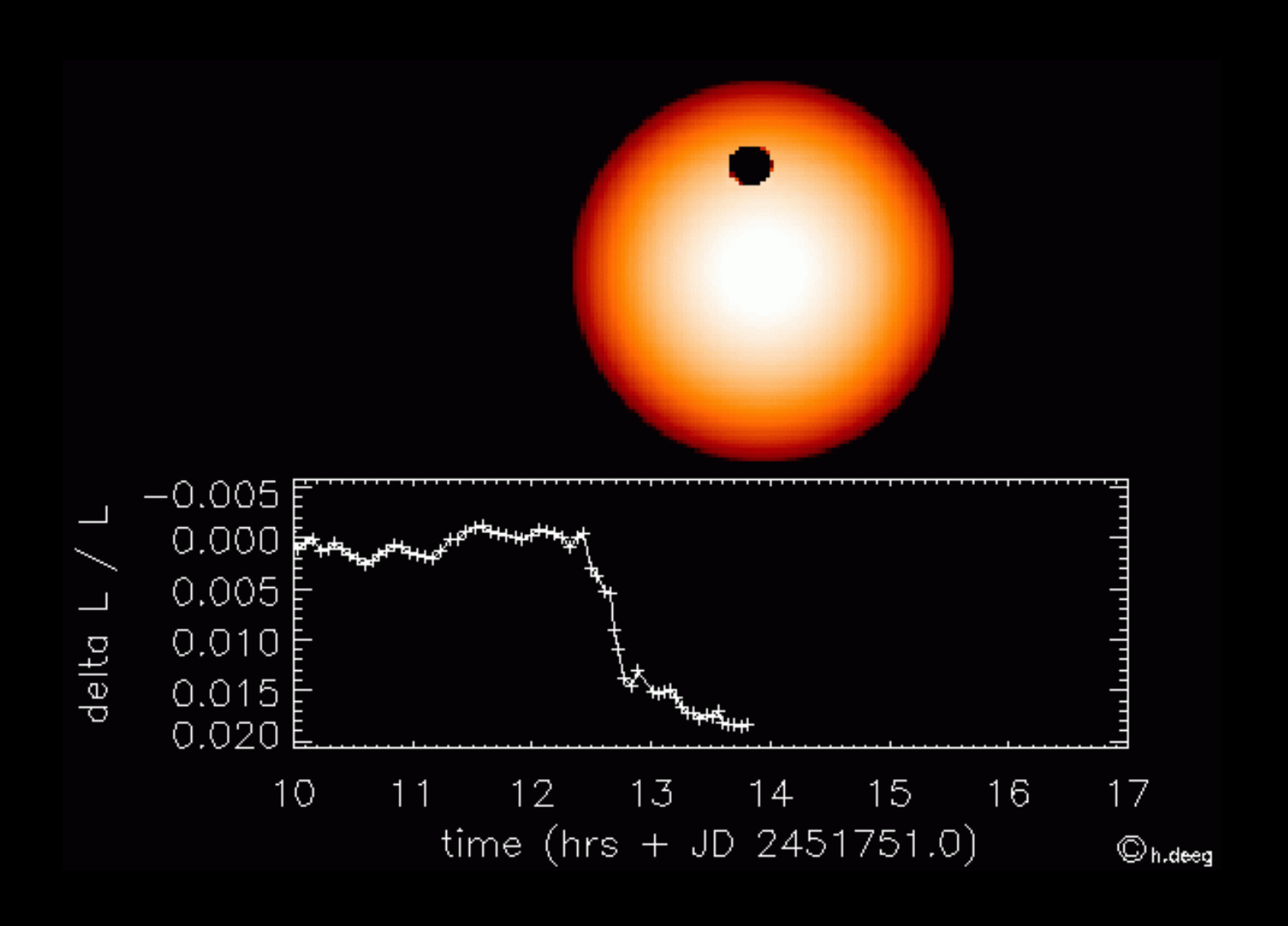


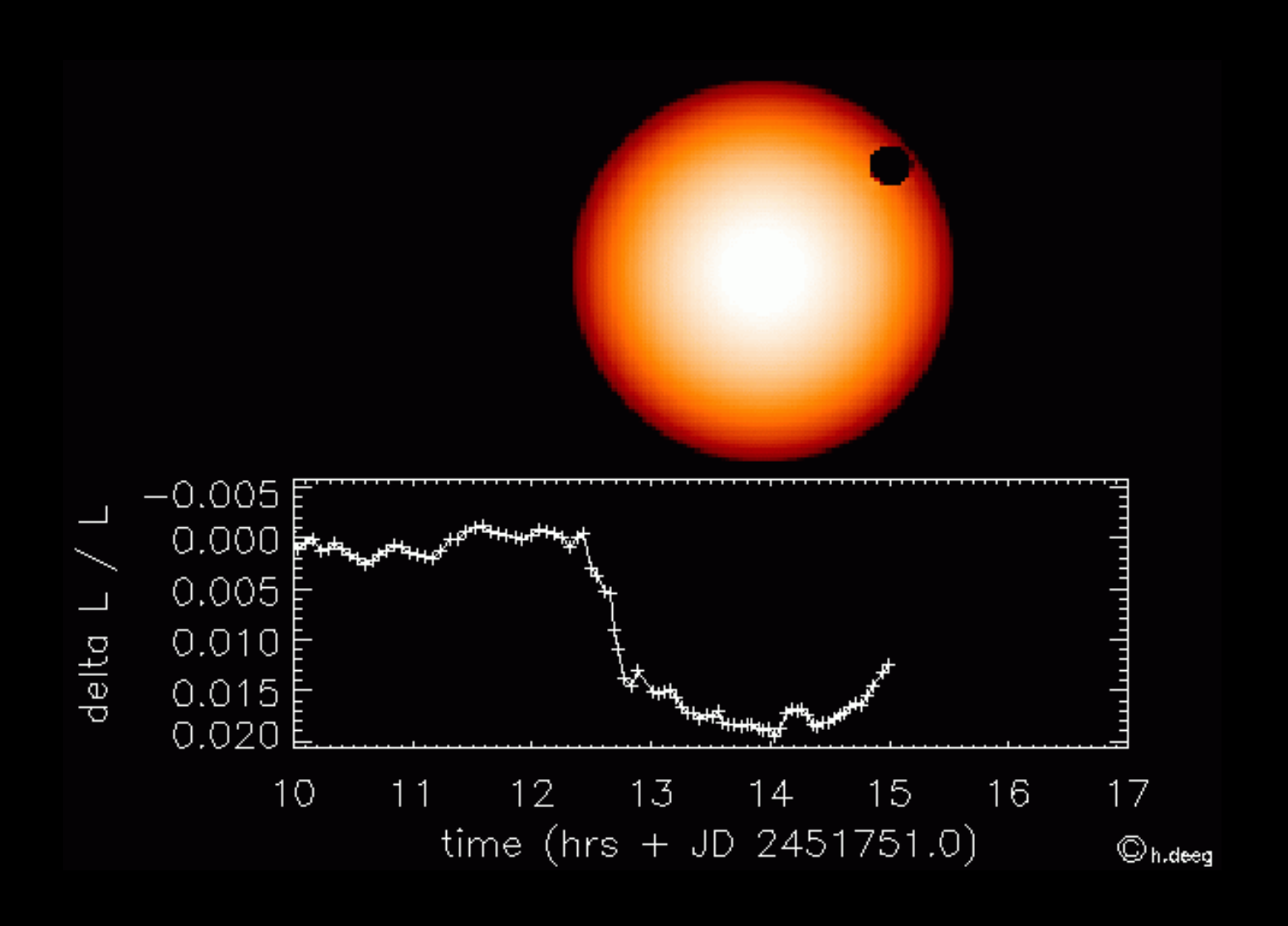


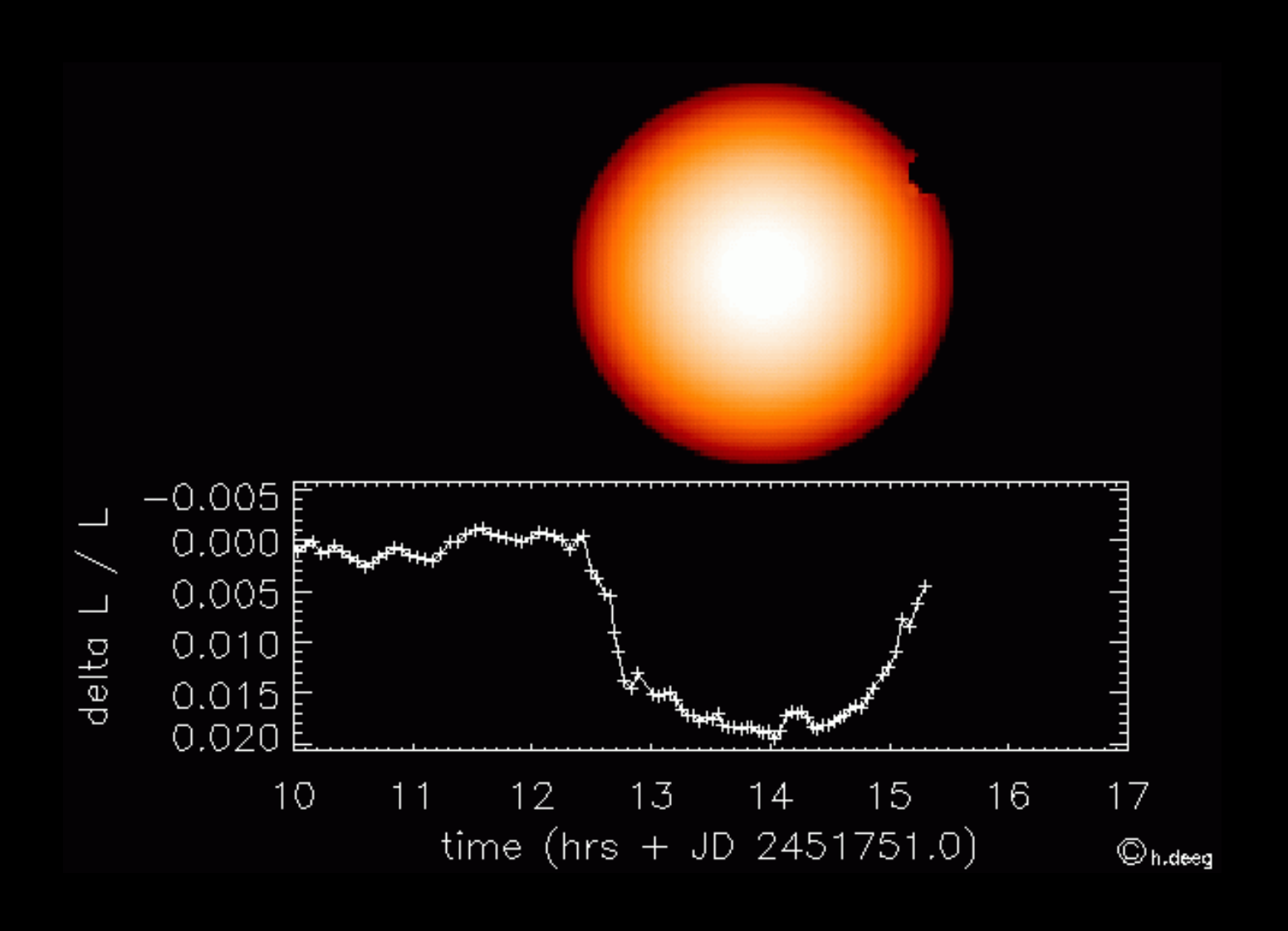


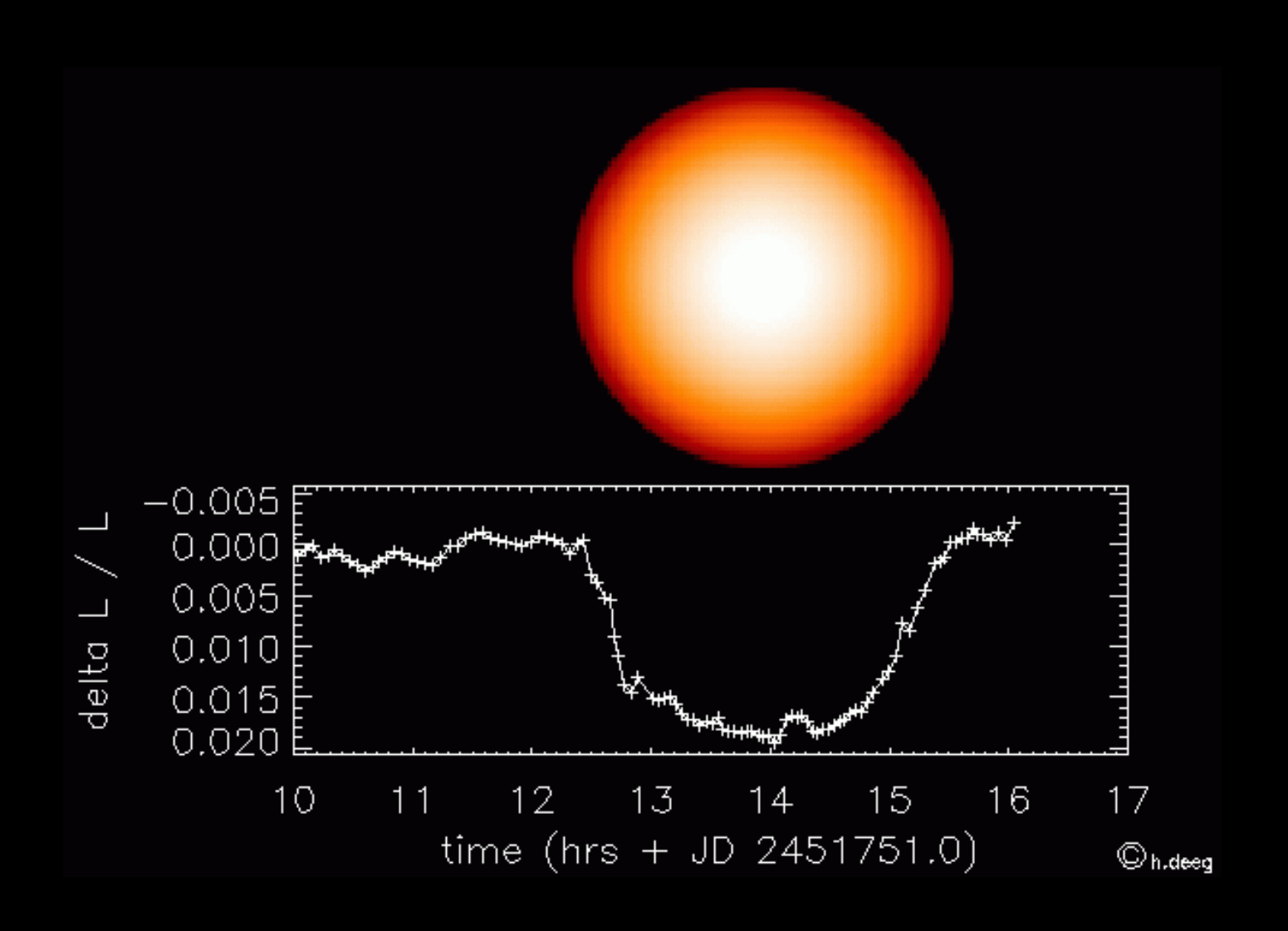




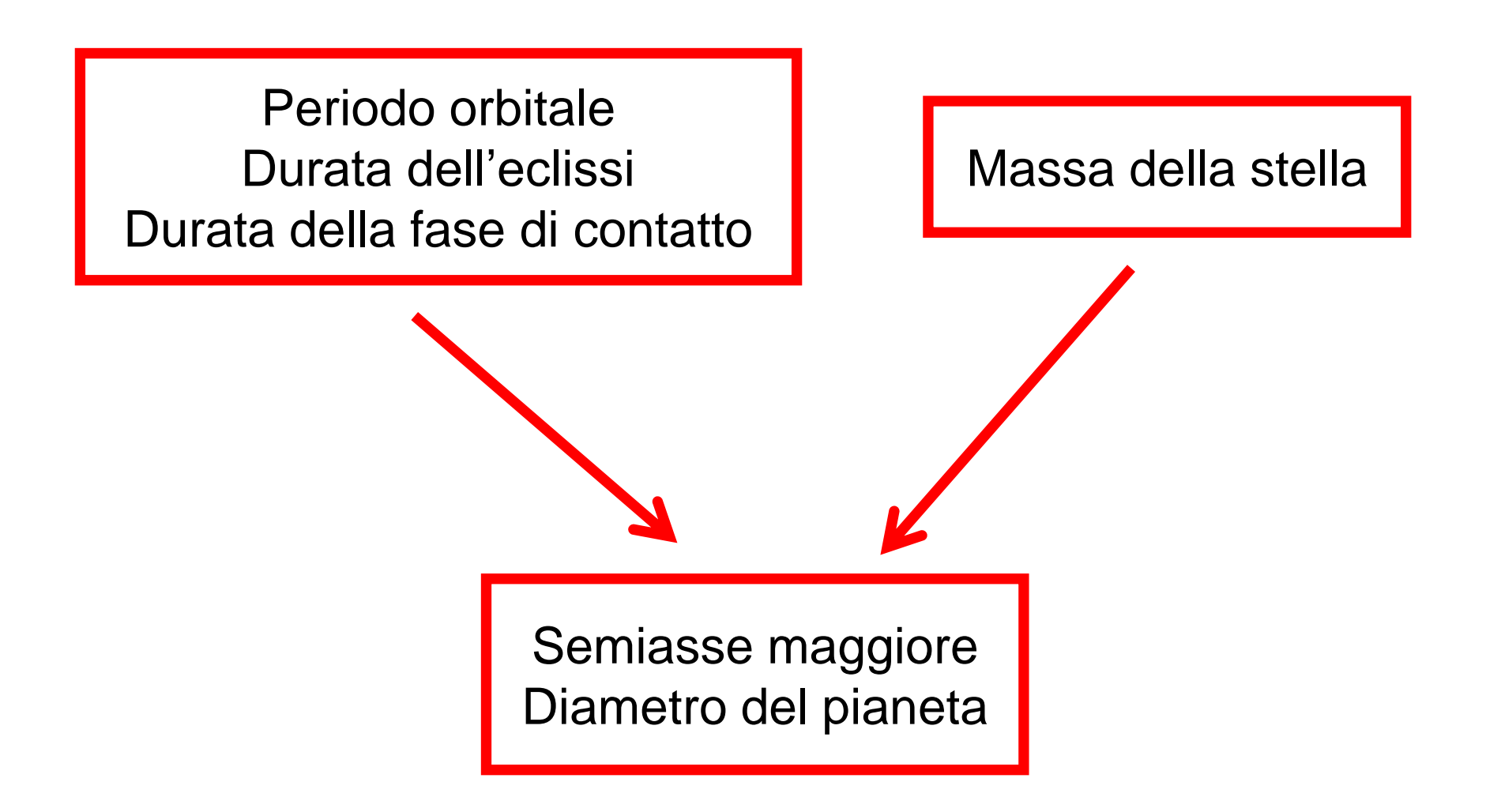








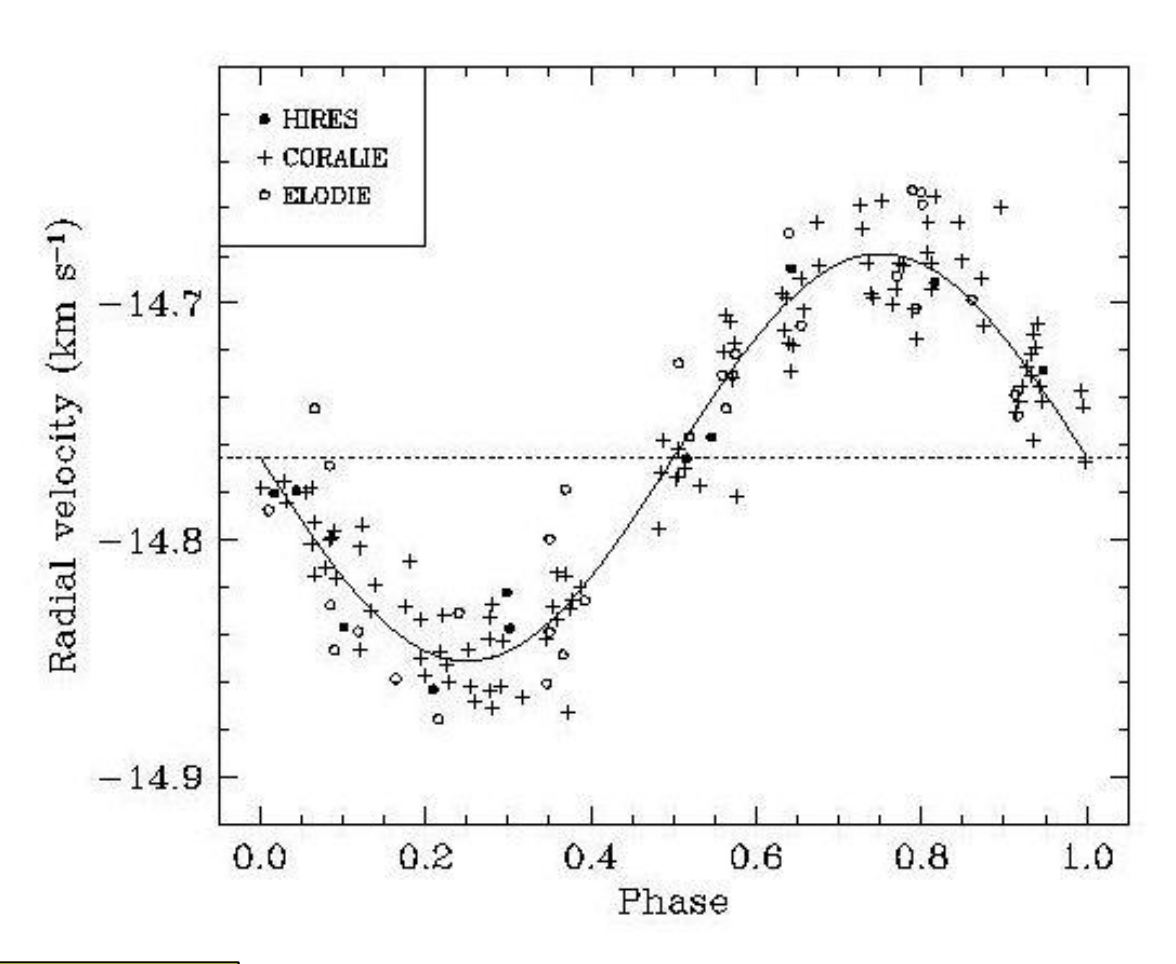
Che cosa si ricava dalla curva di luminosità?



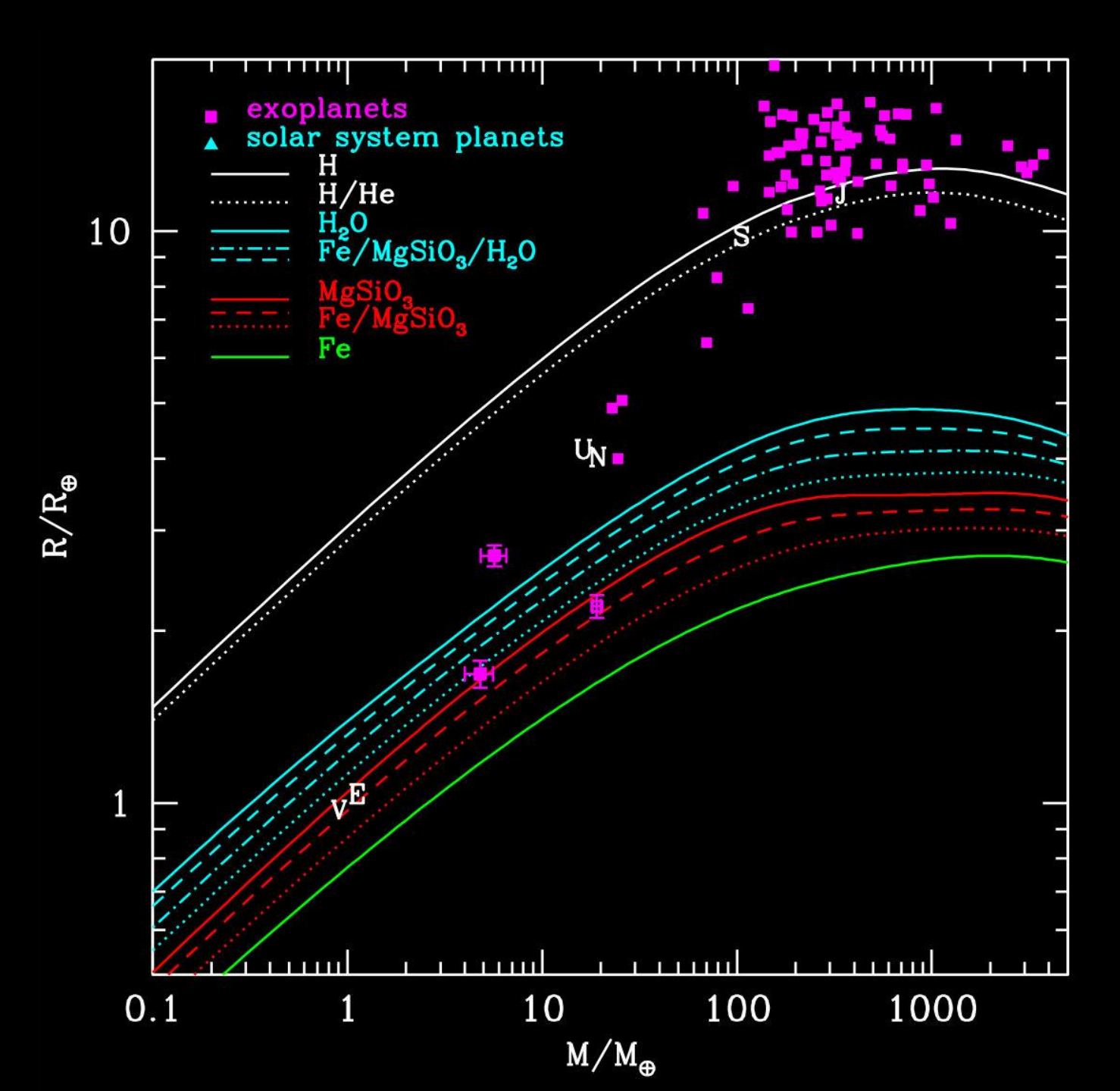
Cosa è possibile determinare con il metodo fotometrico?

Grandezza	Determinabile?	
	Spettroscopia	Fotometria
Periodo orbitale	sì	Sì
Semiasse maggiore	sì	Sì
Diametro	no	sì
Forma dell'orbita (eccentricità)	sì	no
Orientazione dell'orbita (inclinazione)	no	Sì
Massa	sì (*)	no

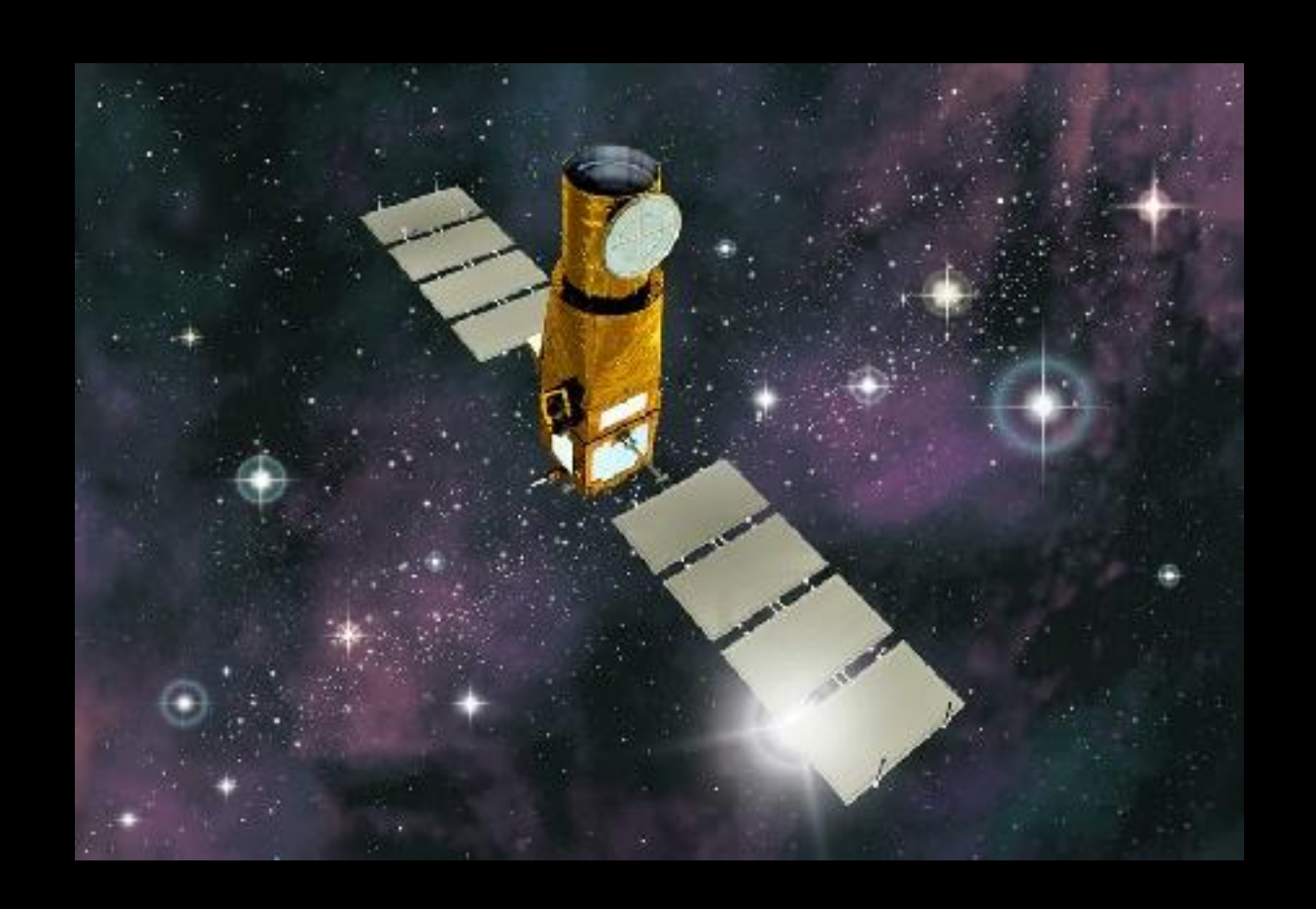
^(*) valore *minimo* della massa, ma l'incertezza sull'inclinazione dell'orbita è rimossa se il pianeta occulta la stella



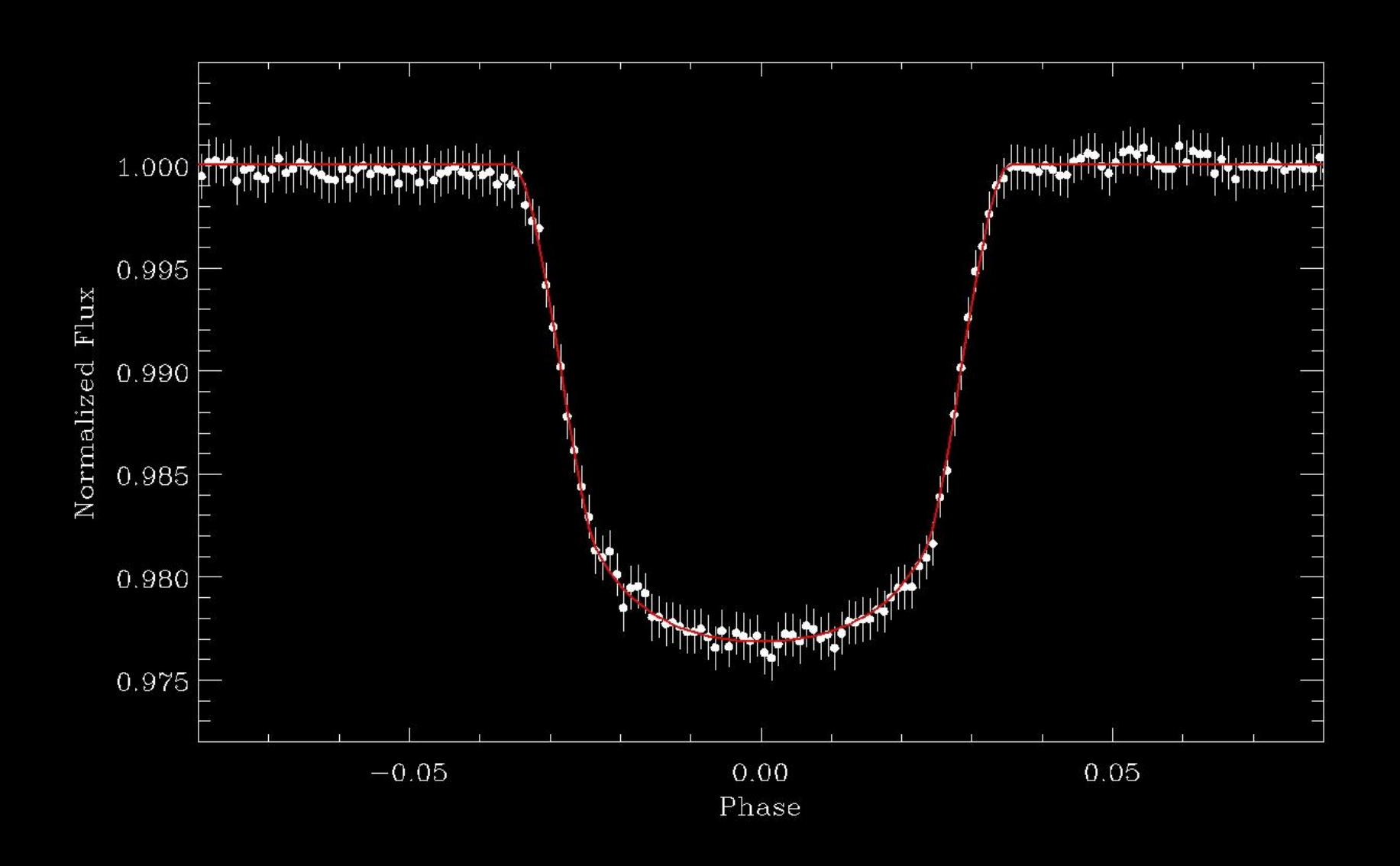
 $M = 0.71 M_{\text{Giove}}$ a = 0.045 AU periodo = 3.5 d $R = 1.38 R_{\text{Giove}}$ densità = 1/3 dell'acqua

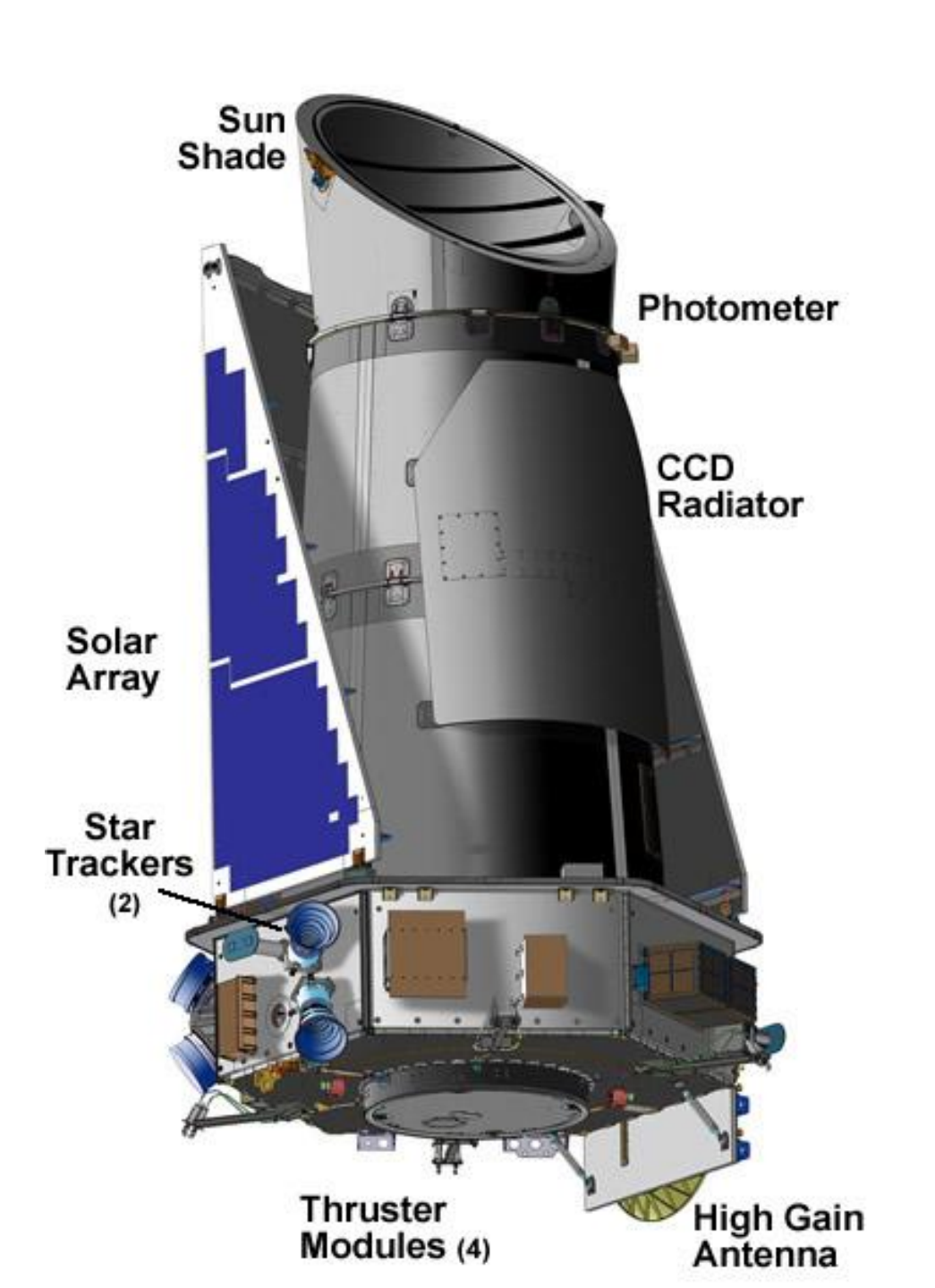


COROT (COnvection ROtation and planetary Transits)



COROT (COnvection ROtation and planetary Transits)

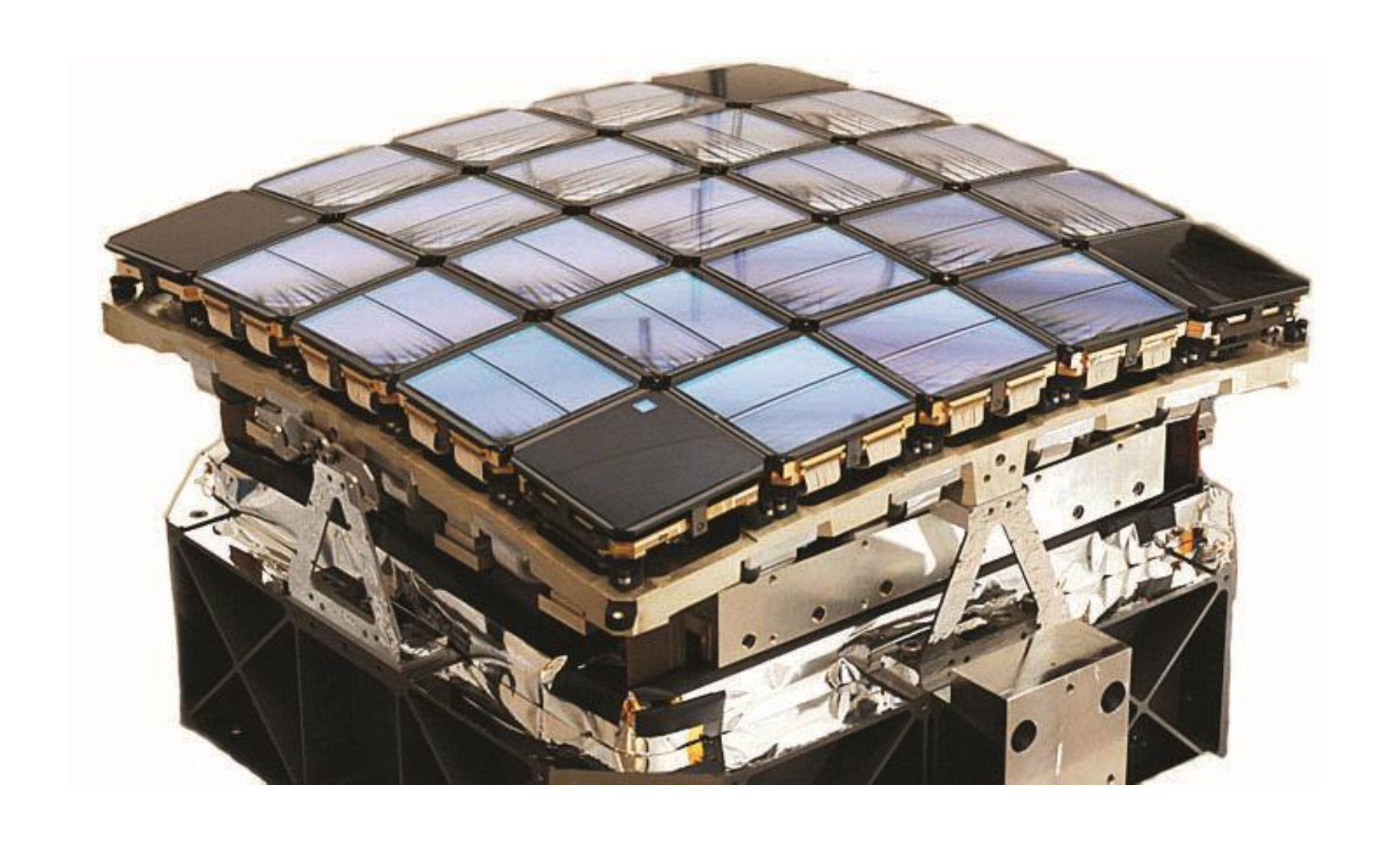




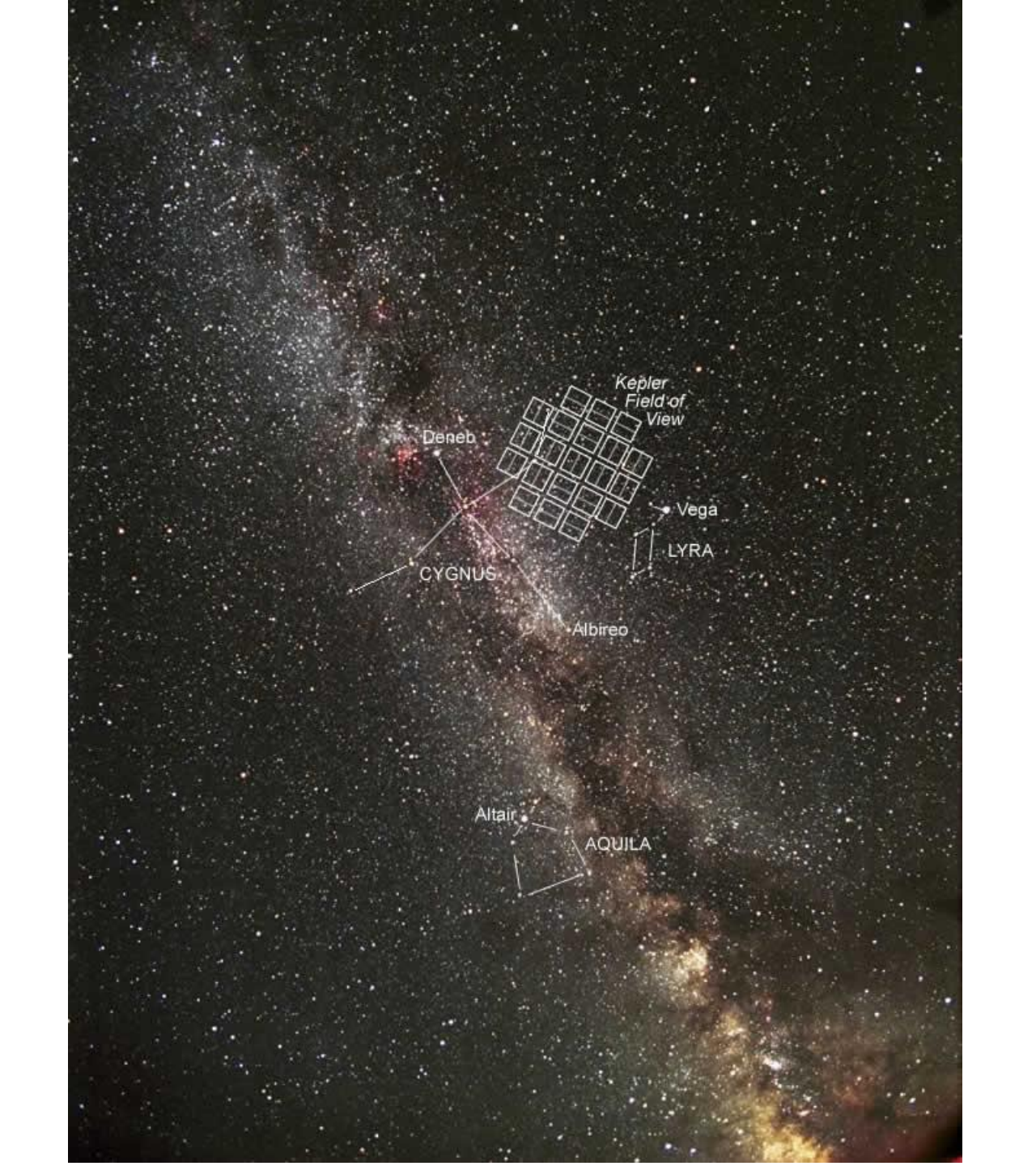
Kepler

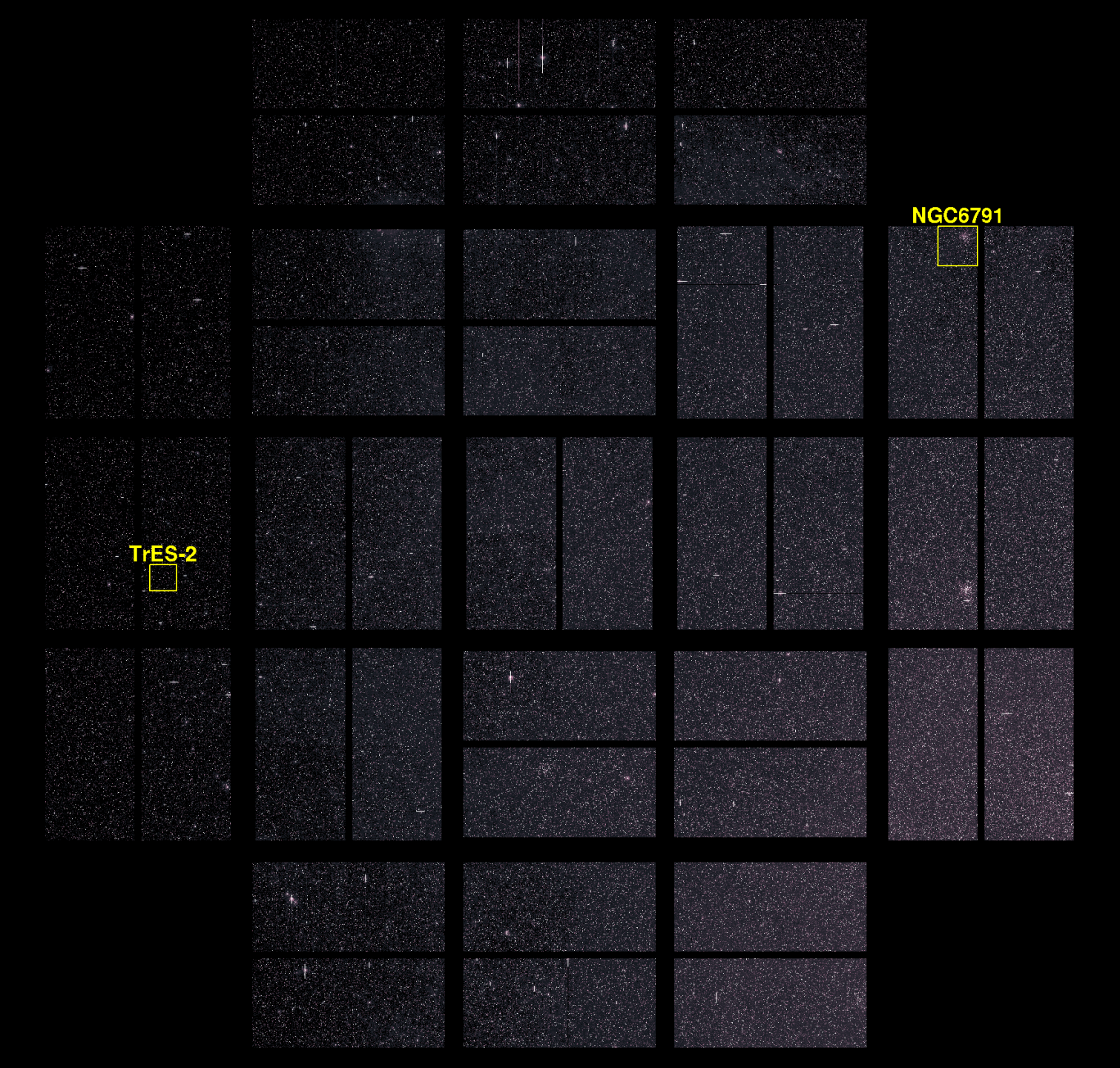
(2009-2013)

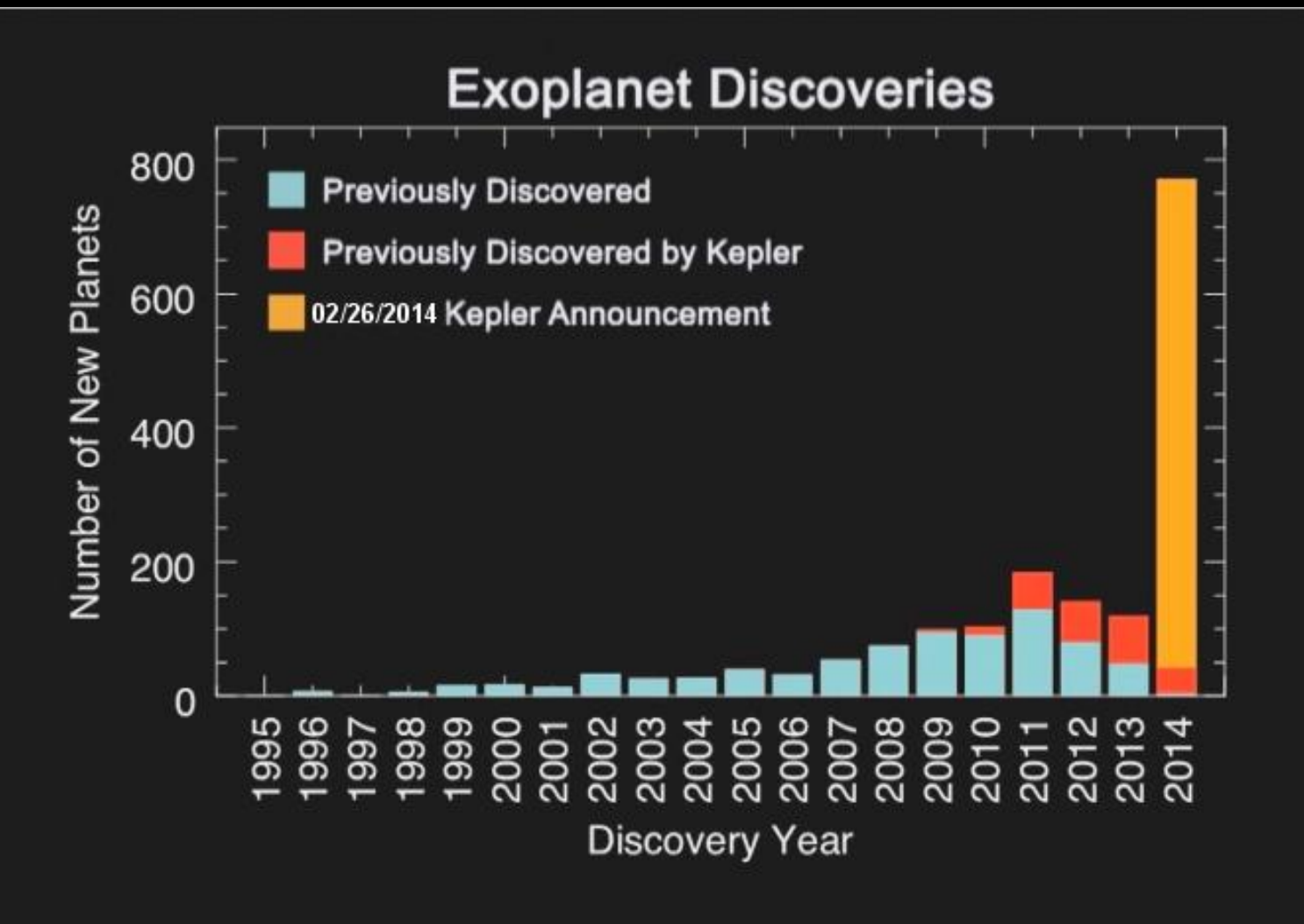
Diametro: 95 cm



Matrice di 42 CCD di 2200×1024 pixel ciascuno (95 Megapix)



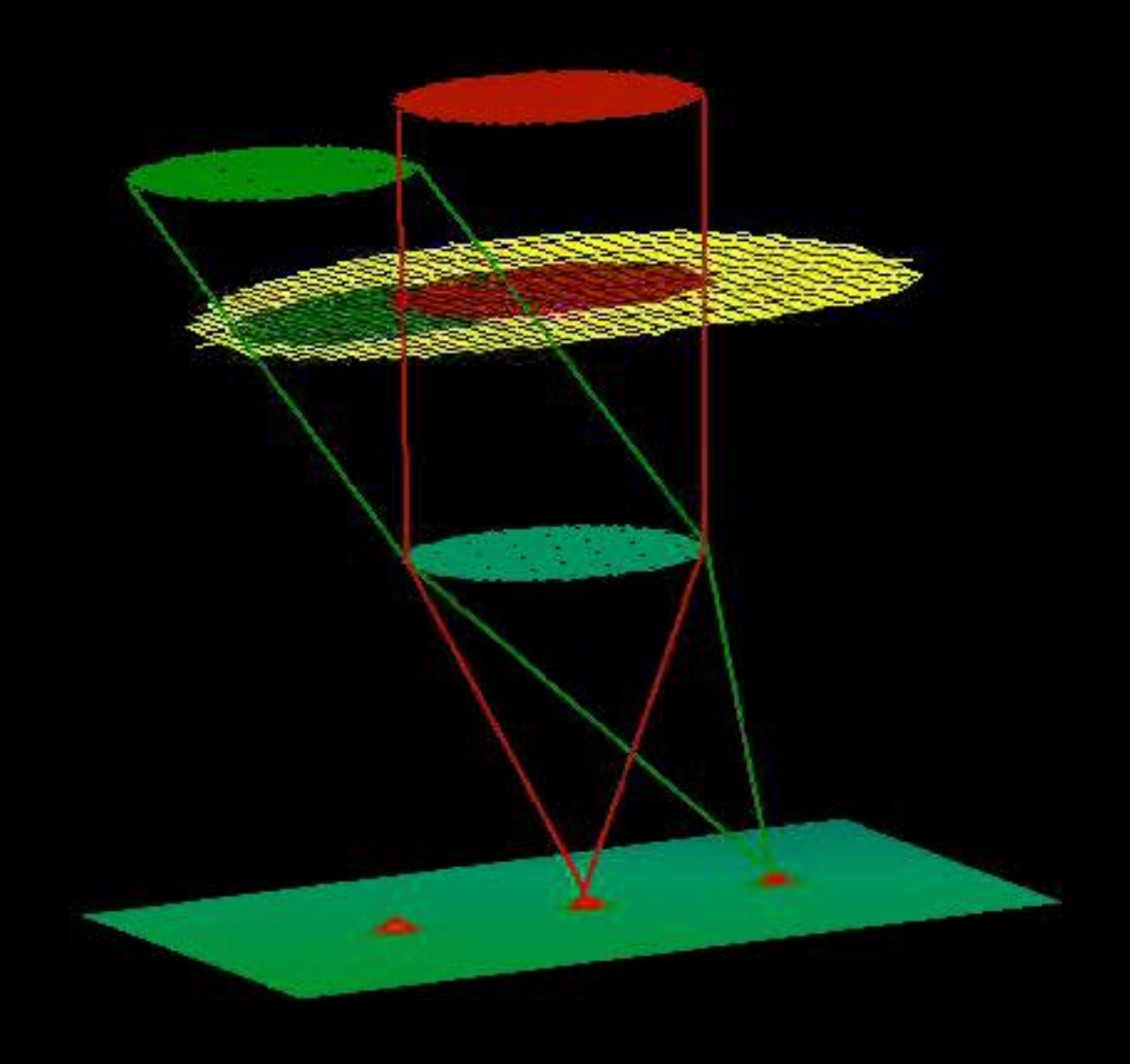




Metodi di detezione

Osservazione diretta (ottico o infrarosso)

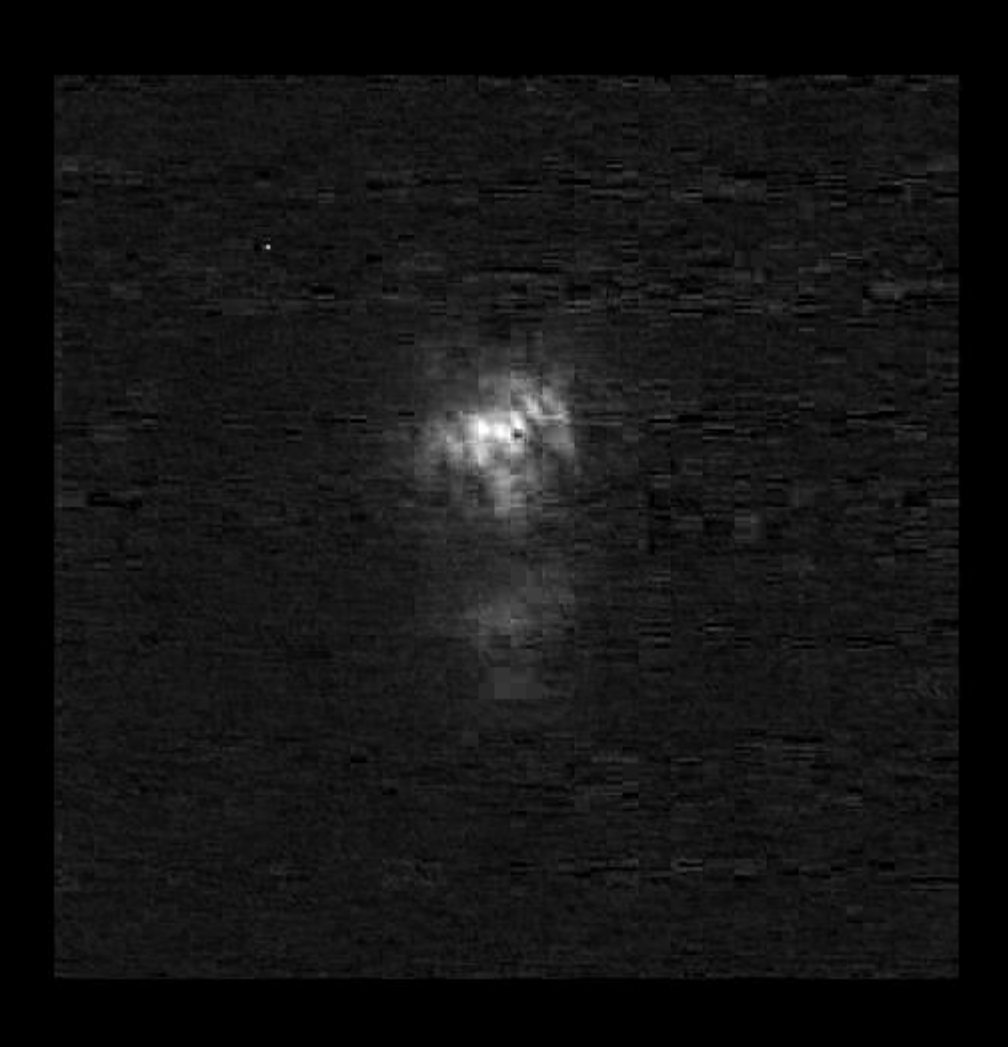
Effetto della turbolenza atmosferica sulla risoluzione dell'immagine



Effetti della turbolenza atmosferica (seeing)

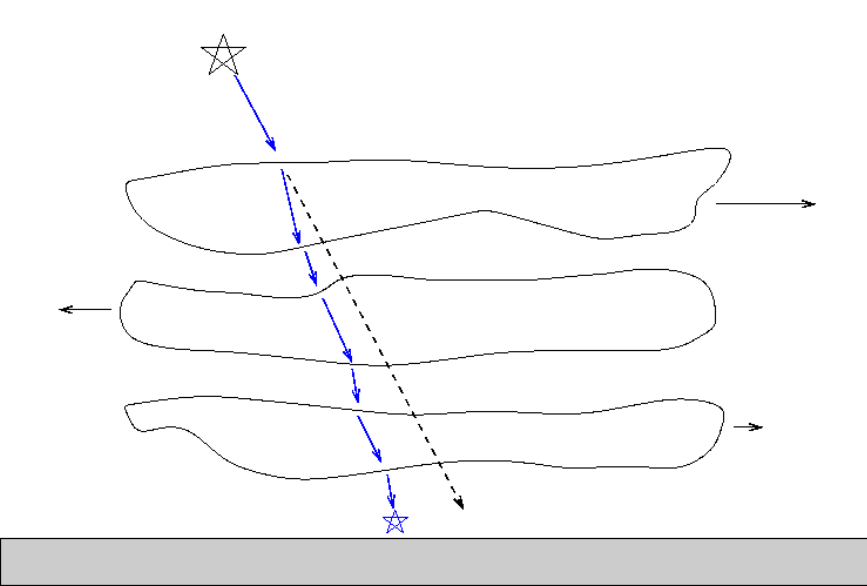


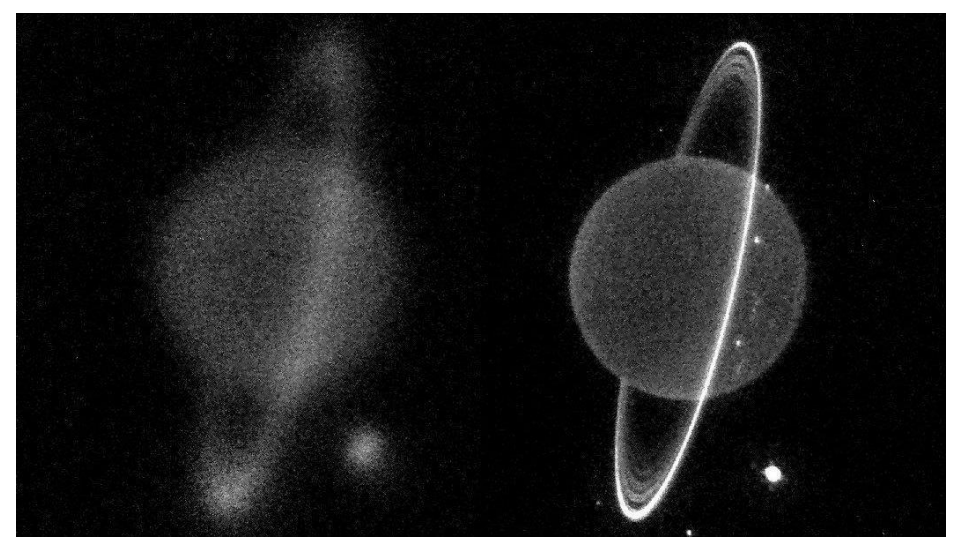
Miglioramento della risoluzione dell'immagine per mezzo di *ottiche adattive*





Turbolenza atmosferica e ottiche adattive







Metodi di detezione

Ottiche adattive

Brown Dwarf Gliese 229B Hubble Space Telescope Palomar Observatory Wide Field Planetary Camera Discovery Image October 27, 1994 November 17, 1995

PRC95-48 • ST Sci OPO • November 29, 1995 • T. Nakajima and S. Kulkarni (CalTech), S. Durrance and D. Golimowski (JHU), NASA

(ottica adattiva)

(telescopio spaziale)

Pianeta 1RXS1609 b



Distanza: 500 anni luce

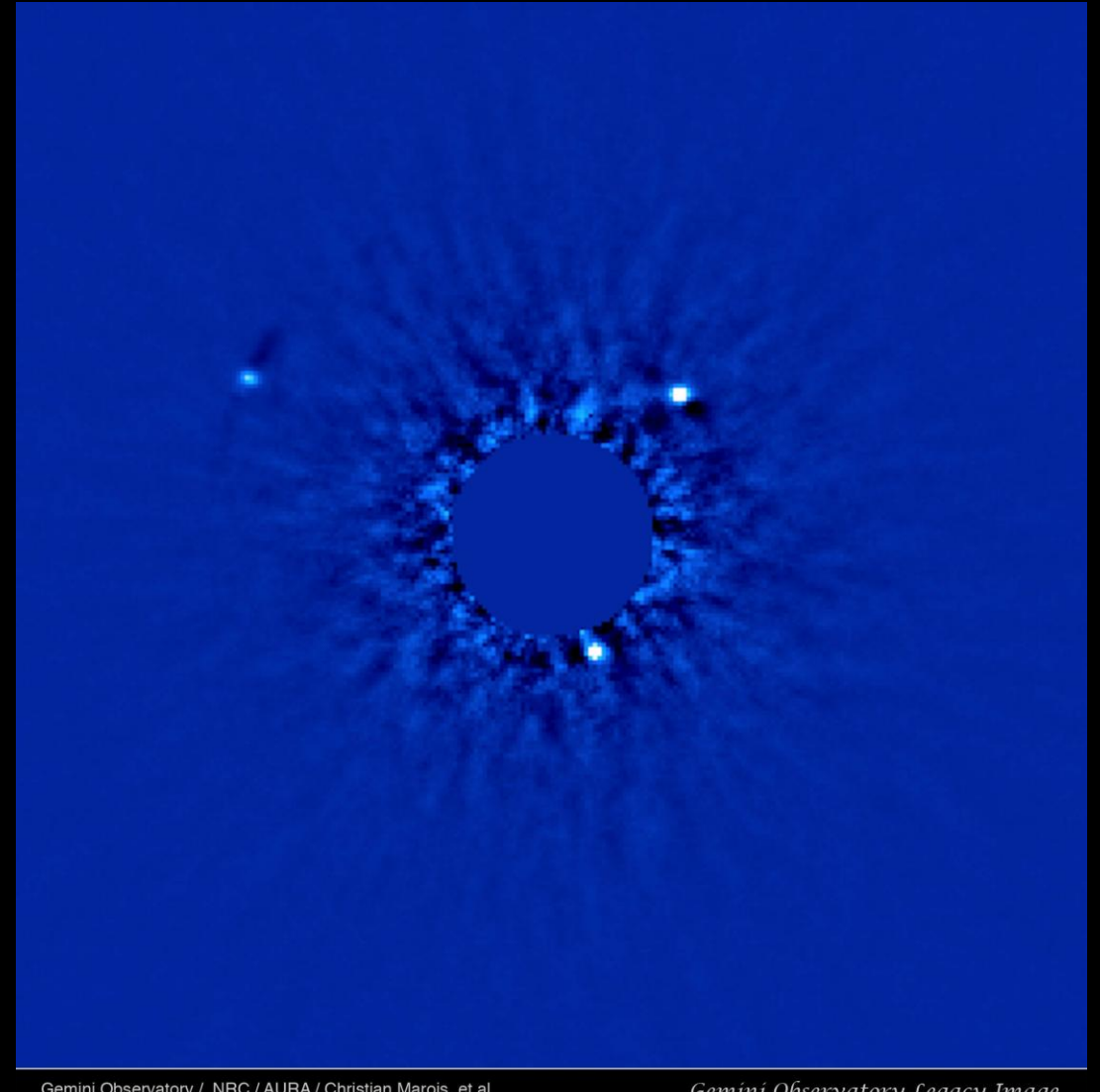
Massa: 14 M_{Giove}

Scoperta: settembre 2008

Raggio: 1.7 R_{Giove}

Conferma: luglio 2010

Raggio orbitale: 330 AU



Sistema planetario di HR 8799

Gemini Observatory / NRC / AURA / Christian Marois, et al.

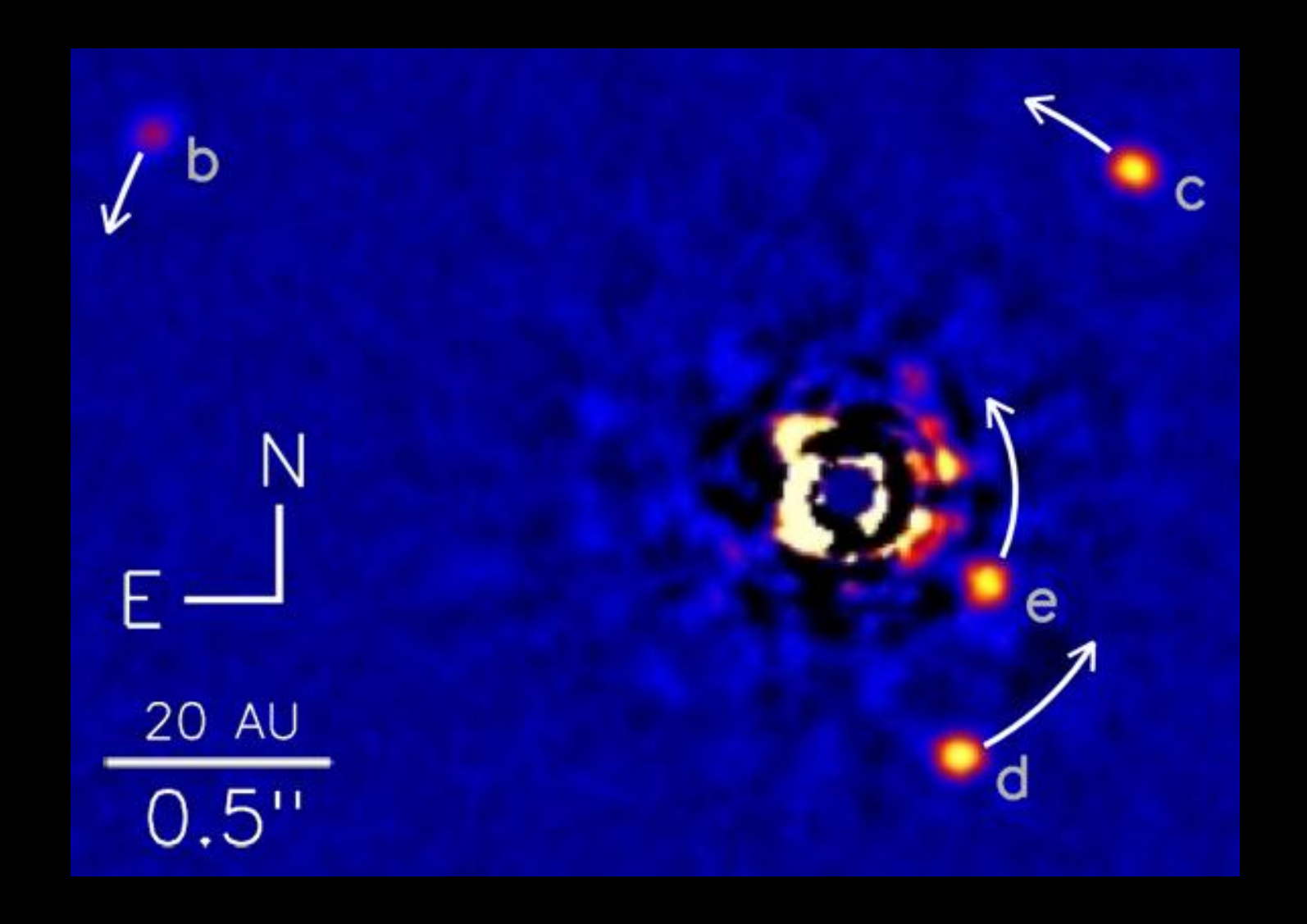
Gemini Observatory Legacy Image

Distanza: 130 anni luce Scoperta: novembre 2008 (telescopio Gemini, Hawaii)

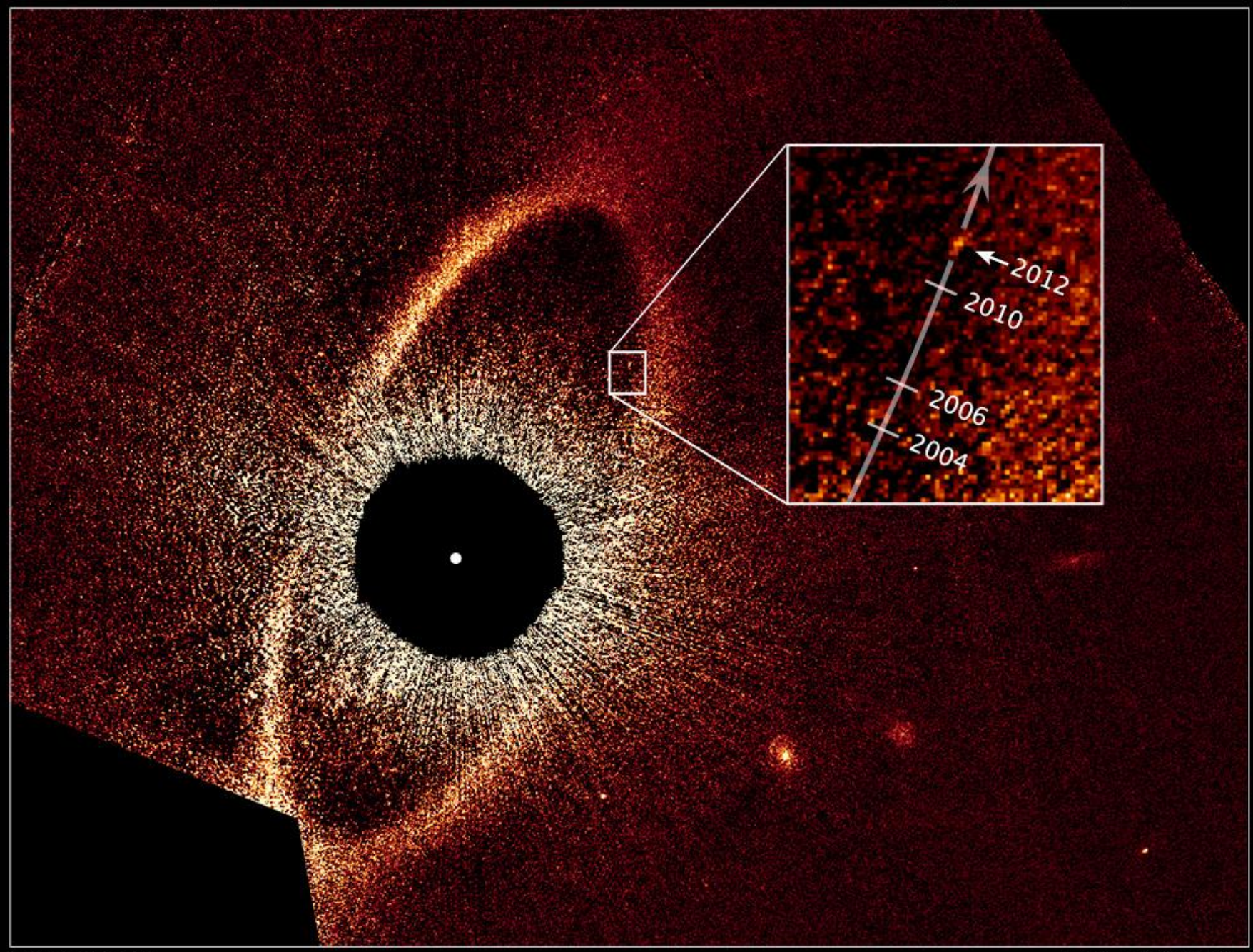
Sistema planetario di HR 8799

Pianeta	Massa (M _J)	Raggio (R _J)	Distanza (AU)
b	7	1.1	68
С	10	1.3	43
d	10	1.2	27
е	9		15

Sistema planetario di HR 8799 (quarto pianeta)



Distanza: 130 anni luce Scoperta: dicembre 2010 (telescopio Keck II, Hawaii)



Statistica dei sistemi trovati finora (gennaio 2013)

676 sistemi planetari

859 pianeti

128 sistemi multipli

Statistica dei sistemi trovati finora (ottobre 2015)

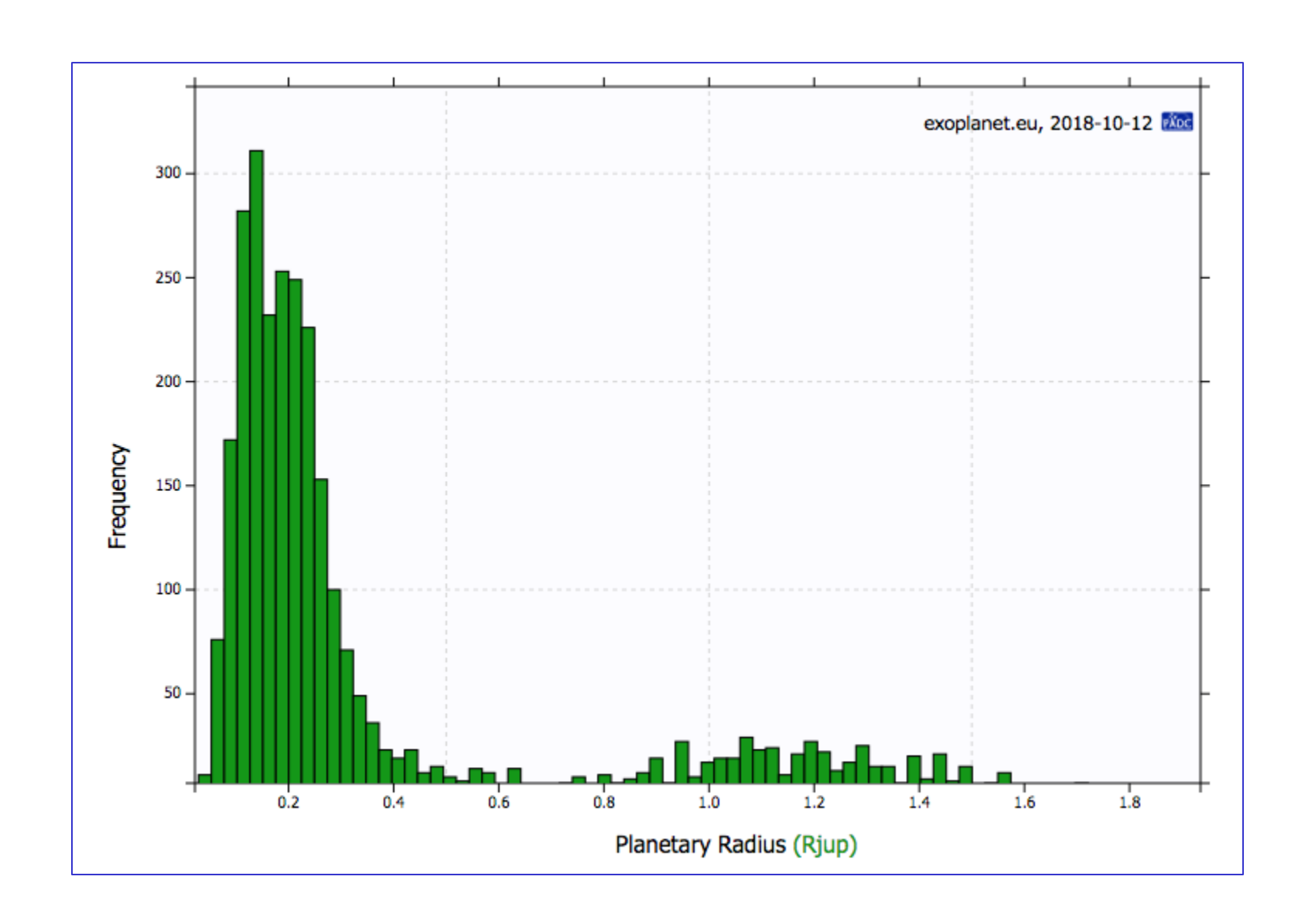
- 676 1250 sistemi planetari
- 859 1970 pianeti
- 128 490 sistemi multipli

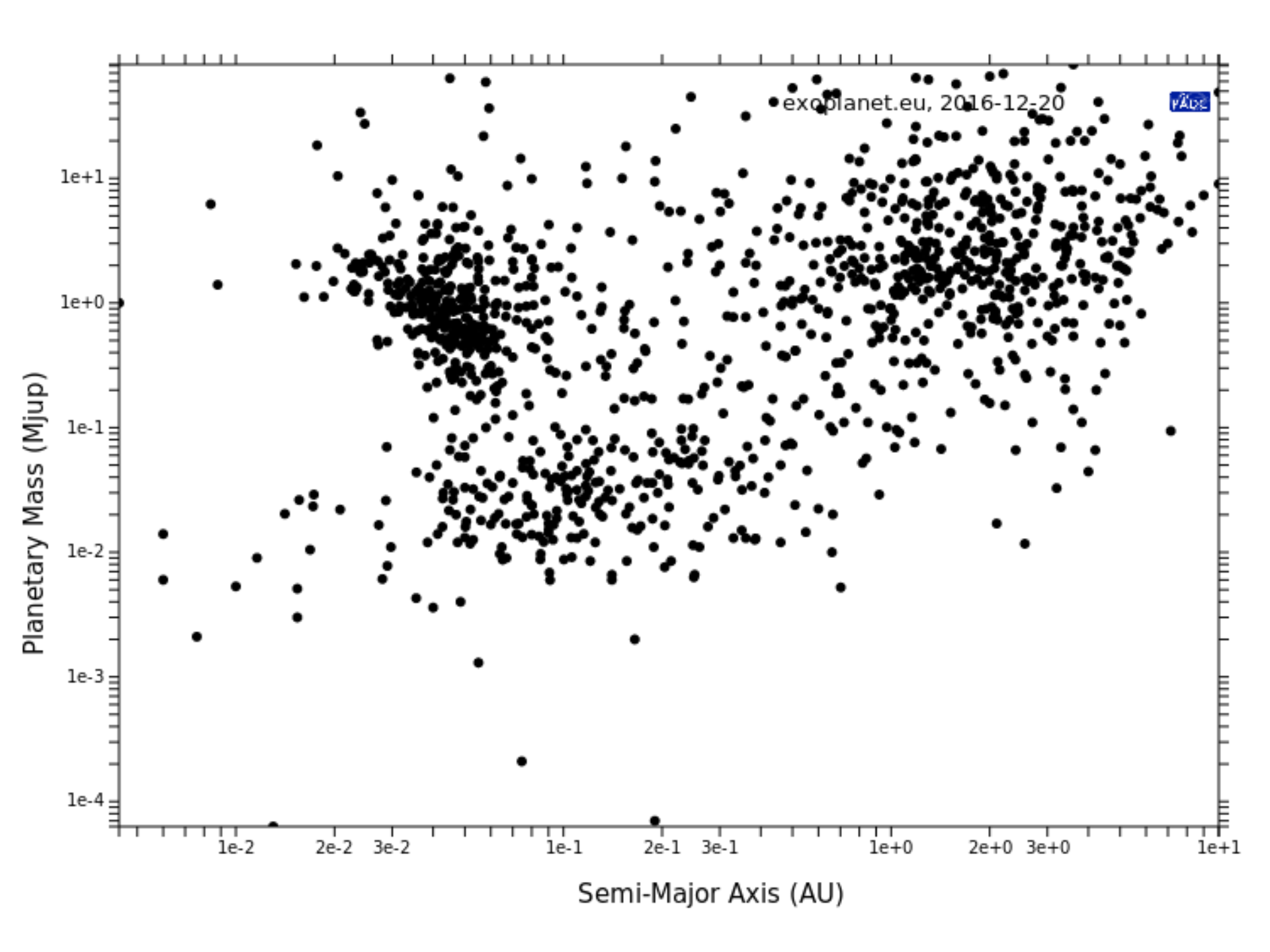
Statistica dei sistemi trovati finora (dicembre 2019)

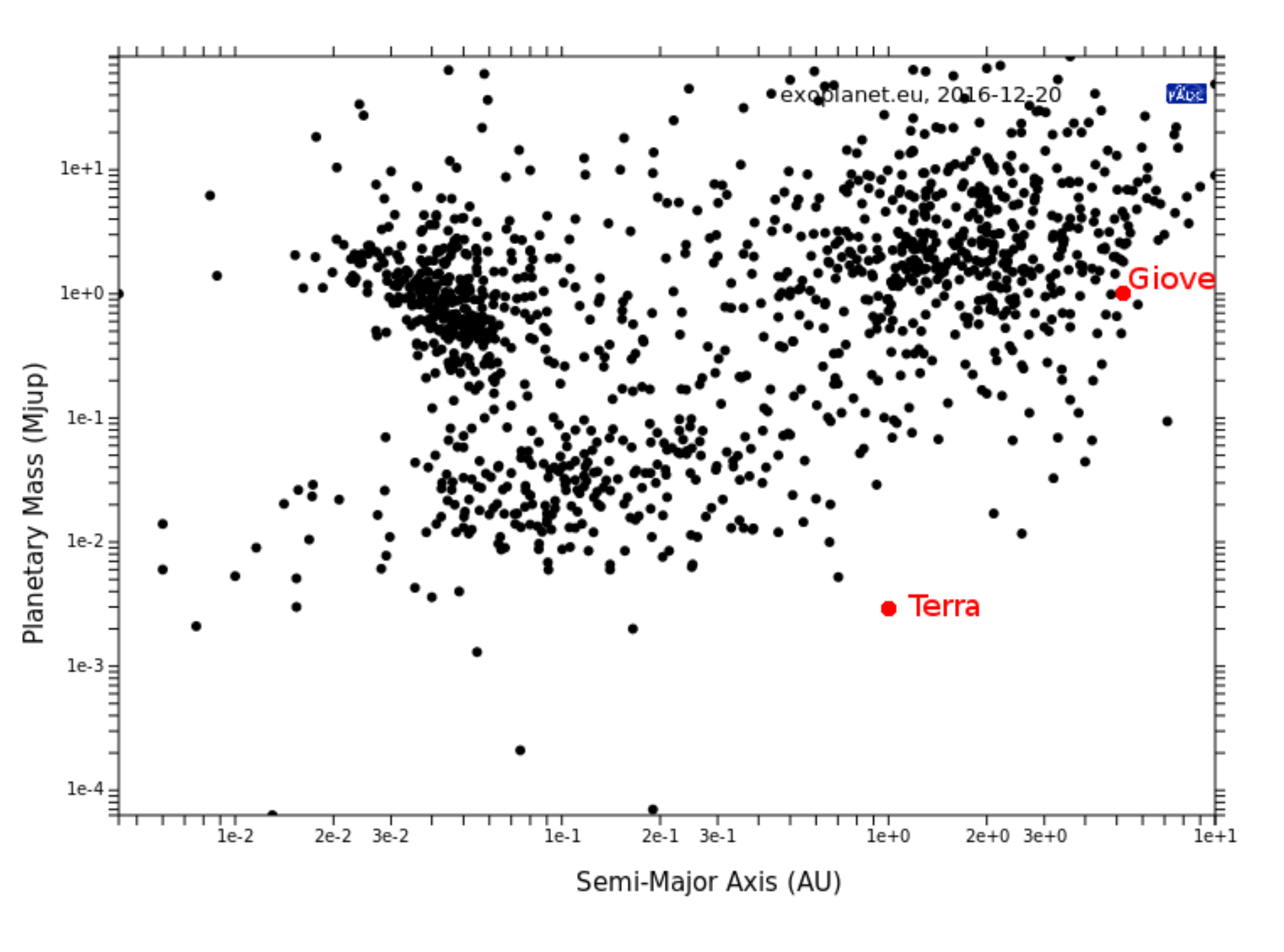
3073 sistemi planetari

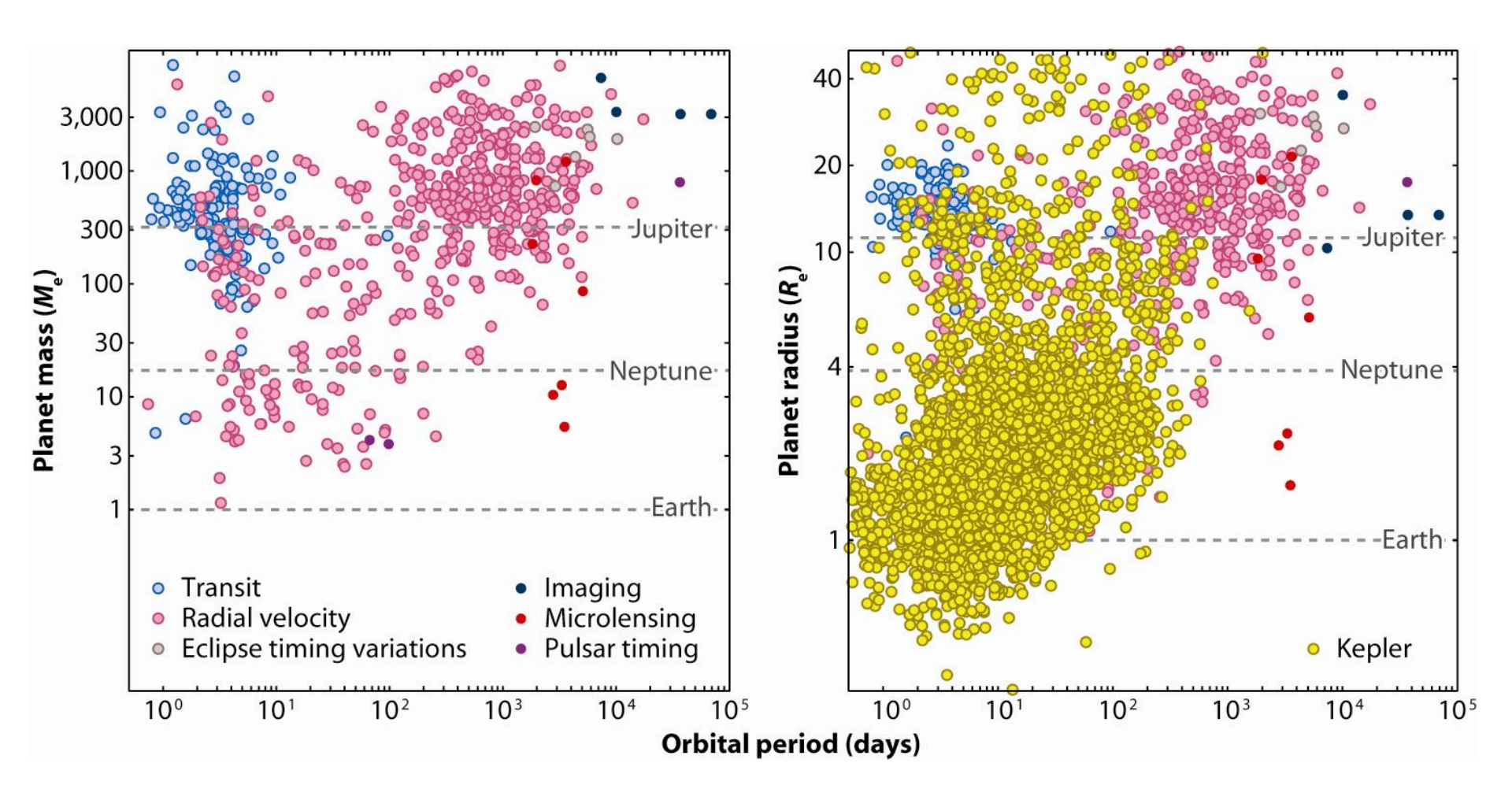
4133 pianeti

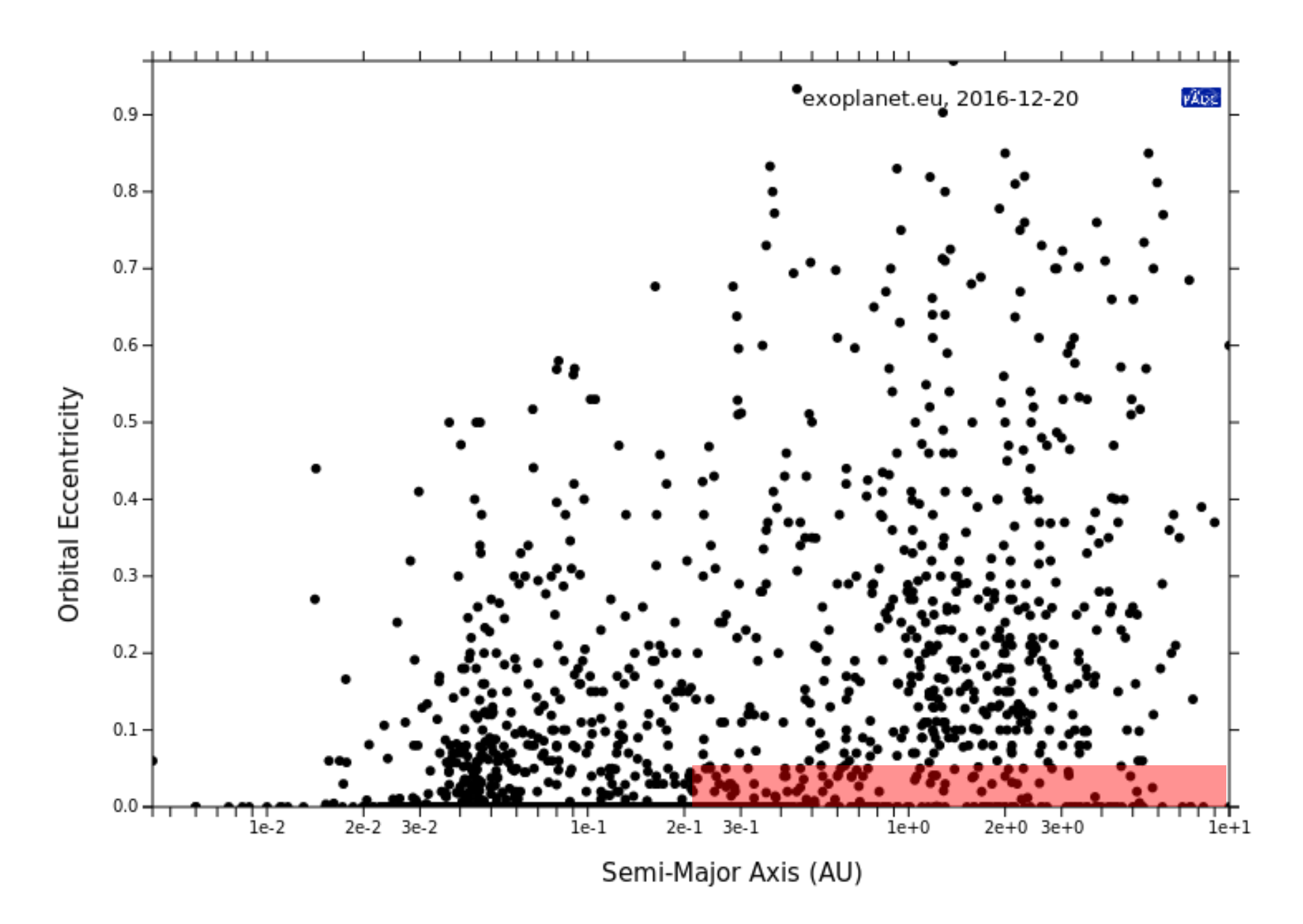
672 sistemi multipli





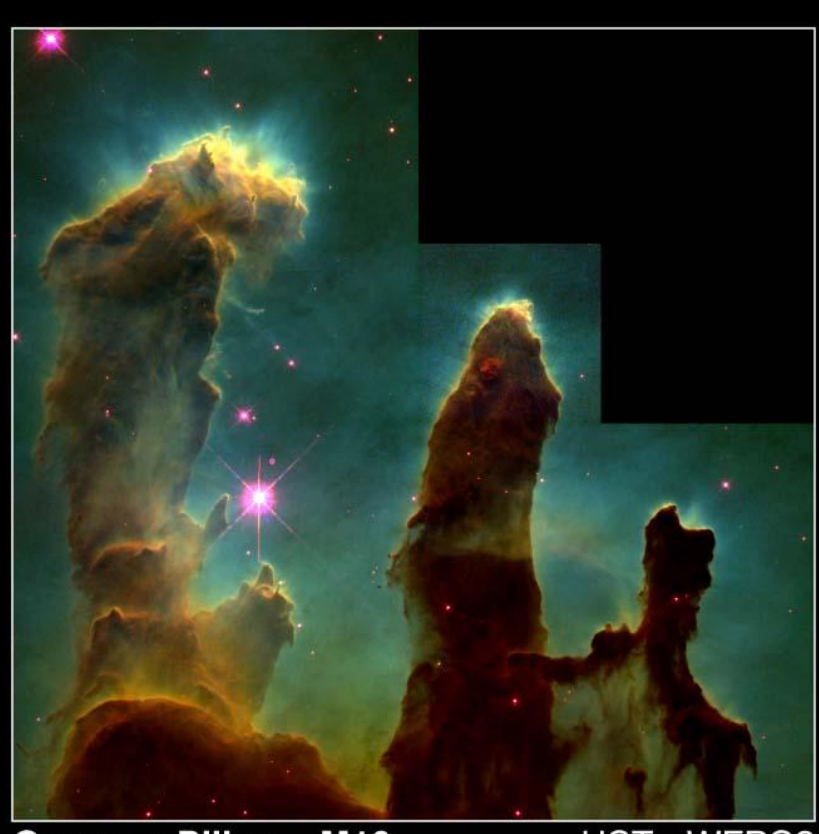








Nubi molecolari giganti

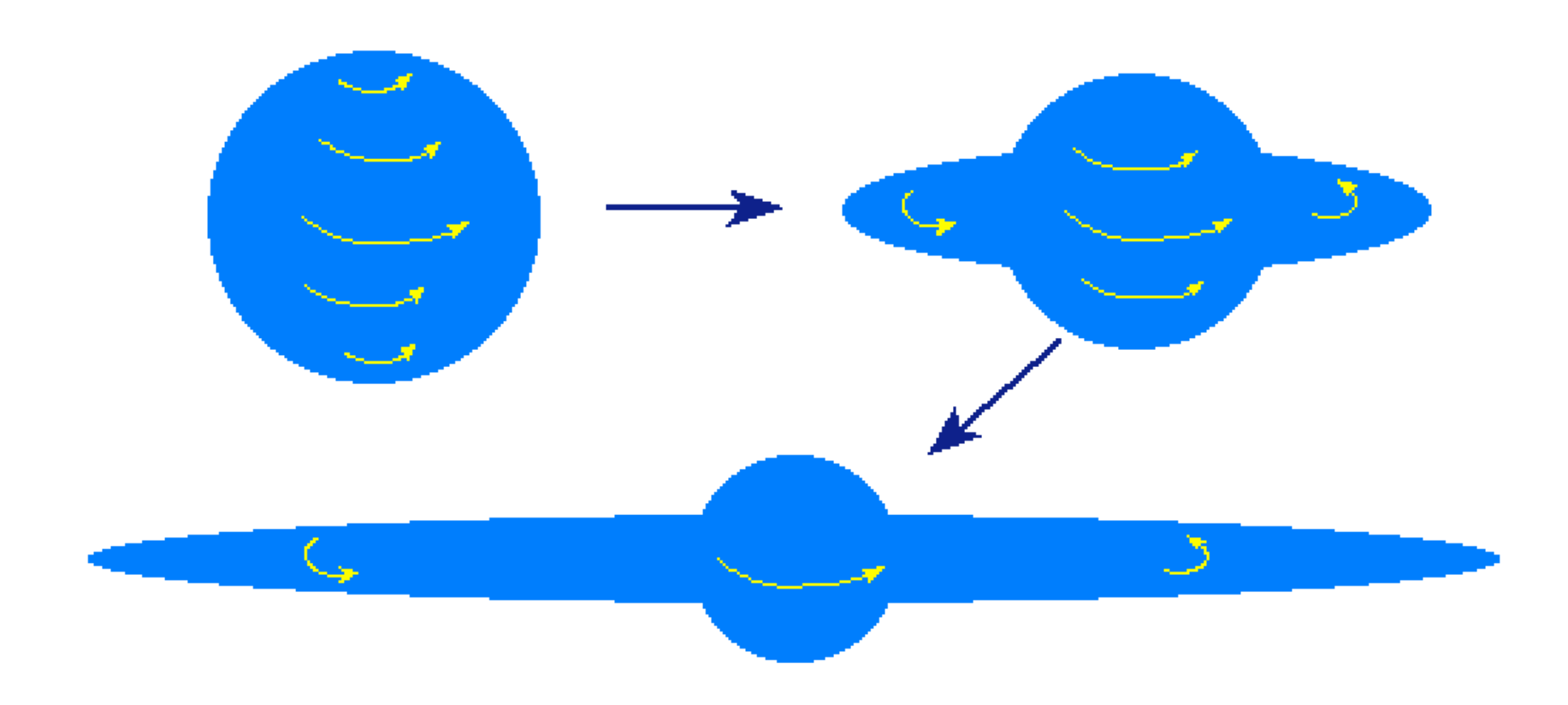


Gaseous Pillars • M16

PRC95-44a · ST Scl OPO · November 2, 1995

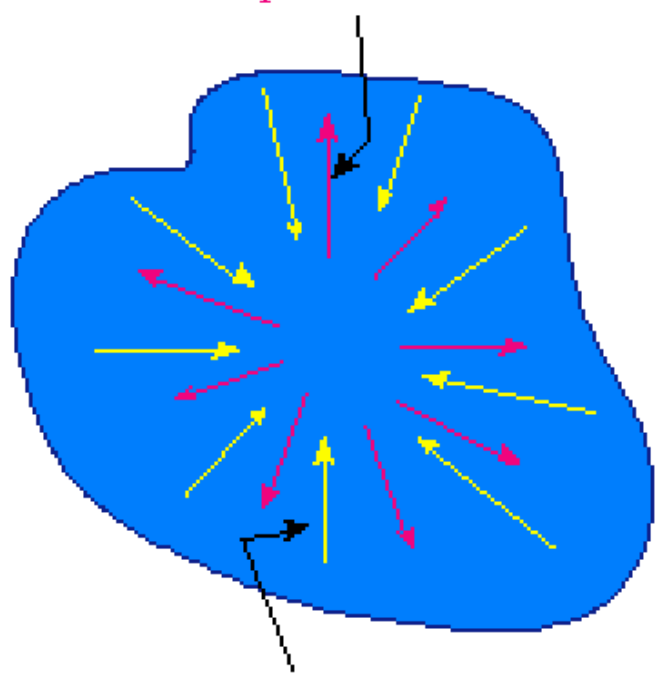
J. Hester and P. Scowen (AZ State Univ.), NASA



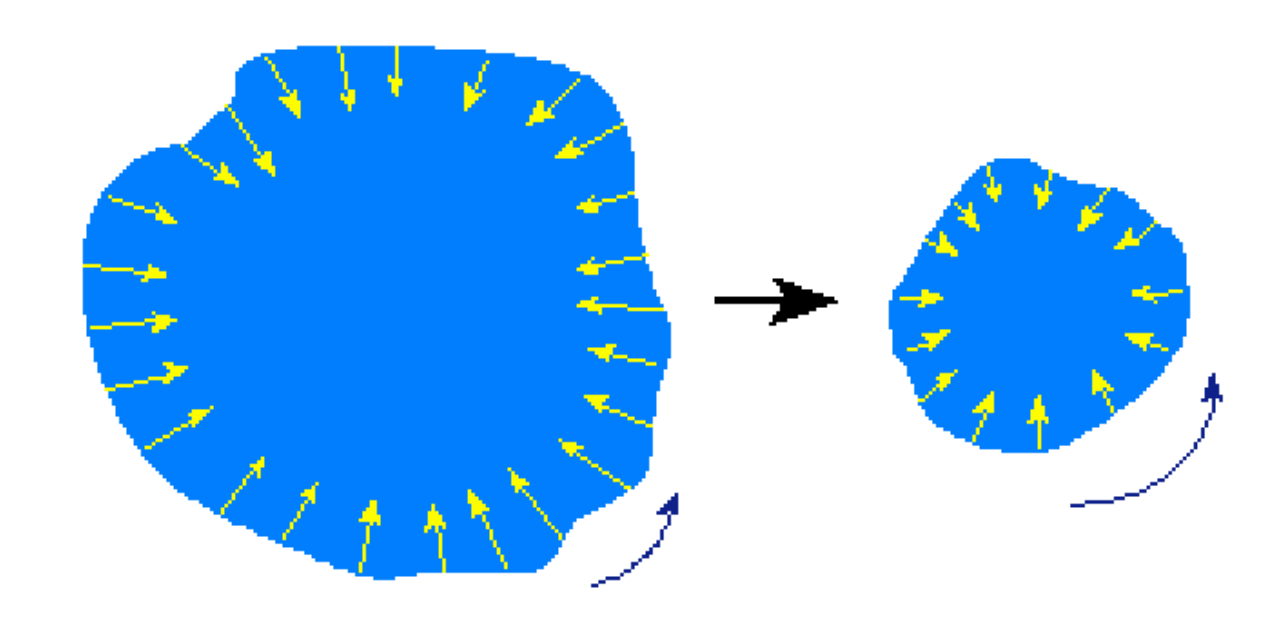


Formazione del disco (veduta laterale)

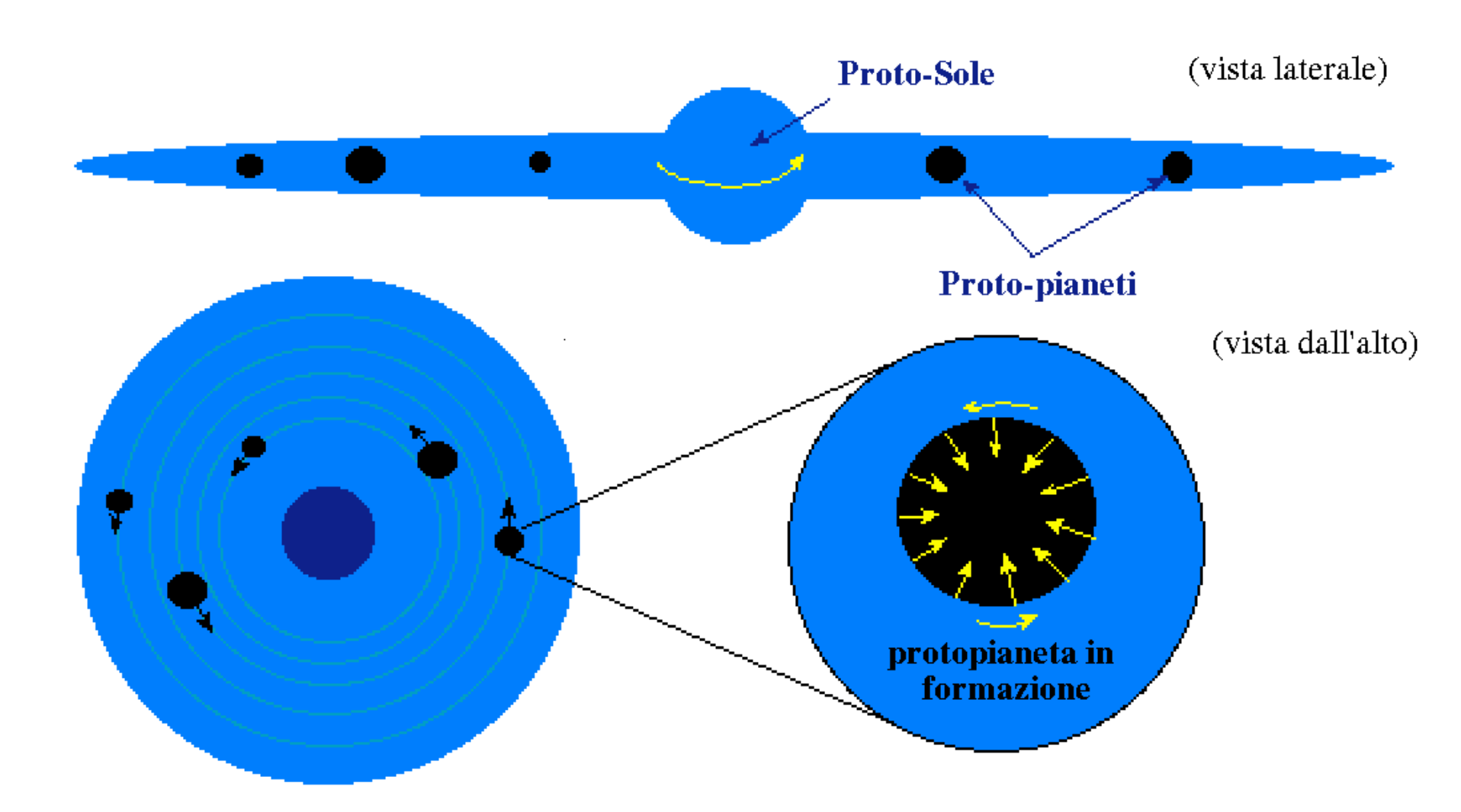
la pressione del gas tende a far espandere la nube

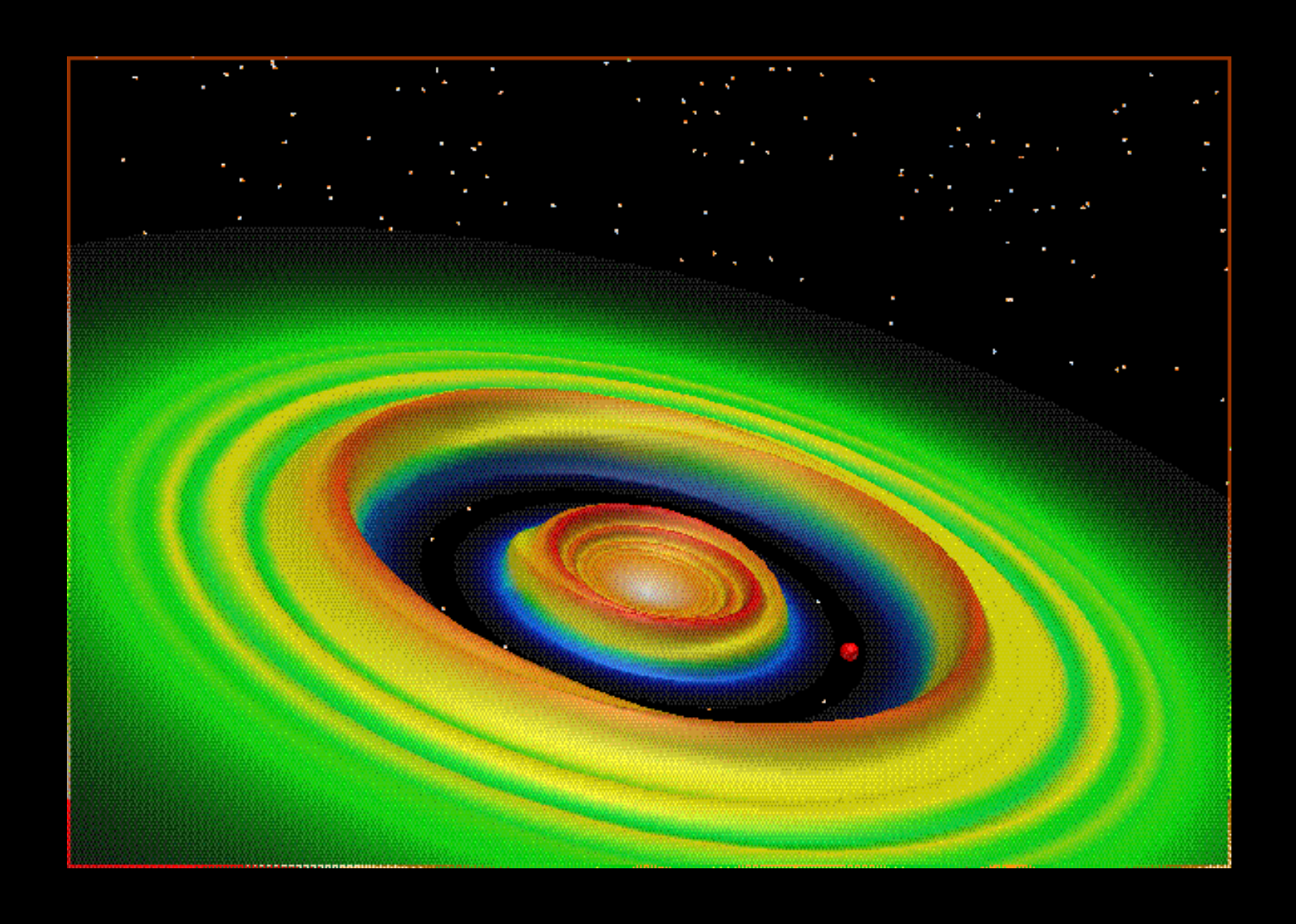


la forza di gravitazione tende a far contrarre la nube

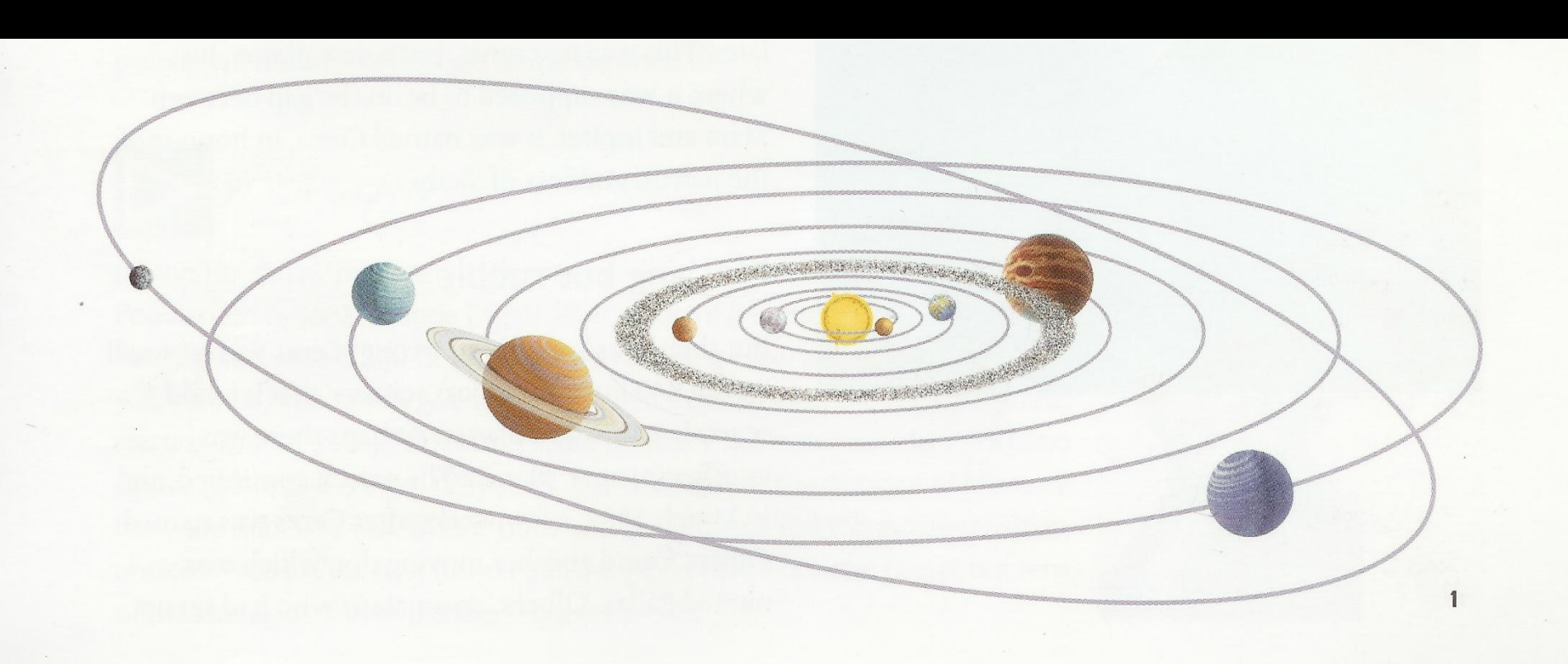


Collassando la nube accelera la sua velocità di rotazione per la conservazione del momento angolare





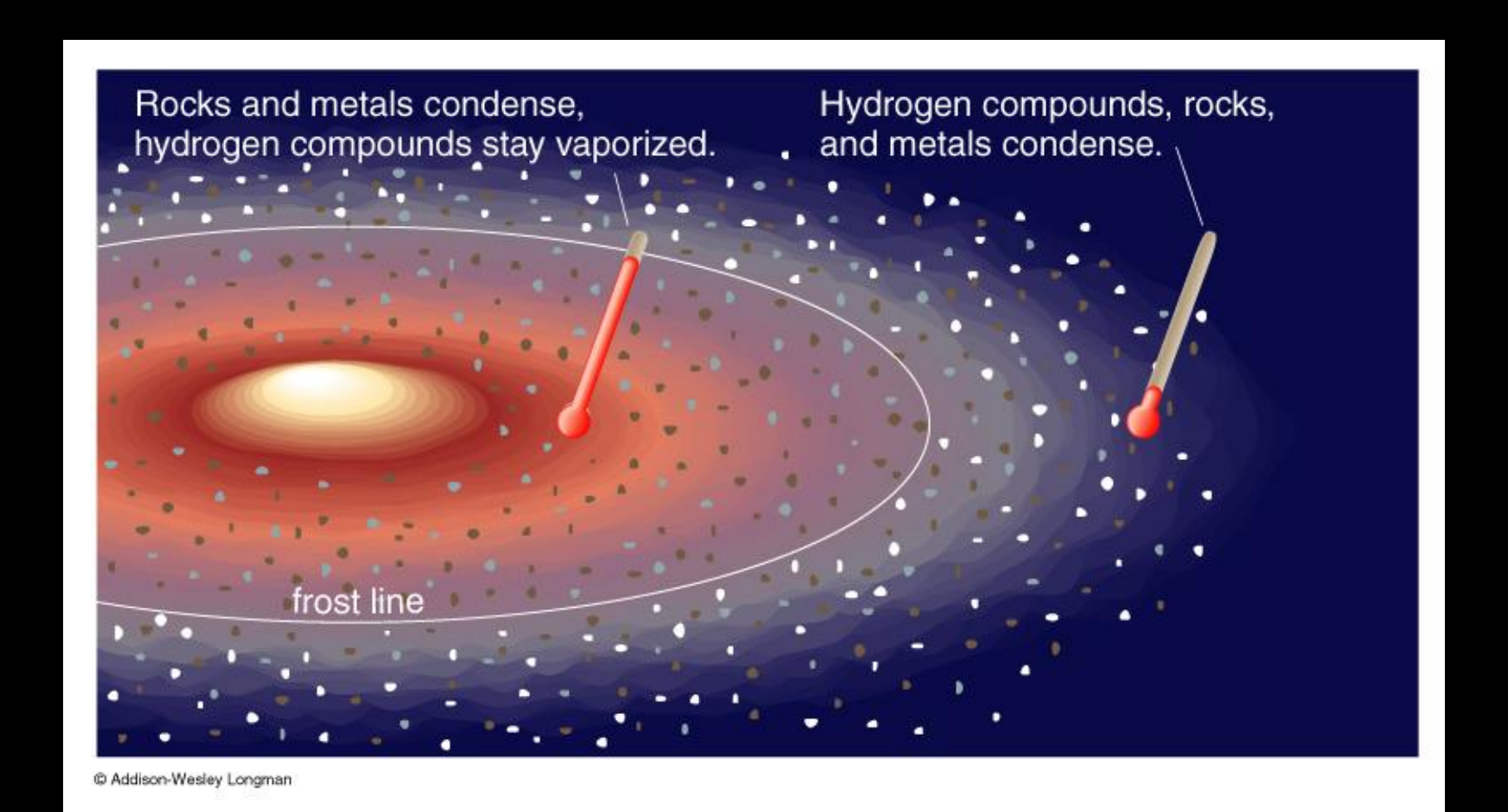
Struttura del Sistema Solare



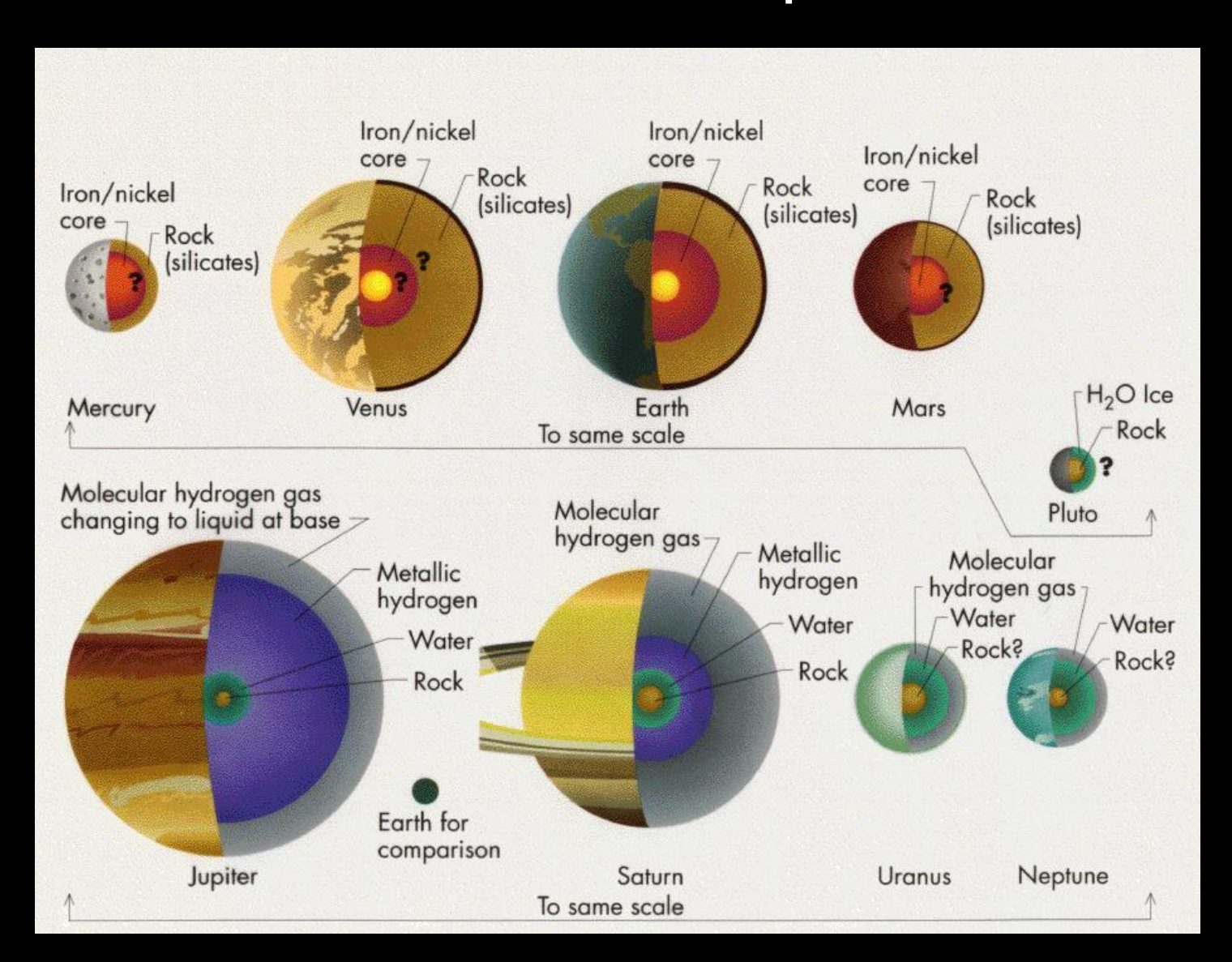
Struttura del Sistema Solare



Gradiente di temperatura



Differenze di composizione interna



pianeti "terrestri" (interni)

pianeti "giganti" (esterni)

Esistono pianeti abitati da forme di vita? Esistono pianeti abitabili? Cosa vuol dire "abitabile"?

Requisiti ragionevoli:

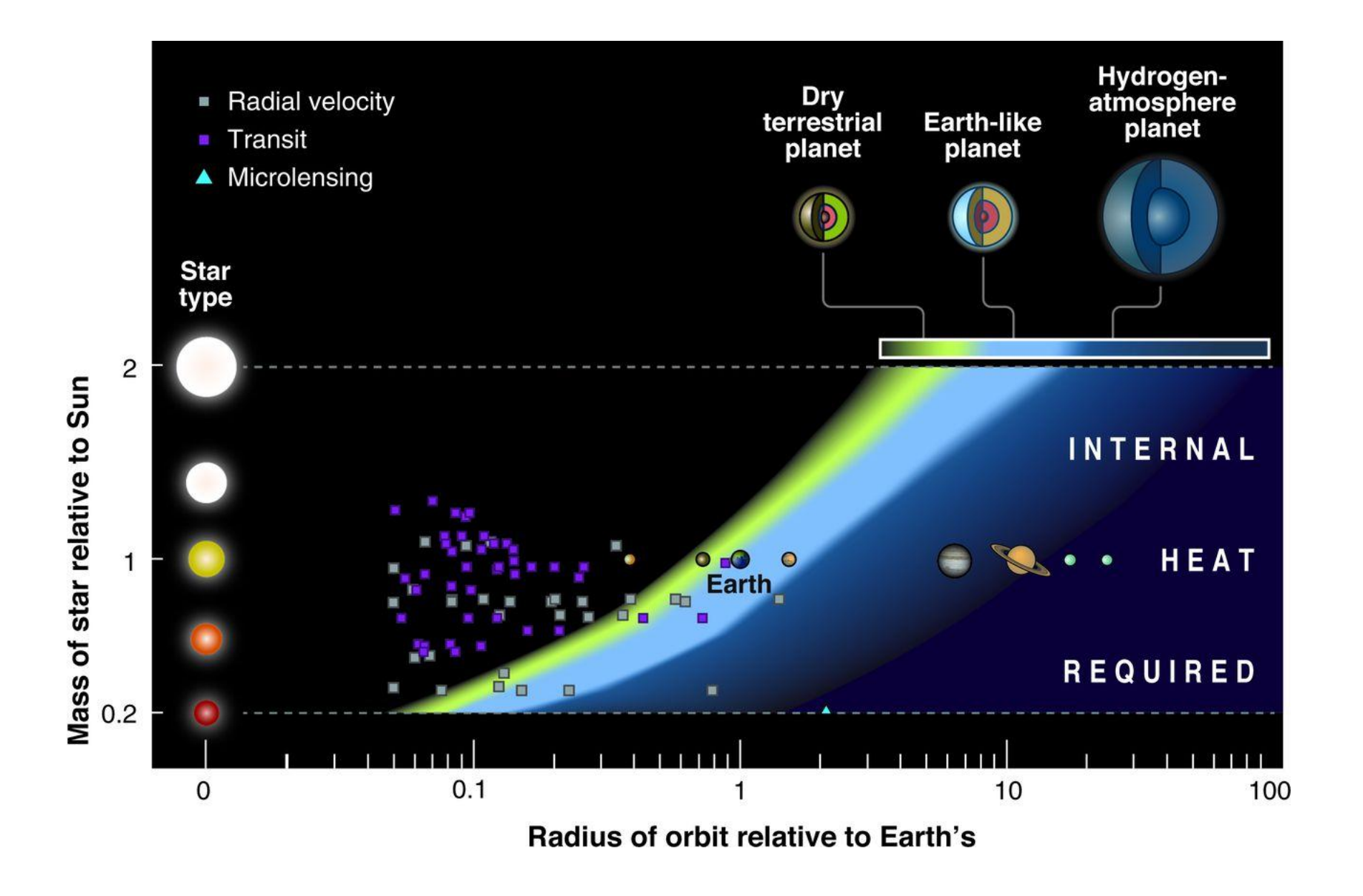
Atmosfera (massa, temperatura, composizione chimica)

Acqua liquida (temperatura)

Campo magnetico (massa, composizione chimica, età)

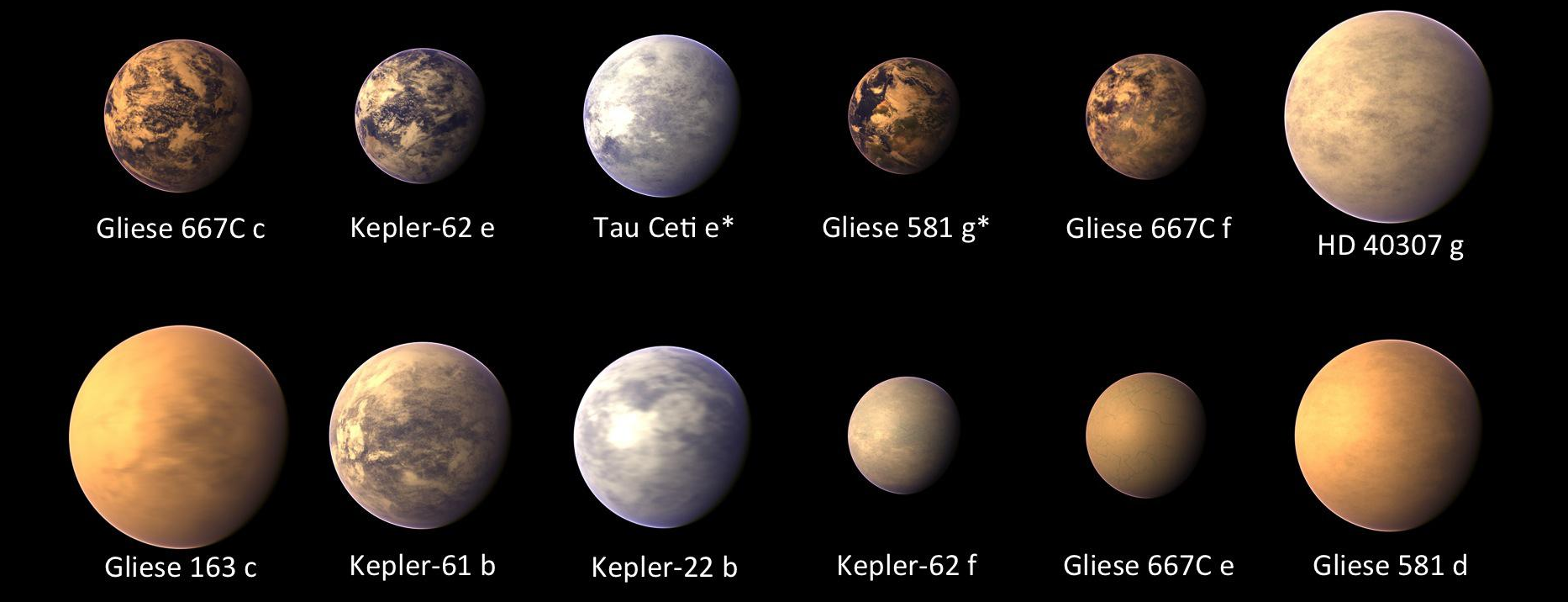
Composizione chimica

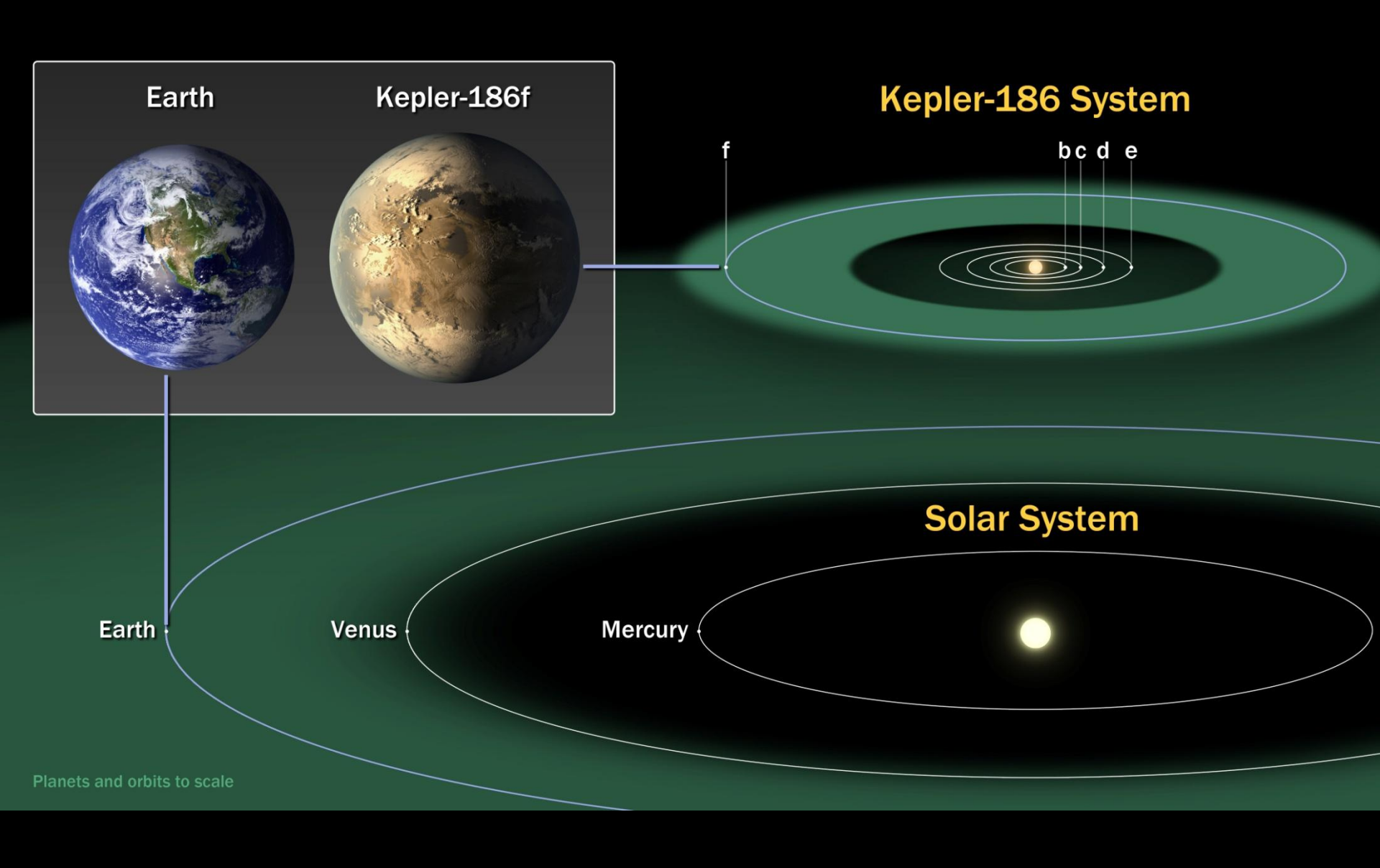
Zona di abitabilità



Potentially Habitable Exoplanets







a = 0.356 AU; P = 130 d; $R = 1.1 \text{ R}_T$

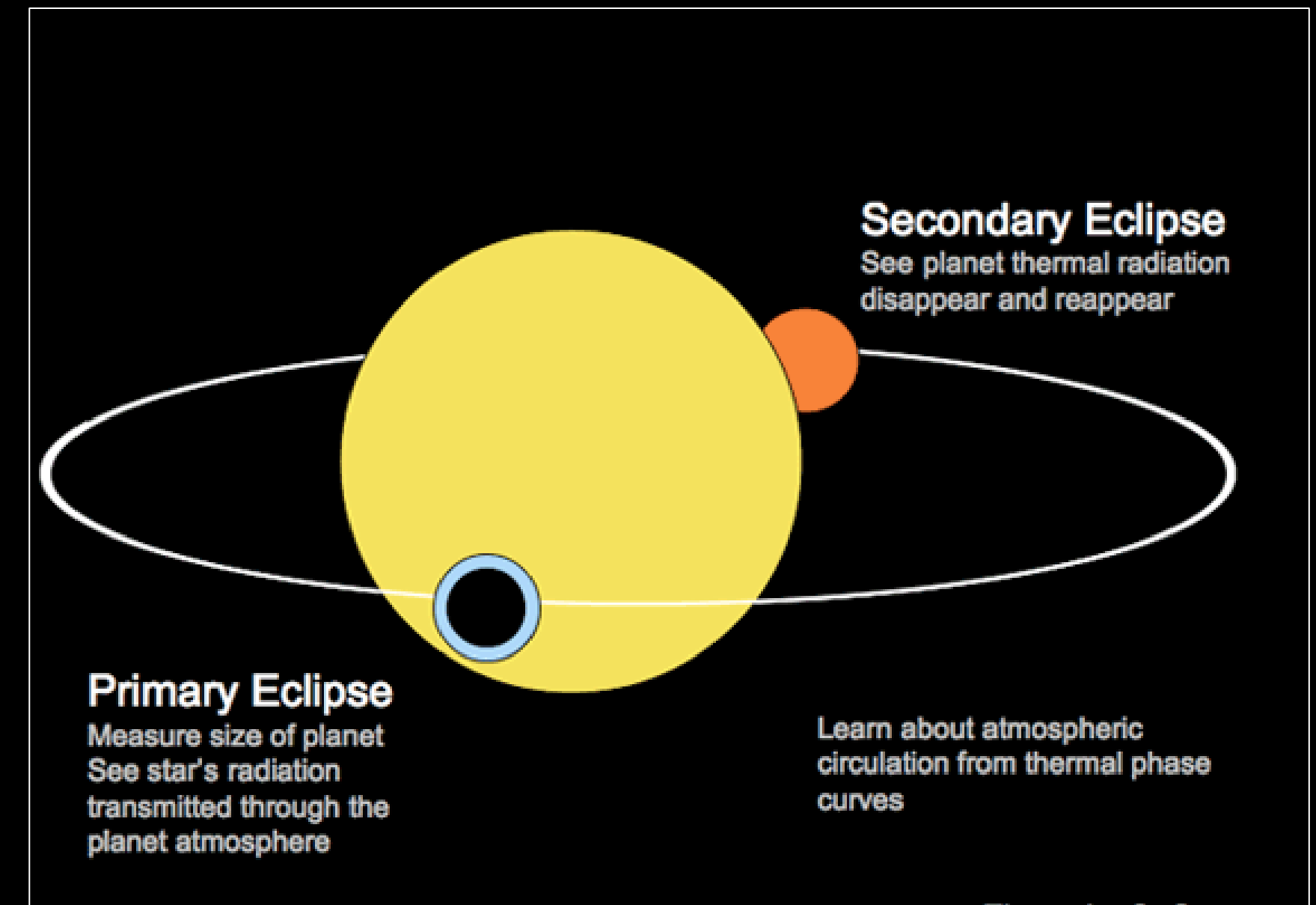
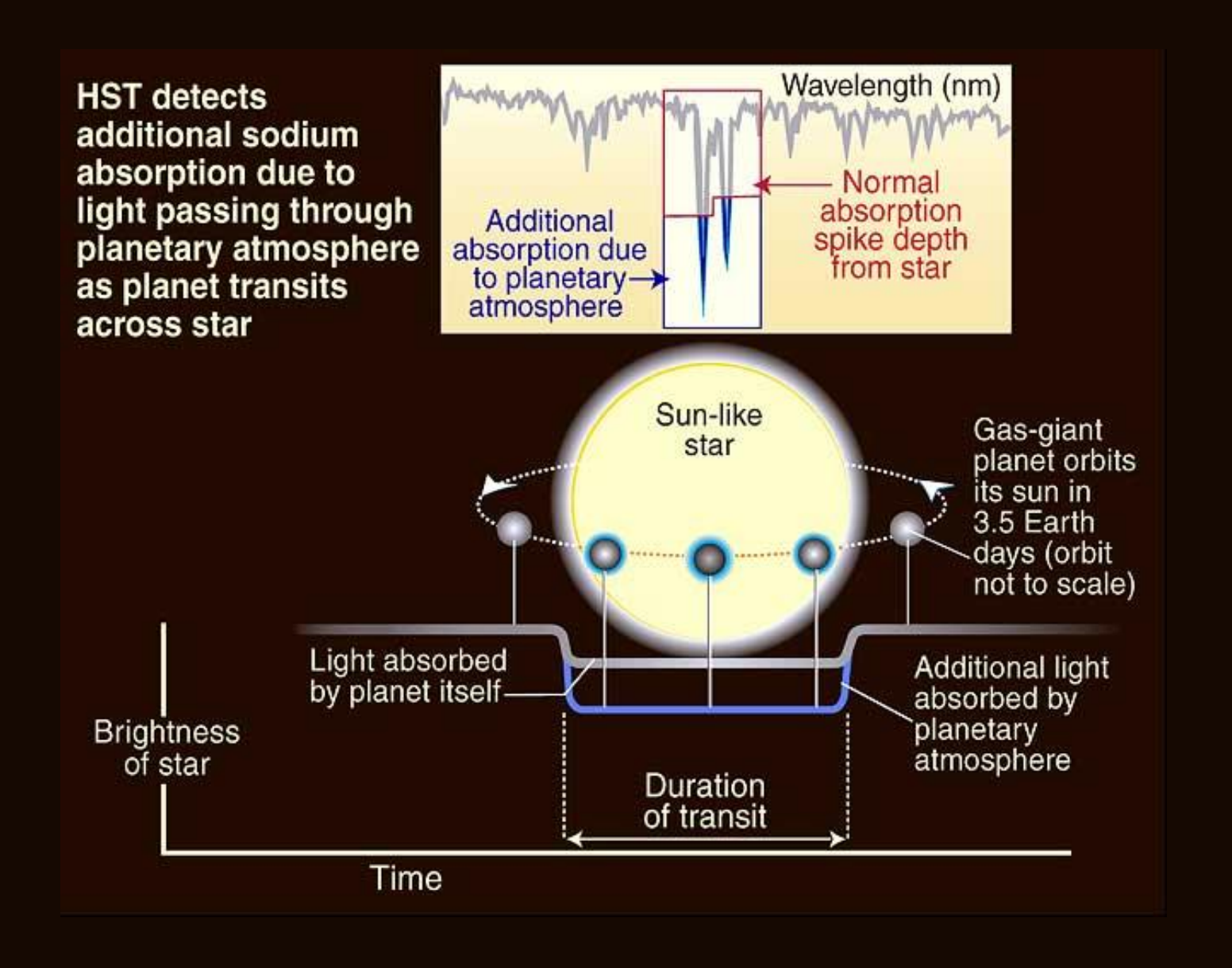
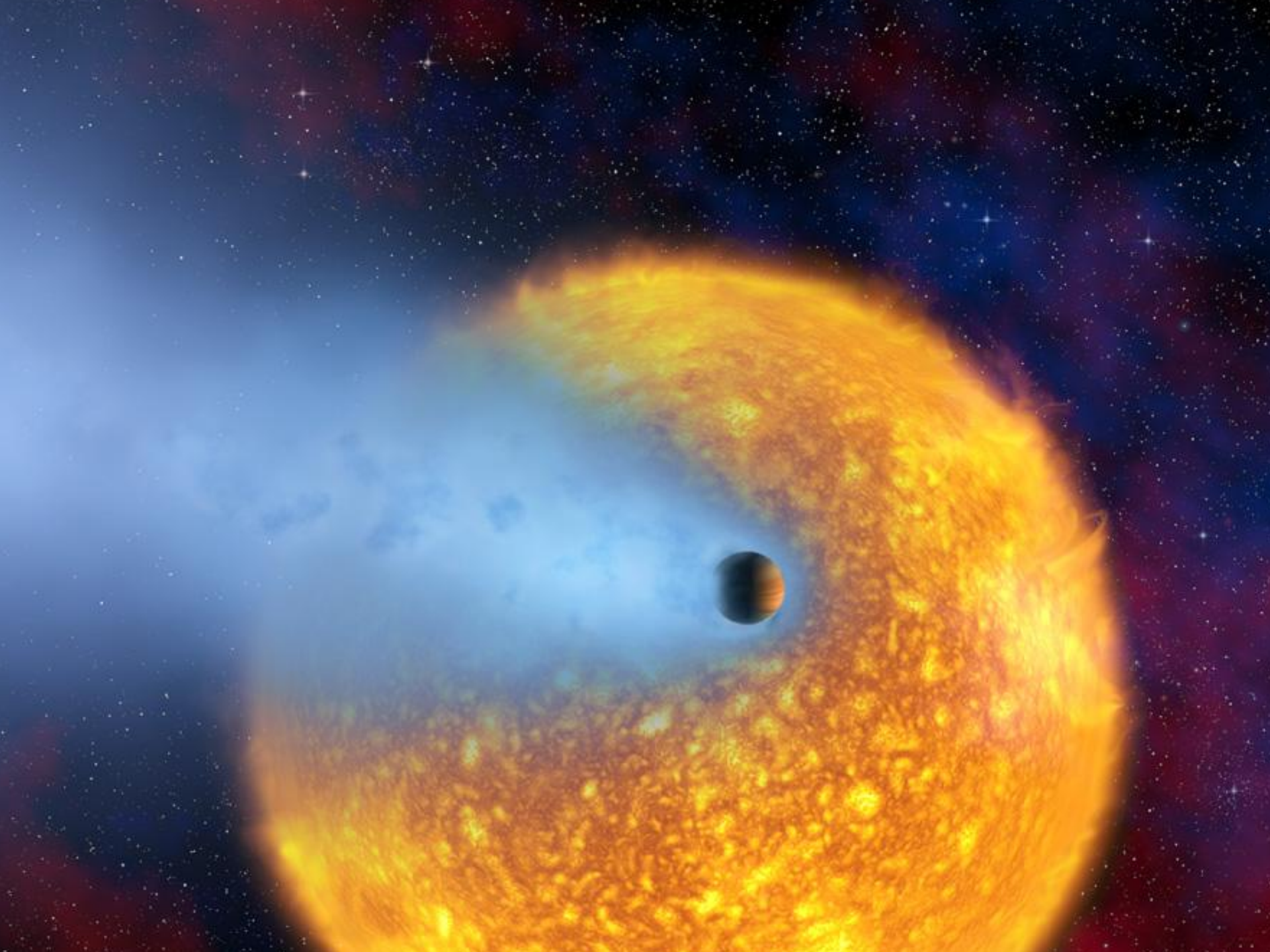
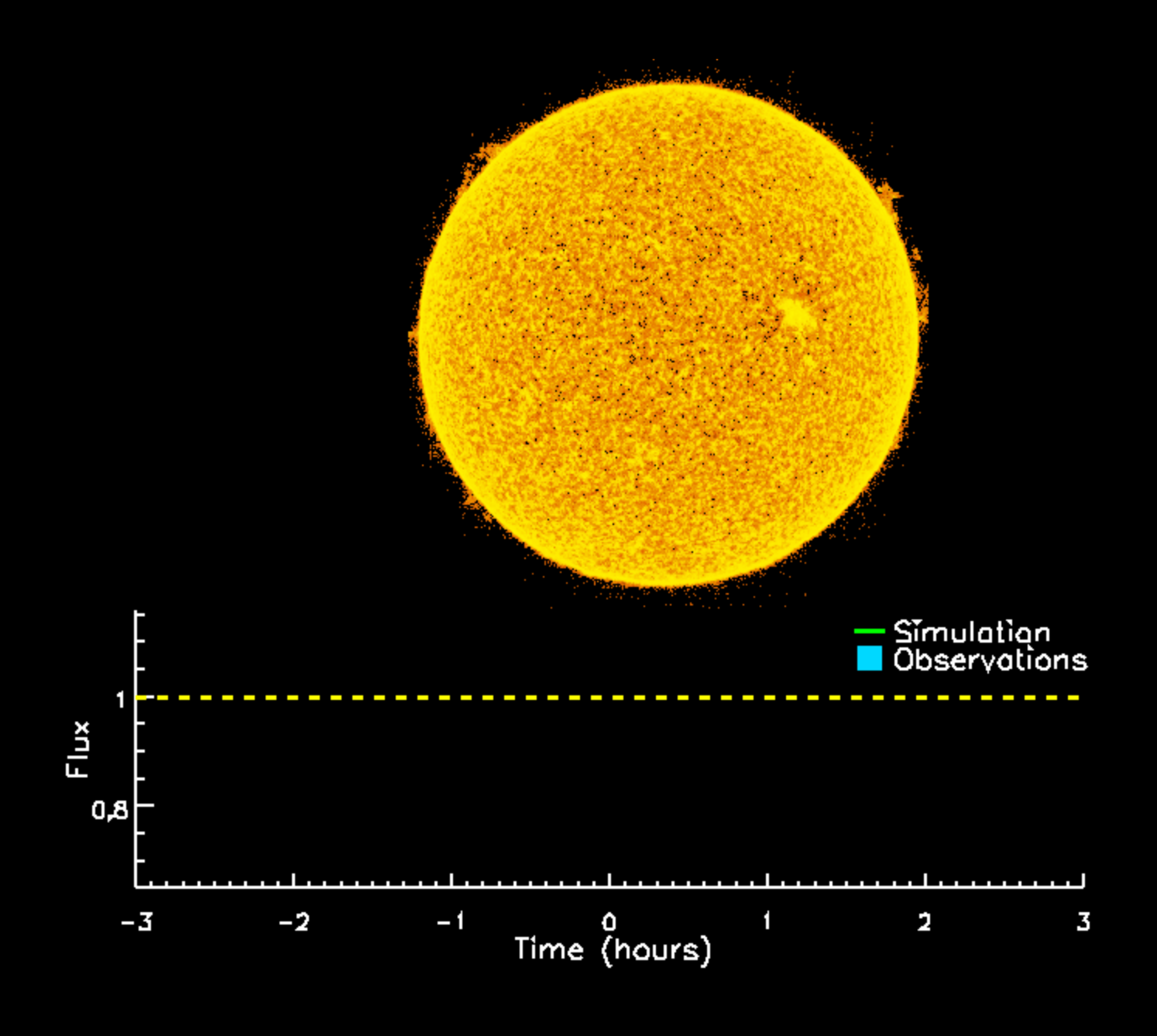


Figure by S. Seager

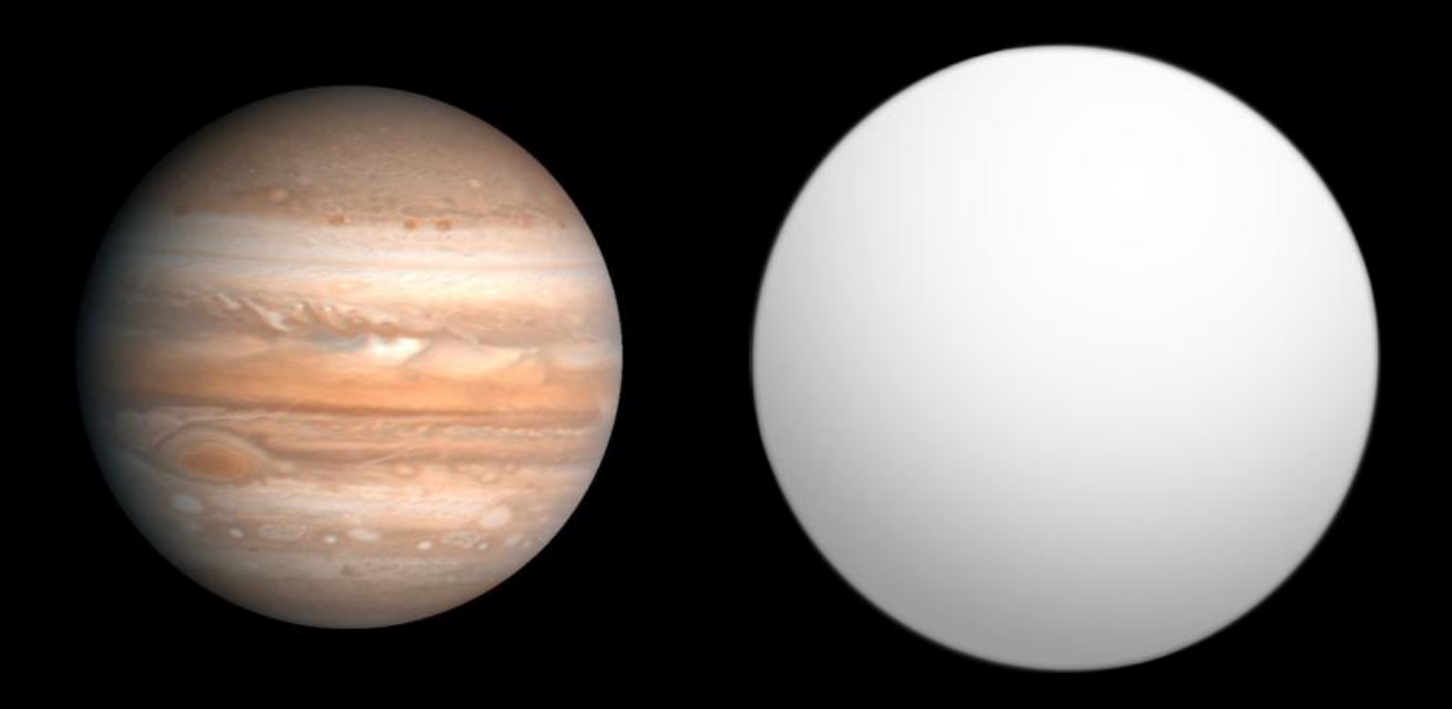
Sistema HD209458





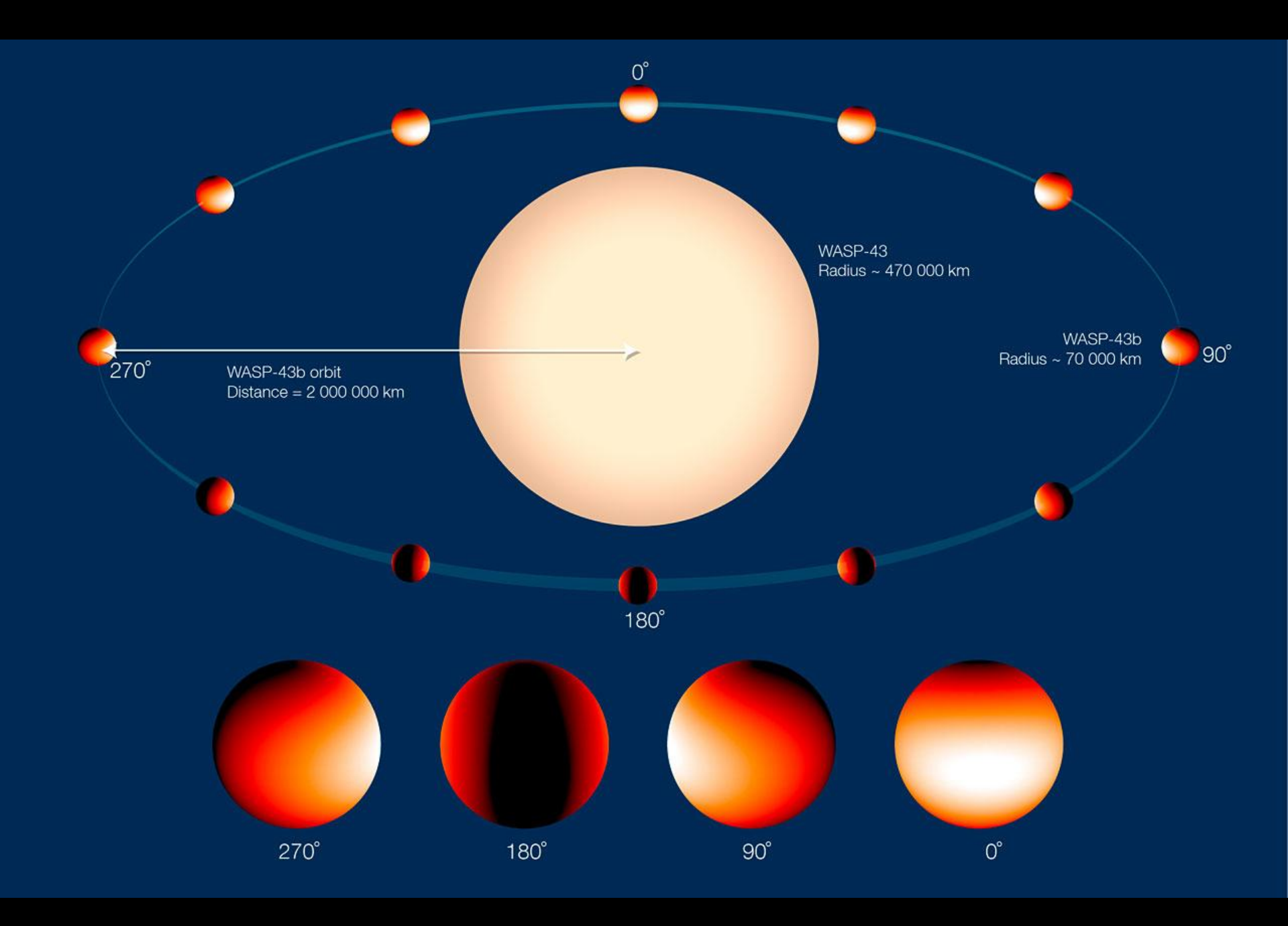


Sistema HD189733 (scoperta: 2005)

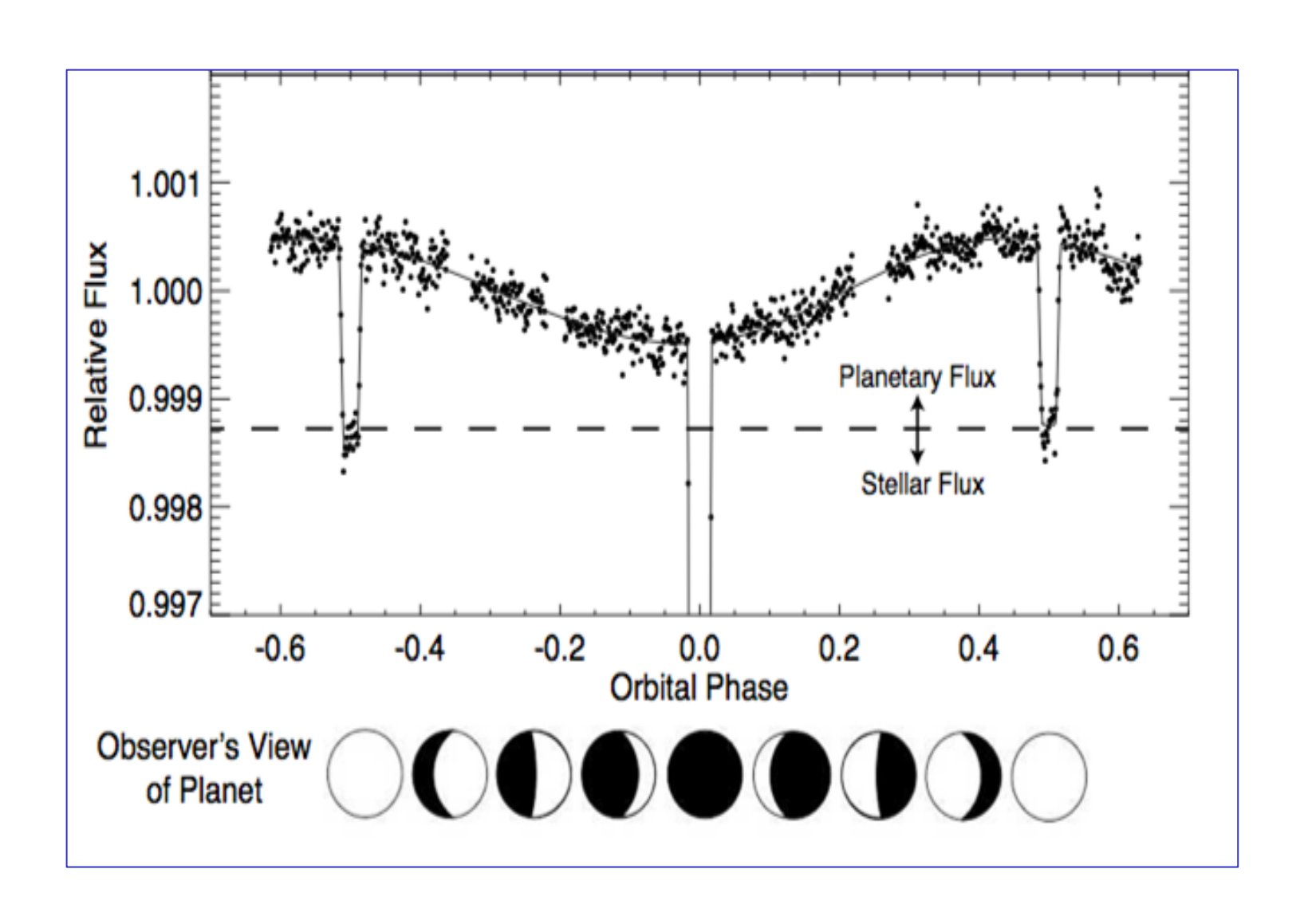


Massa = $1.13 M_J$ Raggio = $1.14 R_J$ a = 0.03 AUP = 2.2 d

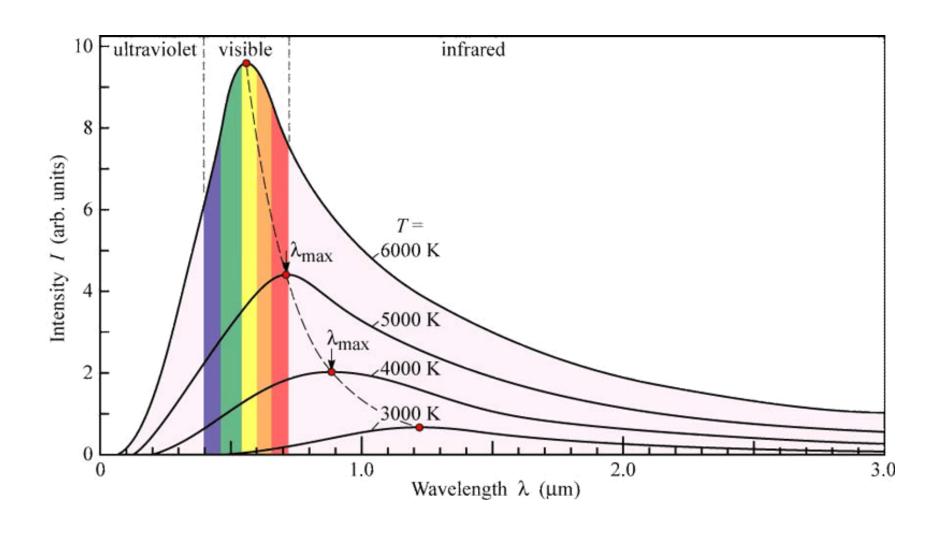
Composti rilevati: idrogeno, ossigeno, vapor d'acqua, metano, monossido di carbonio



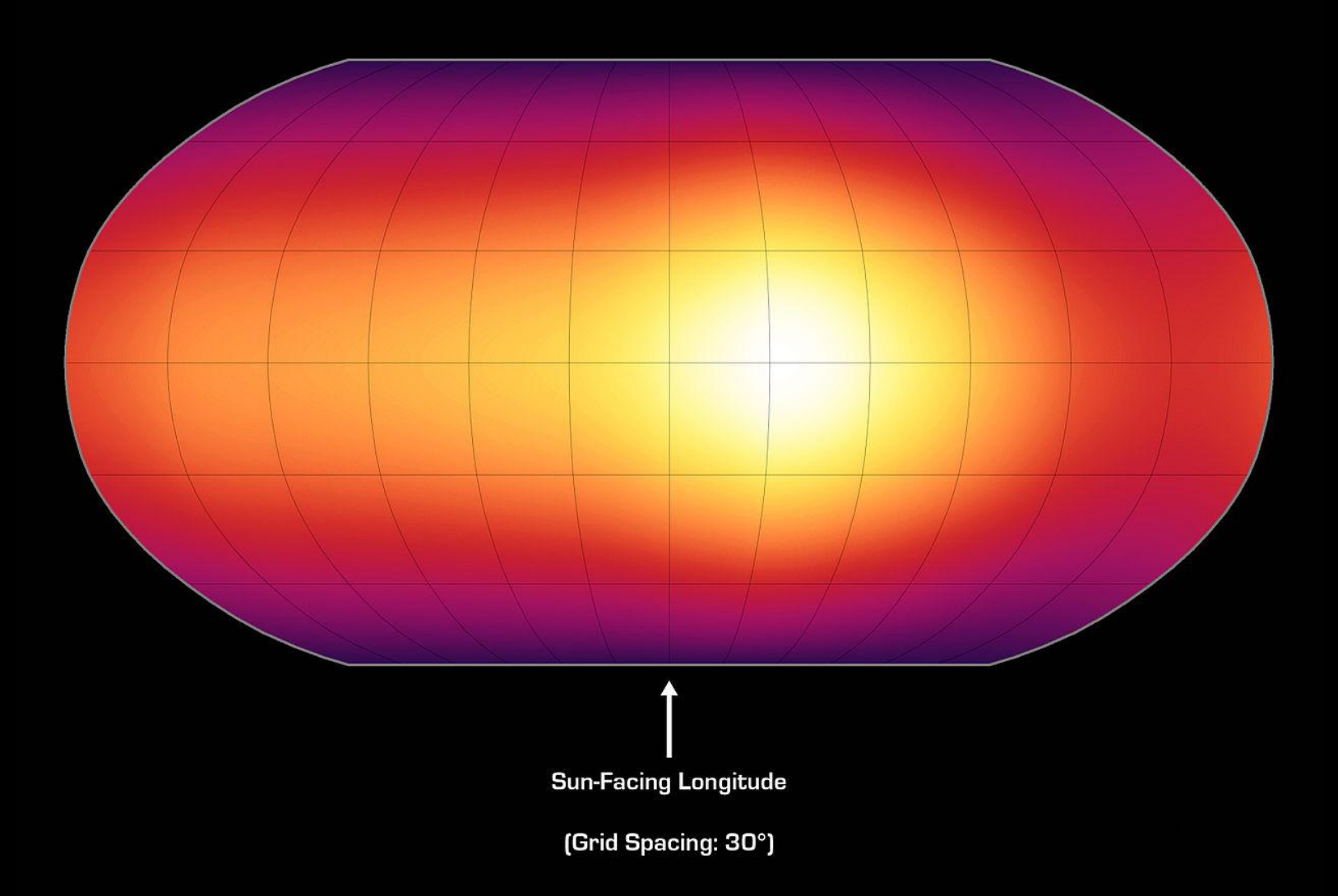
Fotometria infrarossa



Radiazione termica (di corpo nero)

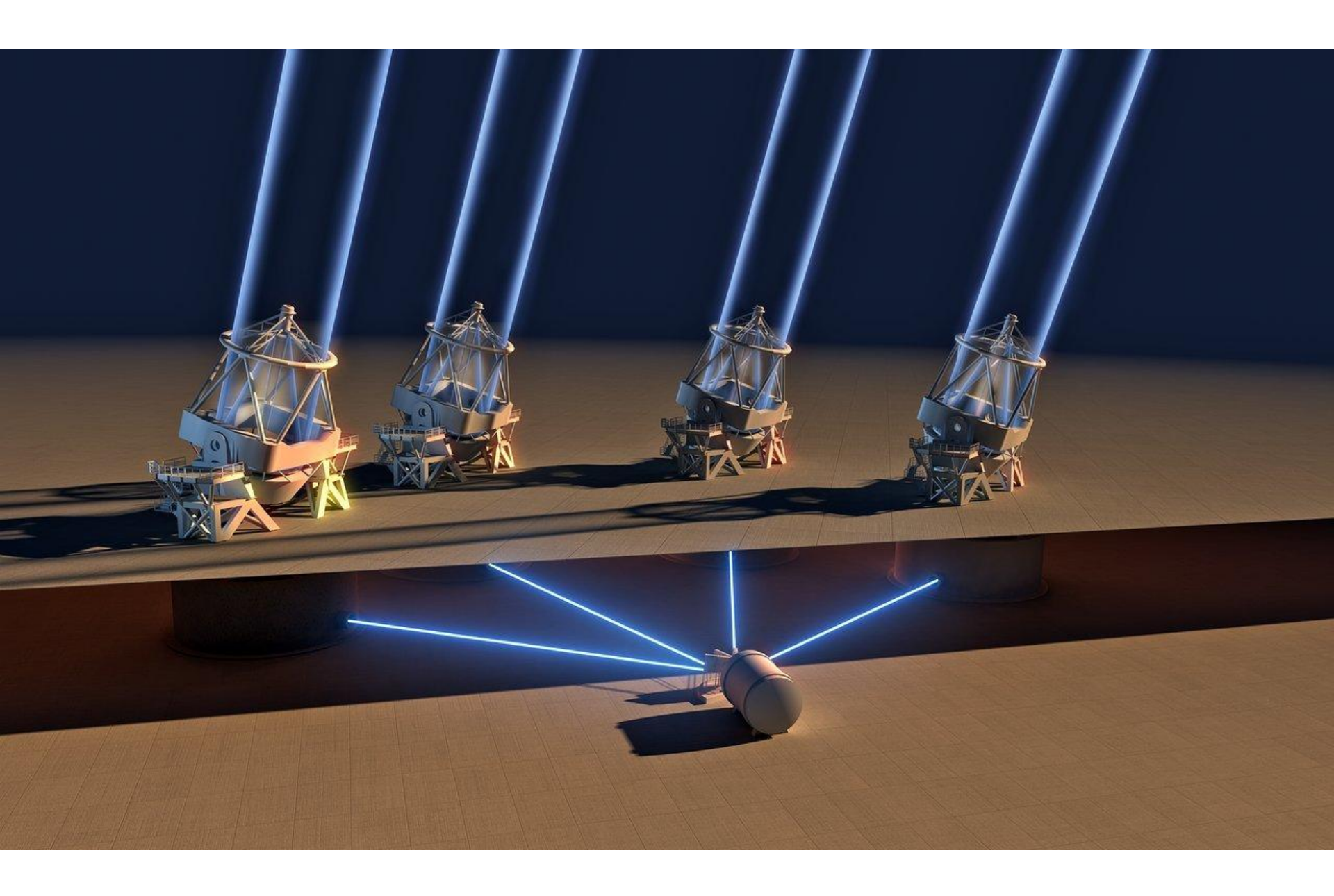


Sistema HD189733

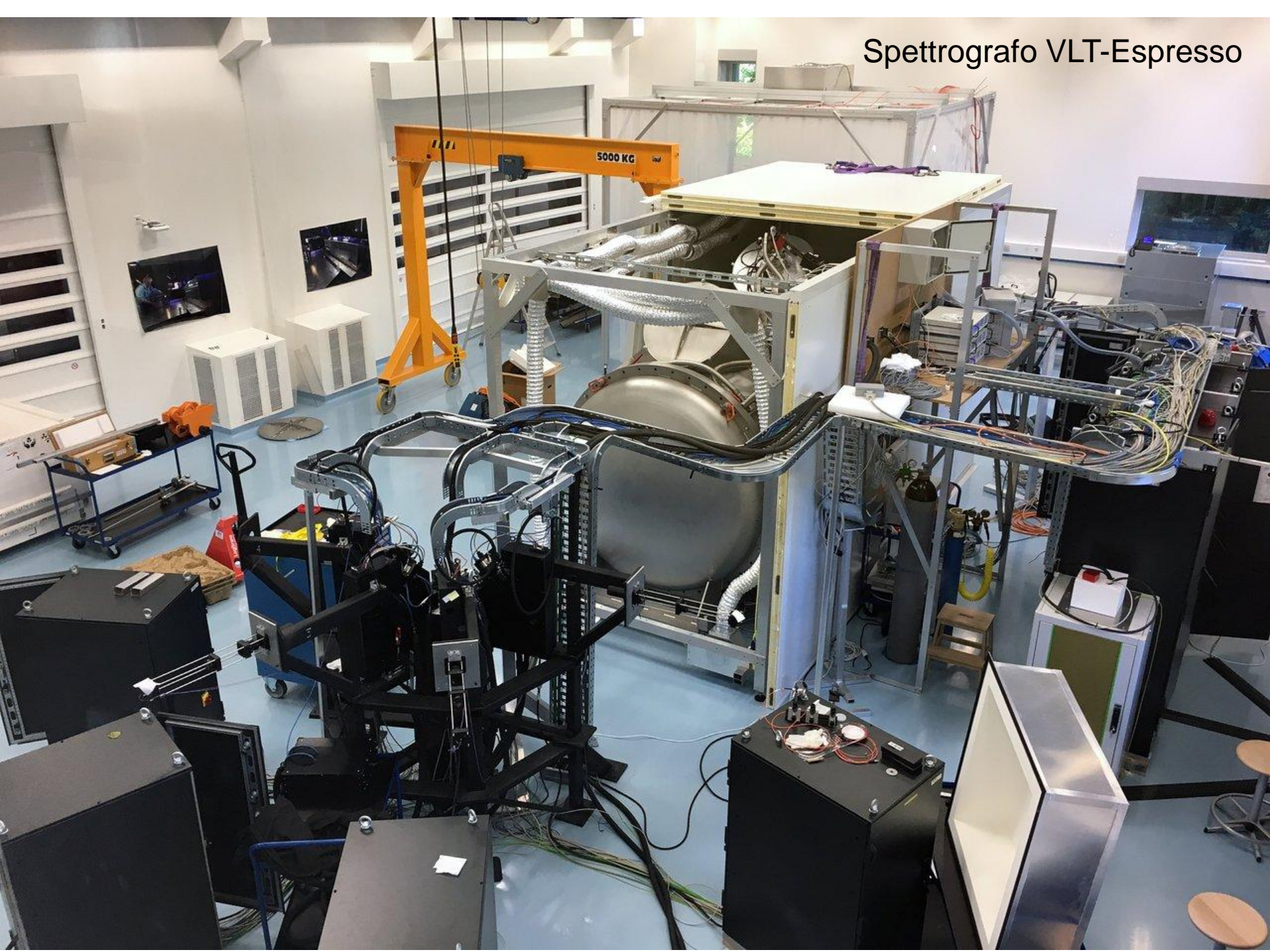


Global Temperature Map for Exoplanet HD 189733b NASA / JPL-Caltech / H. Knutson (Harvard-Smithsonian CfA)

Spitzer Space Telescope • IRAC ssc2007-09a



ESO VLT (Cerro Paranal, Cile)

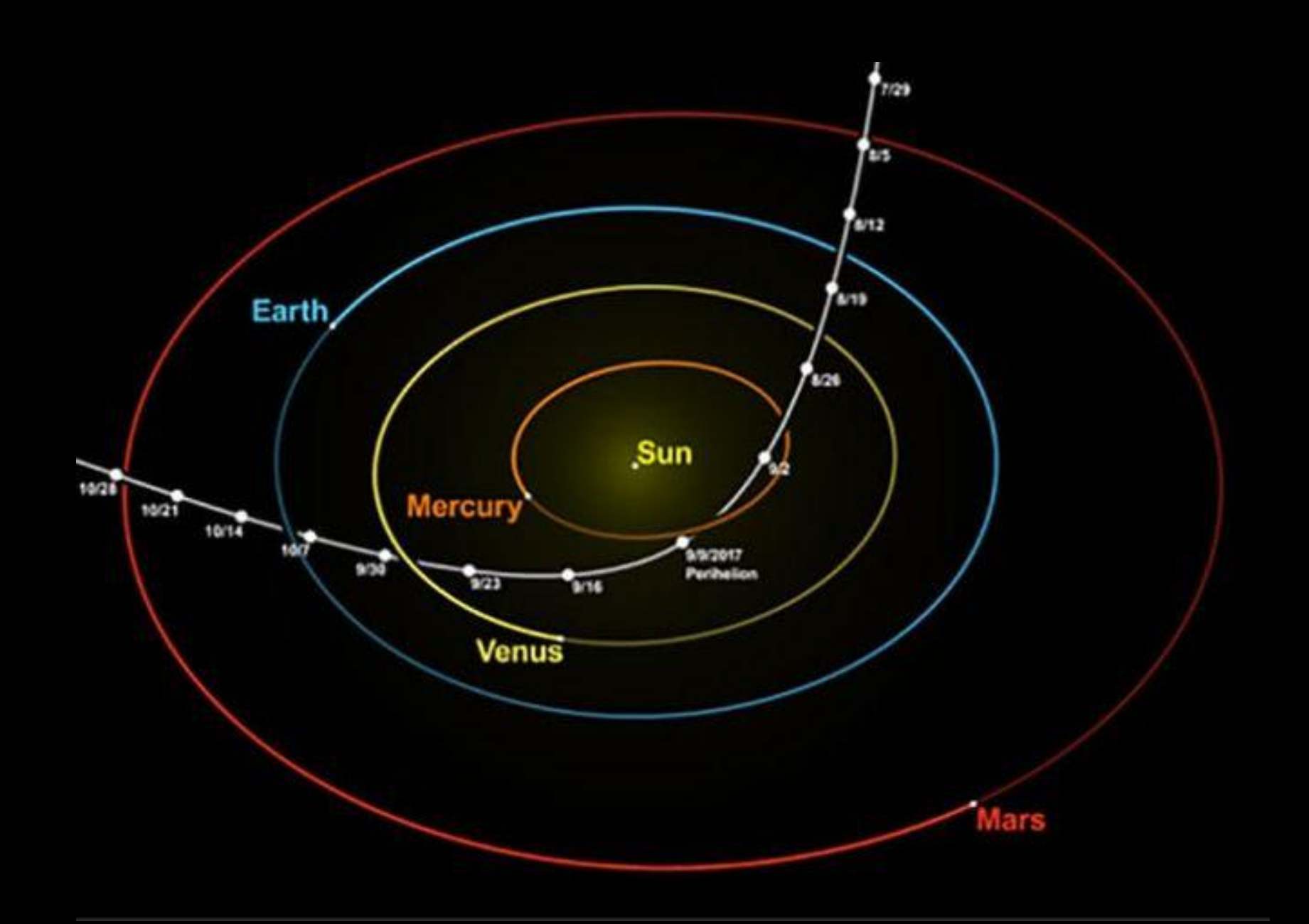


Oggetti di origine interstellare



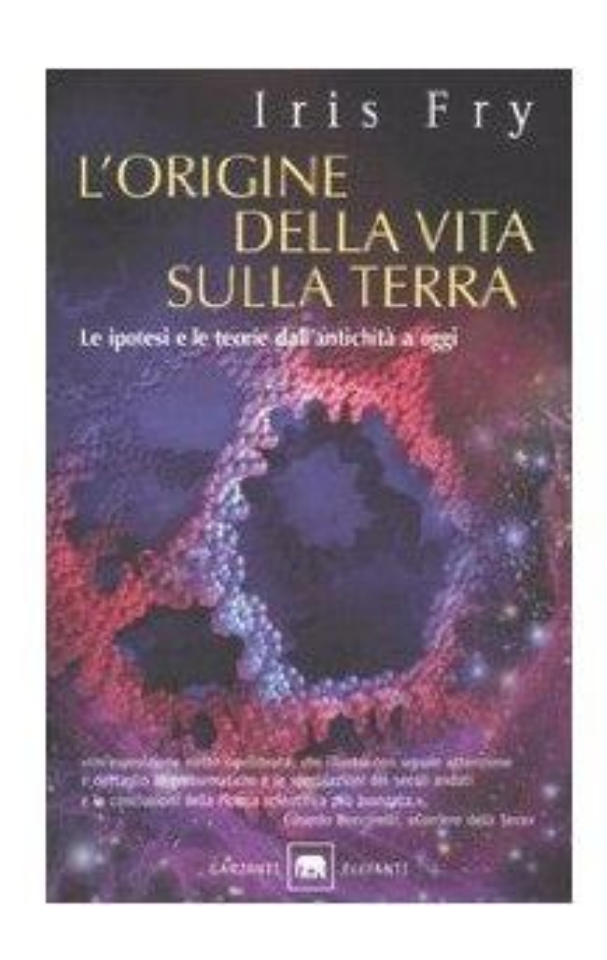
11/'Oumuamua (2017)

2I/Borisov (2019)





Giovanna Tinetti, I pianeti extrasolari. Alla ricerca di nuovi mondi nella nostra galassia, Il Mulino (2013)



Iris Fry,

L'origine della vita sulla Terra,

Garzanti (2002, orig. 2000)



Stephen Webb, Se l'universo brulica di alieni... dove sono tutti quanti? 75 soluzioni al paradosso di Fermi sulla vita extraterrestre, Sironi ed. (2018)

Siti web

- Wikipedia (inglese!)
- The Extrasolar Planet Encyclopedia (exoplanet.eu)

The Extrasolar Planets Encyclopaedia

Prima versione: Febbraio 1995

Exoplanet.eu[®]

Jean Schneider, CNRS/LUTH - Osservatorio di Parigi

Last update: 17 gennaio 2013 (859 planets)

Please report any problems to vo.exoplanet@obspm.fr



Catalog

Inizio

Catalog

Filter, sort, export - arbitrary data manipulations with the

Extrasolar Planets Encyclopaedia



Diagrams

Analyze the Extrasolar Planets Encyclopaedia data online. Simple plotting tool right in the browser

News

22 settembre 2011 KIC 10905746 b e KIC 6185331 b: i primi 2 Kepler candidati pianeti transitanti rivelati da

PlanetHunters (Fischer et al.).

15 settembre 2011 Kepler-16 (AB)b : il primo pianeta transitante attorno a un binaria (Doyle et al.)

12 settembre 2011 41 nuovi pianeti HARPS tra cui 16 Super-Terre - Mayor et al.) et 23 nuovi pianeti WASP. HD 97658 b è un pianeta transitante (Henry et al.).

31 agosto 2011 Un pianeta abitabile attorno a HD 85512? E cinque altre super-Terre (Pepe et al). PSR 1719-14 b: un nuovo pianeta attorno a una pulsar (Bailes et al.).

6 pianeti attorno alla stella Kepler-11, tutti transitanti (Lissauer et al.)

Informazioni introduttive

Last update: 17 maggio 2012

Bibliografia

Last update: 17 maggio 2012

Searches

Last update: 18 aprile 2012

Congressi

Last update: 17 maggio 2011

Lavoro teorico

Last update: 03 aprile 2012

Altri siti

Last update: 16 aprile 2012

Other tools

Last update: 16 aprile 2012